



UNIVERSIDADE FEDERAL DE PERNAMBUCO
CENTRO DE BIOCIÊNCIAS
DEPARTAMENTO DE ZOOLOGIA
CURSO DE CIÊNCIAS BIOLÓGICAS - BACHARELADO

VALERIA AHUMEDO TORRADO

**MONITORAMENTO DA AVIFAUNA NO MÓDULO DO PPBIO-SEMIÁRIDO NO
RASO DA CATARINA, BAHIA**

Recife
2024

VALERIA AHUMEDO TORRADO

**MONITORAMENTO DA AVIFAUNA NO MÓDULO DO PPBIO-SEMIÁRIDO NO
RASO DA CATARINA, BAHIA**

Trabalho de Conclusão de Curso apresentado ao
Curso de Ciências Biológicas - Bacharelado da
Universidade Federal de Pernambuco, como
requisito parcial para obtenção do Bacharel de
Ciências Biológicas.

Orientador (a): Luciano Nicolas Naka

Coorientador (a): Hevana Santana de Lima

Recife

2024

**Ficha de identificação da obra elaborada pelo autor,
através do programa de geração automática do SIB/UFPE**

Torrado, Valeria Ahumedo.

Monitoramento e amostragem da avifauna no módulo do PPBio-Semiárido
no Raso da Catarina, Bahia / Valeria Ahumedo Torrado. - Recife, 2024.
80 p. : il., tab.

Orientador(a): Luciano Nicolas Naka

Cooorientador(a): Hevana Santana de Lima

Trabalho de Conclusão de Curso (Graduação) - Universidade Federal de
Pernambuco, Centro de Biociências, Ciências Biológicas - Bacharelado, 2024.
Inclui apêndices.

1. Aves. 2. Biodiversidade. 3. Caatinga. 4. Ciência cidadã. I. Naka,
Luciano Nicolas. (Orientação). II. Lima, Hevana Santana de. (Coorientação). IV.
Título.

590 CDD (22.ed.)

VALERIA AHUMEDO TORRADO

**MONITORAMENTO DA AVIFAUNA NO MÓDULO DO PPBIO-SEMIÁRIDO NO
RASO DA CATARINA, BAHIA**

Trabalho de Conclusão de Curso apresentado ao
Curso de Ciências Biológicas - Bacharelado da
Universidade Federal de Pernambuco, como
requisito parcial para obtenção do Bacharel de
Ciências Biológicas.

Aprovado em:

BANCA EXAMINADORA

Prof. Dr. Luciano Nicolas Naka (Orientador)

Universidade Federal de Pernambuco

Prof. Dra. Luciana Iannuzzi (Examinador Interno)

Universidade Federal de Pernambuco

Prof. Dra. Flor Maria Guedes Las-Casas (Examinador Externo)

Universidade Estadual do Maranhão

AGRADECIMENTOS

Agradeço primeiramente aos meus pais Mayary e Miguel Angel por todo o amor, confiança, apoio e incentivo para eu conseguir realizar meus sonhos. Obrigada por sempre terem feito o possível e o impossível para que nunca me faltasse nada. Nada disso seria possível sem vocês.

Ao meu namorado Gabriel Kerr por me escutar por horas falando deste trabalho. Pela compreensão, confiança e carinho durante o tempo que precisei estar longe para realizar esse sonho.

Aos meus amigos que tornaram a minha estadia nessa cidade e fase da vida muito mais leve e alegre. Obrigada Eduardo, João, Nattan, Gabriel, Hebert.

Ao meu orientador Luciano Naka, por me permitir conhecer a beleza das aves, pelos ensinamentos, por me guiar durante esta jornada e pela paciência comigo durante tudo isso. A minha co-orientadora Hevana Lima por toda a ajuda, conselhos e ensinamentos, não teria conseguido sem a sua ajuda.

A todos no Laboratório de Ecologia e Evolução de Aves (Ornitolab), por me acolherem e sempre estarem dispostos a ensinar algo novo.

A Jota que nos ajudou em todas as coletas e parcelas.

Ao pessoal do ICMBIO que nos recebeu e ajudou no alojamento e trabalho.

Ao Laboratório de Ecologia e Conservação da Flora - Universidade de Pernambuco (Campus Petrolina) pelos dados de vegetação que foram utilizados neste trabalho.

Ao CNPQ, PPBio e a Universidade Federal de Pernambuco pelo financiamento que permitiu produzir este trabalho.

“A recordação é uma traição à Natureza,
Porque a Natureza de ontem não é Natureza.
O que foi não é nada, e lembrar é não ver.
Passa, ave, passa, e ensina-me a passar!”
(Alberto Caeiro - O Guardador de Rebanhos)

RESUMO

O monitoramento da biota em parcelas permanentes é uma maneira eficaz de avaliar o estado da biodiversidade, permitindo avaliar a ocorrência, diversidade, e tendências das populações naturais. Entretanto, para que estes dados sejam úteis, precisam ser bem curados e estar disponíveis para a comunidade científica e os tomadores de decisão. Bases de dados integradas, que incluem metadados, são fundamentais para o uso futuro destes dados. Uma forma eficiente de disseminação destas informações é através da publicação de dados da biodiversidade através de artigos científicos (por ex., Data Papers) ou em plataformas de ciência cidadã. O objetivo deste projeto foi o de amostrar a avifauna e observar a influência de características ambientais de altitude e vegetação utilizando redes de neblina em 10 parcelas permanentes estabelecidas nesta UC Raso da Catarina e organizar os dados de aves, criando uma linha de base para o monitoramento da avifauna a longo prazo. Ao todo, foram capturados 651 indivíduos de 57 espécies de aves. A curva de extração aponta que a riqueza de espécies poderia ser aumentada em ~30% com maior esforço amostral. O número médio de capturas por parcela (48,75 horas/rede) foi de 65.1 (± 9.99) indivíduos e 24 (± 3.68) espécies (máximo de 89 ind. e 34 spp. e um mínimo de 49 ind. e 19 spp). As capturas foram dominadas pela ordem Passeriformes com 70% dos indivíduos e 75% das espécies. As famílias mais representativas foram Thraupidae (9 spp., 154 ind.), Tyrannidae (12 spp., 119 ind.) e Trochilidae (5 spp., 114 ind.). Durante o monitoramento, anilhamos 555 indivíduos de 56 espécies, e coletamos uma pena (P6) de 596 indivíduos e amostras de sangue de 475, além de coletarmos 33 indivíduos de 24 espécies. As amostras coletadas foram depositadas na Coleção de Aves de UFPE. As listas de captura e fotografias de todos os indivíduos anilhados foram disponibilizadas na plataforma de ciência cidadã eBird e farão parte do Sistema Nacional de Anilhamento (SNA), podendo ser acessadas livremente. Este estudo trouxe informações valiosas que servirão como base para acompanhar e compreender mudanças na avifauna da Caatinga.

Palavras-chave: Aves; Biodiversidade; Caatinga; Ciência cidadã;

ABSTRACT

Monitoring biota in permanent plots is an effective way to assess the state of biodiversity, allowing the occurrence, diversity, and trends of natural populations to be assessed. However, for these data to be useful, they need to be well curated and available to the scientific community and decision-makers. Integrated databases, which include metadata, are essential for the future use of these data. An efficient way to transmit this information is through the publication of biodiversity data through scientific articles (e.g., Data Papers) or on citizen science platforms. The goal of this project was to sample the avifauna using mist nets in 10 permanent plots in this reserve and organize bird data, creating a baseline database for long-term avian monitoring. In total, we captured 651 individuals of 57 bird species. Extrapolation curves indicate that species richness could be increased by ~30% with greater sampling effort. The average number of captures per plot (48.75 net/hours) was of 65.1 (± 9.99) individuals and 24 (± 3.68) species (maximum of 89 ind. and 34 spp. and a minimum of 49 ind. and 19 spp.). Captures were dominated by birds from the Order Passeriformes, with 70% of the individuals and 75% of the species. The most represented families were the Thraupidae (9 spp., 154 ind.), Tyrannidae (12 spp., 119 ind.) and Trochilidae (5 spp., 114 ind.). During the monitoring, we banded 555 individuals of 56 species, and collected one feather (P6) from 596 individuals and blood samples from 475, in addition to collecting 33 individuals of 24 species. The collected samples are held at the UFPE Bird Collection. Mist-netting data and photographs of all banded individuals were made available on eBird, and will be included in the National Banding System (SNA), and can be freely accessed. This study provided valuable information that will serve as a basis for monitoring and understanding changes in the avifauna of the Caatinga for years to come.

Keywords: Birds; Biodiversity; Caatinga; Citizen science;

LISTA DE ILUSTRAÇÕES

| | |
|---|----|
| Figura 1. Mapa da localização da ESEC Raso da Catarina. | 17 |
| Figura 2. Mapa da localização do módulo do PPBio Raso da Catarina e os 10 pontos de redes. O módulo é composto por duas trilhas de 5km de extensão posicionadas de forma paralela, obedecendo uma distância de 1 km. As parcelas possuem 250 m de extensão. | 18 |
| Figura 3. Registros dos processos realizados nas coletas, incluindo (A) montagem de redes de neblina montada; (B) a retirada de indivíduos (<i>Megaxenops parnaguae</i>) da rede de neblina; (C) pesagem de indivíduos; (D) anilhamento (<i>Cyanoloxia brissonni</i>); e (E) coleta de sangue (<i>Cyanoloxia brissonni</i>). | 20 |
| Figura 4. Curva de rarefação e extração para o número de parcelas (a) e número de redes (b). | 23 |
| Figura 5. Relação entre riqueza de espécies e as variáveis ambientais analisadas. Não foi observada uma relação significativa entre a riqueza de espécies de aves em cada parcela. A) Altitude (m); B) média DAP (cm); C) Número de riqueza da vegetação; D) Média de altura da vegetação (m). | 25 |
| Figura 6. Relação entre abundância de espécies e as variáveis ambientais analisadas. Não foi observada uma relação significativa entre a abundância de espécies de aves em cada parcela, nas variáveis de altitude e número de riqueza da vegetação. Já nas variáveis da média de DAP e média de altura da vegetação foi observada uma relação significativa. A) Altitude (m); B) média DAP (cm); C) Número de riqueza da vegetação; D) Média de altura da vegetação (m). | 26 |
| Figura 7. Ordenamento de Escalonamento não-Métrico (NMDS) das parcelas. A) Comunidade de aves x Altitude (m); B) Comunidade de aves x média DAP (cm); C) Comunidade de aves x Número de riqueza da vegetação; D) Comunidade de aves x Média de altura da vegetação (m). | 27 |
| Figura 8. Distribuição da abundância de captura das 57 espécies de aves no módulo PPBio da Estação Ecológica Raso da Catarina em relação à: A) altitude; B) DAP (cm); C) Riqueza vegetal; D) Altura da vegetação. | 29 |

LISTA DE TABELAS

| | |
|--|----|
| Tabela 1. Localização e número de espécies e indivíduos de aves capturadas em 13 redes de neblina instaladas em dez parcelas permanentes do PPBio Semiárido na Estação Ecológica do Raso da Catarina entre os dias 22 de maio e 1 de junho de 2024..... | 23 |
| Tabela 2. Lista das 20 espécies mais abundantes registradas utilizando redes de neblina nas 10 parcelas permanentes do PPBio Semiárido na Estação Ecológica do Raso da Catarina entre os dias 22 de maio e 1 de junho de 2024..... | 25 |
| Tabela 3. Lista de espécie de aves registradas utilizando redes de neblina nas 10 parcelas permanentes do PPBio Semiárido na Estação Ecológica do Raso da Catarina entre os dias 22 de maio e 1 de junho de 2024..... | 29 |

SUMÁRIO

| | | |
|------|--|----|
| 1. | INTRODUÇÃO | 11 |
| 2. | OBJETIVOS | 15 |
| 2.1. | OBJETIVO GERAL | 15 |
| 2.2. | OBJETIVOS ESPECÍFICOS..... | 15 |
| 3. | MATERIAIS E MÉTODOS | 16 |
| 3.1. | ÁREA DE ESTUDO..... | 16 |
| 3.2. | PPBIO SEMIÁRIDO - RABECA | 17 |
| 3.3. | AMOSTRAGEM DA AVIFAUNA | 18 |
| 3.4. | AMOSTRAGEM DA VEGETAÇÃO..... | 21 |
| 3.5. | ANÁLISES ESTATÍSTICAS..... | 21 |
| 4. | RESULTADOS..... | 21 |
| 4.1. | AVIFAUNA DA ESEC RASO DA CATARINA | 21 |
| 4.2. | ABUNDÂNCIA E RIQUEZA DE ESPÉCIES | 22 |
| 4.3. | VARIÁVEIS AMBIENTAIS | 24 |
| 5. | DISCUSSÃO | 33 |
| 5.1. | CARACTERIZAÇÃO, RIQUEZA E ABUNDÂNCIA DA AVIFAUNA..... | 33 |
| 5.2. | IMPORTÂNCIA DO MONITORAMENTO DAS AVES E DE DISPONIBILIZAR OS DADOS EM PLATAFORMAS DE CIÊNCIA CIDADÃ | 35 |
| 6. | CONCLUSÕES | 37 |
| 7. | REFERÊNCIAS..... | 38 |
| 8. | APÊNDICES..... | 44 |

1. INTRODUÇÃO

O monitoramento consiste na coleta de dados biológicos de forma repetida e sistemática para poder detectar mudanças nas populações naturais (Moussy et al. 2022), o que pode ser realizado em diferentes escalas espaciais e temporais (Balmford et al. 2005). A coleta de dados sistemáticos ao longo do tempo permite avaliar o grau das mudanças, quantificar os impactos ambientais, e são fundamentais para avaliar o sucesso de projetos de conservação (Wetzel et al. 2018, Danielsen et al. 2005). A biodiversidade é fundamental para o funcionamento dos ecossistemas, sendo importante para a manutenção e regulação do equilíbrio ambiental. As ações humanas estão destruindo este equilíbrio, e as mudanças ambientais e climáticas têm colocado em risco a biodiversidade do planeta. Uma maneira de documentar e analisar mudanças ao longo do tempo é através do monitoramento da biodiversidade (Magnusson 2013).

O monitoramento da biodiversidade aumentou significativamente a partir dos anos 90, especialmente em países de renda alta e baixa diversidade, como é o caso dos países desenvolvidos da Europa e da América do Norte; o início do século XXI coincidiu com o aumento de projetos de monitoramento em países de renda média e baixa e de alta biodiversidade (Moussy et al 2022). Embora nas últimas décadas tenha aumentado significativamente o número de táxons e locais monitorados ao longo do tempo, este número ainda permanece muito baixo, e são poucos os táxons monitorados (Moussy et al. 2022). A nível global, as aves, seguidas pelos mamíferos e as plantas são os grupos biológicos mais bem monitorados (Moussy et al. 2022). Entretanto, mesmo para estes grupos, muitos destes esforços não atingem padrões mínimos de objetividade, padronização, replicação e duração (Buckland & Johnston 2017, Lindenmayer et al. 2012, White 2018). Portanto, é evidente que os projetos de monitoramento que vêm sendo realizados ao redor do mundo são insuficientes, muitas vezes descoordenados e não dialogam entre si (Şekercioğlu 2012, Pereira & Cooper 2006, Parr et al. 2002, Lengyel et al. 2008). Desta forma, torna-se necessário desenvolver programas de monitoramento eficazes e de longo prazo, pois eles são fundamentais para formar uma linha temporal, fornecer informações sobre a dinâmica populacional, processos ecológicos, avaliar a gestão e melhorar as práticas de conservação dos locais escolhidos para serem monitorados (Snäll et al. 2011, White 2018; Jiménez-Franco et al. 2020).

Os esforços do Brasil para monitorar a sua biodiversidade se iniciaram de forma mais sistemática na virada do milênio através da criação dos Programas de Pesquisas Ecológicas de Longa Duração (PELD) em 1997 e de Pesquisa em Biodiversidade (PPBio) em 2004. Juntos, estes programas forneceram os meios para financiar projetos de monitoramento de longo prazo em diferentes regiões do Brasil. Até 2021, participantes deste Programa já tinham instalado 161 sítios de amostragem, a maior parte deles na região amazônica (Rosa et al. 2021). Entretanto, muitos destes esforços utilizavam metodologias distintas para amostrar os diferentes componentes da biodiversidade em diferentes escalas espaciais e temporais, dificultando estudos comparativos e análises integradas. Para solucionar esse problema, em 2005 foi criado o sistema de monitoramento RAPELD, que tinha por objetivo desenvolver um método apropriado para pesquisas ecológicas de longa-duração (componente PELD), mas que permitisse inventários rápidos para avaliação da complementaridade biótica e planejamento do uso da terra (componente RAP) (Magnusson et al. 2005). Este método de amostragem inclui parcelas longas e estreitas, orientadas ao longo das curvas de nível do terreno, minimizando a variação interna de topografia e solo em cada parcela (Magnusson et al. 2013).

Em 2024, o PPBio e a amostragem RAPELD chegaram ao semiárido brasileiro através do projeto intitulado “Biodiversidade da Caatinga: determinantes biogeográficos e ecológicos, serviços ecossistêmicos e implicações para a sustentabilidade do Semiárido Brasileiro” que tem por objetivo criar uma **Rede para Avaliação da Biodiversidade, Ecologia e Evolução da Caatinga** (RABECA) para monitorar a biodiversidade do semiárido. Este projeto visa gerar conhecimentos sobre a biodiversidade do semiárido, com pesquisas de fauna, flora e funga, avaliando o efeito das mudanças climáticas e no uso da terra, trazendo o conhecimento adquirido com os estudos para a sociedade, inserindo as comunidades na conservação ambiental. Um dos principais componentes desta proposta é o de inventários biológicos, que tem por objetivo amostrar a biodiversidade utilizando parcelas permanentes do sistema RAPELD para avaliar o efeito de diversos preditores ambientais na biota da Caatinga. O programa visa instalar parcelas permanentes em dez Unidades de Conservação na Caatinga, cobrindo todas as ecorregiões desse ecossistema.

As aves representam um grupo fundamental para ser monitorado neste tipo de iniciativas, pois elas estão presentes em todos os habitats, são relativamente fáceis de serem capturadas e identificadas, permitindo um monitoramento eficiente ao longo do tempo. A composição de aves

da Caatinga é bem conhecida, existindo diversos trabalhos descrevendo a riqueza de espécies deste ecossistema (Araújo & Silva 2017). Além do mais, por serem animais carismáticos, atraem a atenção das pessoas, sendo interessantes para iniciativas de integração da população na educação ambiental (Bennun 2000, Snäll et al. 2011, Şekercioğlu 2012). Ademais, as aves são consideradas como excelentes bioindicadores, por serem especialmente sensíveis às mudanças ambientais (Gregory et al. 2005). Ao analisar o estado em que elas se encontram, é possível analisar as condições ambientais, as tendências das populações e os efeitos do estresse em curto e longo prazo (Cairns & Pratt 1993, Bartell 2006, Burger 2006). Tendo em vista i) a importância mundial da biodiversidade de aves do mundo (Remsen et al. 2024), ii) que estudos sobre a ecologia da avifauna da caatinga são escassos (Nascimento 2000; Olmos et al. 2005; Pacheco 2004; Roos et al. 2006), iii) que as aves são espécies adequadas para realizar monitoramento e iv) que elas servem para inserir as comunidades no meio científico devido ao seu carisma (Bennun, 2000; Snäll et al., 2011; Şekercioğlu, 2012), as aves são um dos táxons ideais para cumprir objetivos presentes no Projeto RABECA e os deste trabalho.

O monitoramento da biodiversidade não é novo no Semiárido brasileiro. Entretanto, embora já existam projetos de monitoramento na Caatinga, como o PELD Catimbau (peldcatimbau.org) e o PPBio do Semiárido liderado pela Universidade Federal e Feira de Santana, estes projetos possuem uma escala espacial menor e métodos de amostragem pouco integrados, o que dificulta o monitoramento integrado no longo prazo. Um estudo recente aponta como um dos principais problemas no Brasil a falta de síntese dos resultados obtidos em campo, onde os dados não são disponibilizados para a sociedade (Guimaraes et al. 2024). Este problema resulta no gasto ineficiente de recursos financeiros, muitas vezes repetindo estudos em locais já amostrados e negligenciando áreas potencialmente interessantes. Segundo Guimaraes e colaboradores (2014), o ecossistema brasileiro com menor número de metadados para vertebrados é a Caatinga, pois os pesquisadores na região estão realizando pesquisas, sem disponibilizar os dados.

Desta forma, é de suma importância que os dados e metadados obtidos em estudos integrados como o PPBio, sejam publicados e estejam disponíveis para a sociedade. Na última década, as plataformas de ciência cidadã, como wikiaves (wikiaves.com.br), xeno-canto (xenocanto.org) e eBird (ebird.org), tem revolucionado diversas áreas da ornitologia, permitindo analisar o comportamento, ocorrência, diversidade e tendências das populações de aves (Fournier et al.

2019, Fink et al. 2020, Callaghan & Gawlik 2015, Clark 2017). Estas plataformas, por terem uma base de dados comunitária, contém um amplo volume de dados em constante crescimento (Sullivan et al. 2009). A presença de dados nessas plataformas tem possibilitado a realização de estudos como por exemplo a reconstrução acústica de uma comunidade de 25 anos atrás (Morrison et al. 2021), estimativa da tendência populacional global de 9.000 espécies de aves nos últimos 20 anos (Neate-Clegg et al. 2020), e o uso de listas de ciência cidadã para documentar a distribuição de espécies (Clark 2017). Ademais, projetos de monitoramento podem usar dados de plataformas de ciência cidadã para complementar seus estudos, sendo eficiente para observar populações em crescimento (Neate-Clegg et al. 2020). Portanto, o uso de plataformas de ciência cidadã possibilitam um aumento na quantidade de dados disponíveis para estudos, mostrando-se importante manter essas plataformas atualizadas com novos dados.

O primeiro sítio amostrado pelo Programa RABECA na Caatinga foi a Estação Ecológica do Raso da Catarina, no estado da Bahia, onde foi instalado um módulo RAPELD, composto por dez parcelas permanentes. Este estudo teve como principal objetivo amostrar a avifauna no módulo do PPBio na ESEC Raso da Catarina e criar uma linha de base de dados para iniciar projetos de monitoramento de aves a longo prazo nessa Unidade de Conservação (UC). Especificamente, pretendo i) caracterizar a avifauna nas parcelas permanentes na ESEC Raso da Catarina; ii) estimar a riqueza de espécies e a abundância das aves; iii) analisar o efeito de variáveis ambientais de vegetação e altitude na avifauna; iv) gerar uma base de dados para o módulo RAPELD na UC; v) iniciar um programa de monitoramento (e anilhamento) de aves de longo prazo; e iv) disponibilizar os dados obtidos em plataformas de ciência cidadã para que estes dados estejam disponíveis de forma imediata.

2. OBJETIVOS

2.1. OBJETIVO GERAL

Este projeto teve como objetivo geral avaliar e acompanhar padrões de estruturação da comunidade de aves para fornecer dados ecológicos de longa duração no módulo de amostragem do PPBio na ESEC Raso da Catarina.

2.2. OBJETIVOS ESPECÍFICOS

- I. Caracterizar a avifauna nas parcelas permanentes;
- II. Estimar riqueza e abundância das aves;
- III. Analisar o efeito de variáveis ambientais de vegetação e altitude na riqueza e composição da avifauna;
- IV. Gerar uma base de dados para aves na ESEC Raso da Catarina;
- V. Iniciar um programa de monitoramento (e anilhamento) de aves de longo prazo;
- VI. Disponibilizar os dados obtidos em plataformas de ciência cidadã (eBird);

3. MATERIAIS E MÉTODOS

3.1. ÁREA DE ESTUDO

O presente estudo foi realizado na Estação Ecológica do Raso da Catarina ($9^{\circ} 39' 51.991''$ S, $38^{\circ} 27' 59.872''$ W), localizada na ecorregião Raso da Catarina que se encontra na região nordeste da Bahia, entre os municípios de Paulo Afonso, Rodelas, Jeremoabo e Macururé (Figura 1). É uma unidade de conservação com 104.844,40 hectares, que apresenta como bioma a Caatinga. É caracterizada por precipitações pluviométricas escassas e irregulares, apresentando uma longa estação seca e curtos períodos de chuva, com duração entre três e cinco meses que ocorrem entre janeiro e maio, com médias anuais de precipitação entre 300 e 600 mm/ano (IBAMA, 2008). A temperatura média anual é de aproximadamente 24°C , com amplitude térmica anual de aproximadamente 10°C com oscilações diárias pronunciadas, chegando a uma variação diária de até 12°C (Nascimento, 1984; Almeida & Figueira 1983). A altitude da ESEC, localizada na bacia de Tucano Norte, varia entre os 400 e 700 metros (IBAMA, 2008).

A Caatinga faz parte do bioma das florestas tropicais sazonalmente secas, as quais ocupam cerca de um terço da cobertura de florestas tropicais do planeta. São considerados habitats ameaçados e sofrem fortes pressões antrópicas por seus recursos, resultando em altas taxas de fragmentação florestal e incêndios, sendo especialmente vulneráveis às mudanças climáticas (Mattei et al. 2017, Miles et al. 2006, Sánchez-Azofeifa et al. 2005, Portillo-Quintero & Sánchez-Azofeifa 2010, Silva et al. 2019). No Brasil a Caatinga ocupa 10% da cobertura vegetal do país (SFB 2019). A Caatinga representa a maior e mais diversa floresta seca do Neotrópico (Silva et al. 2019), e devido a sua grande biodiversidade, é considerada uma área prioritária para a conservação (Souza et al. 2019).

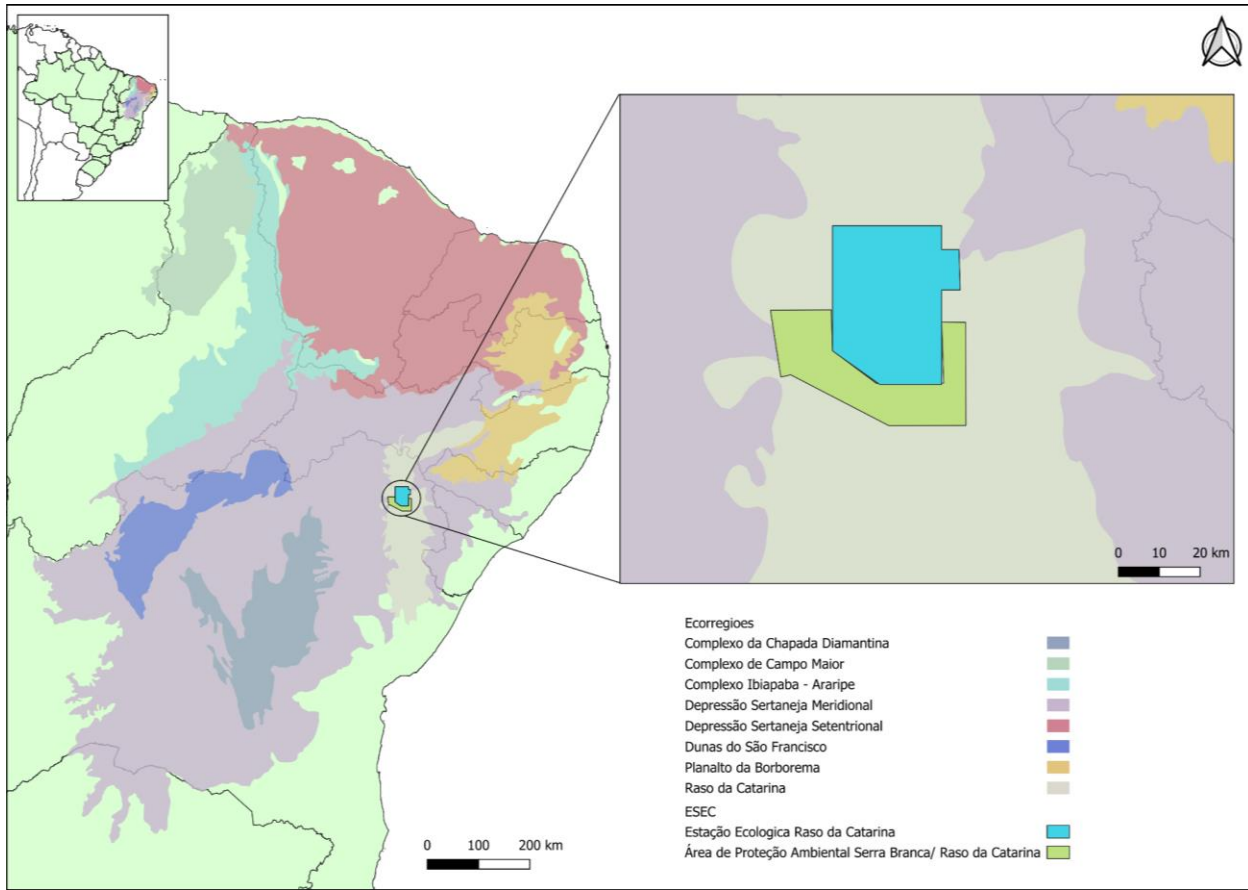


Figura 1. Mapa da localização da ESEC Raso da Catarina.

3.2. PPBIO SEMIÁRIDO – RABECA

O projeto Rede de Avaliação da Biodiversidade, Ecologia e Evolução da Caatinga (RABECA) do PPBio-Semiárido, tem como alguns dos seus objetivos principais entender os determinantes biogeográficos e ecológicos, avaliar os efeitos das mudanças climáticas futuras sobre os serviços ecossistêmicos providos pela biota, e entender as implicações das alterações da biota para a sustentabilidade do semiárido brasileiro.

Para cumprir esses objetivos, uma infraestrutura padronizada e integrada é necessária. Desse modo, serão instalados módulos RAPELD (Magnusson et al. 2013) 10 Unidades de Conservação da Caatinga, cobrindo as diferentes ecorregiões da Caatinga, na intenção de integrar pesquisadores numa mesma escala espacial e, dessa forma, amostrando de maneira adequada as comunidades biológicas.

Cada módulo RAPELD é composto por duas trilhas principais paralelas e 10 parcelas permanentes. Cada trilha principal possui 5 km de extensão, as duas trilhas são posicionadas paralelamente entre elas, obedecendo uma distância de 1 km. Já as parcelas permanentes do módulo RAPELD, possuem 250 metros cada, e são construídas obedecendo a curva de nível do terreno, minimizando assim a variação ambiental dentro de cada parcela. As parcelas são distribuídas ao longo das duas trilhas principais, obedecendo uma distância de 1km entre cada parcela (Magnusson et al. 2013) (Figura 2). A coleta de dados deste estudo foi realizada nas 10 parcelas permanentes do módulo PPBIO RABECA na Estação ecológica do Raso da Catarina.

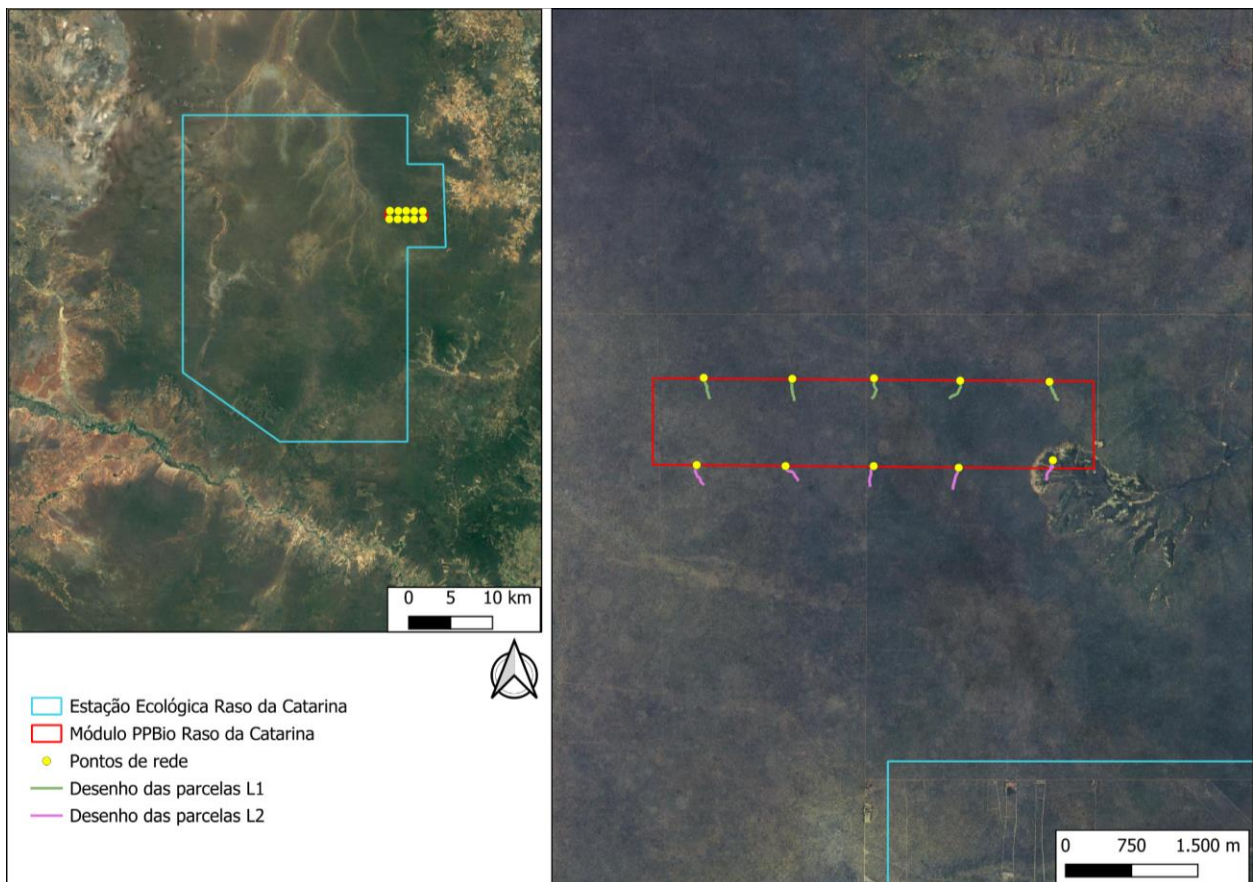


Figura 2. Mapa da localização do módulo do PPBio Raso da Catarina e os 10 pontos de redes. O módulo é composto por duas trilhas de 5km de extensão posicionadas de forma paralela, obedecendo uma distância de 1 km. As parcelas possuem 250 m de extensão.

3.3. AMOSTRAGEM DA AVIFAUNA

Ao todo, foram montadas 10 linhas de redes de neblina (malha de 35 mm, 12 x 2,5 m), sendo uma linha de rede por parcela entre os dias 22 de maio e 1 de junho, no fim do período chuvoso da região (Tabela 1), em 9 parcelas (1-5, 7-10) as linhas continham 13 redes de neblina e na parcela de número 6 foi montada uma linha com 11 rede de neblina, totalizando a abertura de 128 redes. As redes ficaram abertas durante 3h e 45 min (05:45h - 09:30h), visando atingir o pico de atividade das aves, e eram revisadas a cada 20 min totalizando um esforço amostral de 480 horas/rede.

As aves capturadas foram anilhadas com anilhas permanentes do Sistema Nacional de Anilhamento (SNA), fornecidas pelo CEMAVE (ICMBio), e fotografadas. Os indivíduos foram identificados em campo e as identificações foram confirmadas posteriormente por um ornitólogo experiente. A nomenclatura seguiu a lista do Comitê Brasileiro de Registros Ornitológicos (Pacheco et al. 2021). Os indivíduos capturados tiveram amostra de sangue e penas coletadas, sendo depositadas na Coleção de Aves da UFPE (Apêndice 2). Além disso, as listas de aves capturadas foram publicadas na plataforma de ciência cidadã eBird (ebird.org) (Sullivan, 2009) (Tabela 1, Figura 3).

Para caracterizar a avifauna presente na ESEC Raso da Catarina, classificamos as espécies em termos de guilda trófica, utilizando dados da literatura (Billerman 2022). As aves foram separadas em cinco guildas tróficas: Insectívoras (INS) (espécies que se alimentam predominantemente de artrópodes), frugívoras (FRU) (espécies que se alimentam predominantemente de frutas), nectarívoras (NEC) (espécies que se alimentam predominantemente de néctar), granívoras (GRA) (espécies que se alimentam predominantemente de sementes) e onívoras (ONI) (espécies que se alimentam de material vegetal e animal em mesma proporção).

Tabela 1. Localização e número de espécies e indivíduos de aves capturadas em 13 redes de neblina instaladas em dez parcelas permanentes do PPBio Semiárido na Estação Ecológica do Raso da Catarina entre os dias 22 de maio e 1 de junho de 2024.

| No. | Localização | Coord. Geográficas Lat, Long | Data | No. de sp. | No. de ind. | Ebird Checklist |
|-----|-------------|---------------------------------|-------|------------|-------------|----------------------------|
| 1 | L1-500 | -9.65804, -38.47218 | 01/06 | 24 | 62 | S179786919 |
| 2 | L1-1500 | -9.65793, -38.48141 | 29/05 | 22 | 49 | S179786704 |
| 3 | L1-2500 | -9.65769, -38.49031 | 23/05 | 23 | 66 | S179784432 |
| 4 | L1-3500 | -9.65774, -38.49876 | 27/05 | 25 | 65 | S179786607 |
| 5 | L1-4500 | -9.65763, -38.50792 | 26/05 | 19 | 57 | S179786157 |
| 6 | L2-500 | -9.66614, -38.47183 | 31/05 | 23 | 62 | S179786860 |
| 7 | L2-1500 | -9.66691, -38.48157 | 30/05 | 24 | 73 | S179786795 |
| 8 | L2-2500 | -9.66674, -38.49035 | 22/05 | 34 | 67 | S179610141 |
| 9 | L2-3500 | -9.66674, -38.49946 | 24/05 | 24 | 89 | S179784869 |
| 10 | L2-4500 | -9.66663, -38.50864 | 25/05 | 22 | 61 | S179785957 |

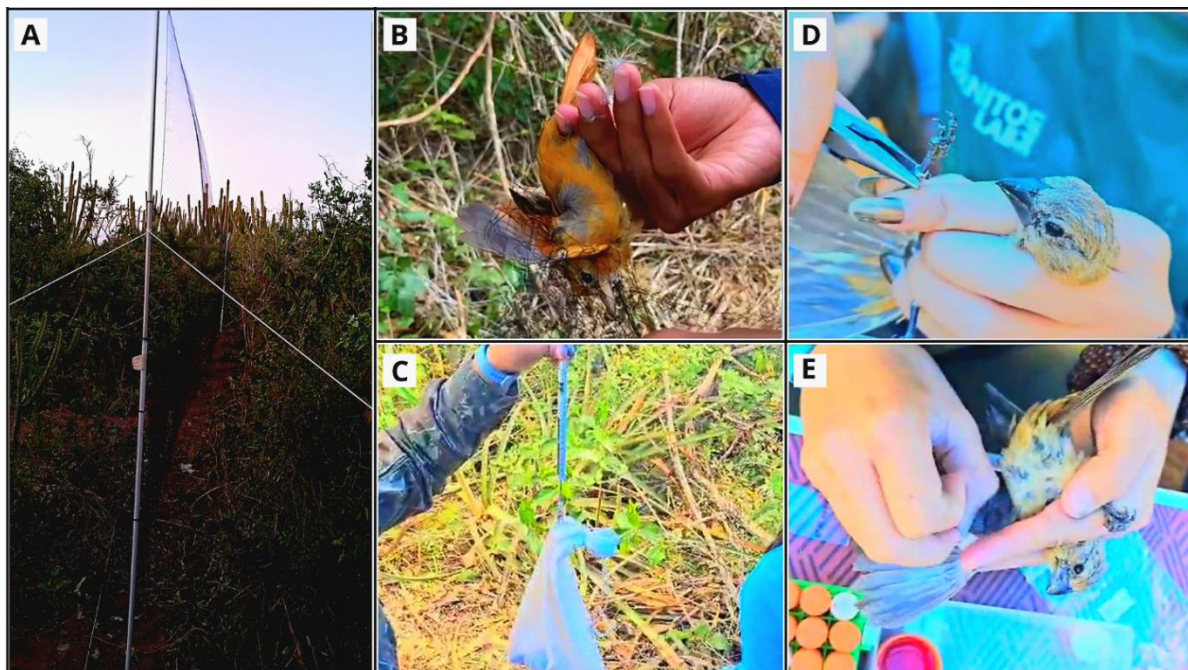


Figura 3. Registros dos processos realizados nas coletas, incluindo (A) montagem de redes de neblina montada; (B) a retirada de indivíduos (*Megaxenops parnaguae*) da rede de neblina; (C) pesagem de indivíduos; (D) anilhamento (*Cyanoloxia brissonni*); e (E) coleta de sangue (*Cyanoloxia brissonni*).

3.4. AMOSTRAGEM DA VEGETAÇÃO PARA VARIÁVEIS AMBIENTAIS

Os dados de vegetação deste estudo foram disponibilizados pelo Laboratório de Ecologia e Conservação da Flora - Universidade de Pernambuco (Campus Petrolina). A coleta foi realizada em cada parcela RAPELD, amostrando uma área de 250 x 4 m, onde foi medida a altura, área basal, diâmetro a altura do peito de todas as plantas com DAP > 10 cm. As espécies já foram morfotipadas e estão sendo identificadas pelo Laboratório responsável pelos dados. Os dados de vegetação serão utilizados para realizar a relação entre eles e a riqueza e abundância de aves.

3.5. ANÁLISES ESTATÍSTICAS

Para analisar se o esforço amostral realizado durante a amostragem dos dados foi condizente com a riqueza esperada para a área de estudo, foram construídas duas curvas de rarefação e extração de espécies, uma com o número de parcelas e a outra com o número de redes, utilizando as funções de acumulação de espécies e iNEXT dos pacotes *vegan* e *iNEXT* (Oksanen et al. 2024, Hsieh et al. 2024).

Para caracterizar a avifauna nas 10 parcelas foi realizado um escalonamento multidimensional não-métrico (NMDS) baseado no índice de similaridade de Bray-Curtis utilizando o pacote *vegan* (Oksanen et al., 2024). No qual, nós ordenamos a matriz de riqueza de espécies em relação aos dados das variáveis ambientais, sendo elas: altitude, DAP da vegetação, número de riqueza da vegetação e altura média da vegetação. Para entender se o gradiente ambiental analisado tem relação direta com a riqueza e abundância de espécies de aves em cada uma das parcelas, nós utilizamos uma regressão linear. Para entender como a abundância relativa das espécies varia em relação às parcelas e ao gradiente ambiental das parcelas, nós plotamos em gráficos em primeiro lugar, as pontuações das espécies derivadas das NMDS para ordenar a matriz espécie-parcela, e em segundo lugar, as somas das abundâncias relativas das espécies em todas as parcelas amostradas em relação às variáveis ambientais selecionadas. Para todas as análises deste estudo foi utilizado o software R 4.4.1 (R Core Team, 2024).

4. RESULTADOS

4.1. AVIFAUNA DA ESEC RASO DA CATARINA

Durante o trabalho de campo, composto por 480 horas/redes, foram capturadas 651 aves, pertencentes a 57 espécies, divididas em 18 famílias e sete ordens (Apêndice 1, Tabela 3). Dos

indivíduos capturados, anilhamos 554 (85%), totalizando 56 espécies anilhadas (Tabela 3). Além disso, coletamos uma pena primária (P6) de 596 indivíduos (91,5%) de 56 espécies, sangue de 475 indivíduos (72,9%) de 51 espécies, e coletados 33 indivíduos (5%) de 24 espécies. Dos indivíduos capturados foram fotografados 589 (90%); estas fotografias foram disponibilizadas no eBird (Apêndice 2).

O número médio de espécies capturados em cada parcela (48,75 horas/rede) foi de 24 ($\pm 3,68$), com um máximo de 34 espécies na parcela 8 e um mínimo de 19 espécies na parcela 5 (Tabela 1, Apêndice 1). Em termos de indivíduos, o número médio de aves capturadas em cada parcela foi de 65,1 ($\pm 9,99$), com um máximo de 89 indivíduos na parcela 9 e um mínimo de 49 na parcela 2 (Tabela 1, Apêndice 1).

A maioria dos indivíduos (452, 69,4%) e espécies (43, 75,4%) capturados pertencem a 15 diferentes famílias dentro da ordem Passeriformes (Tabela 3). A seguinte ordem mais representada foram os Apodiformes (beija-flores) com 114 indivíduos (22,1%) e cinco espécies, e os Piciformes (pica-paus) com 10 indivíduos (1,5%) e quatro espécies (Tabela 3). As famílias mais representativas nas capturas foram Thraupidae (9 espécies, 154 indivíduos, 23,6%), Tyrannidae (12 spp, 119 indivíduos, 18,2%) e Trochilidae (5 spp, 114 indivíduos, 17,5%) (Tabela 3, Apêndice 1). As espécies mais capturadas foram *Chrysolampis mosquitus*, (Trochilidae), com 70 indivíduos, *Coereba flaveola* (50 ind.) e *Coryphospingus pileatus* (42 spp) (Thraupidae) (Tabela 2). Em relação à guilda trófica, as três guildas mais representadas foram a insetívora com 29 espécies (50,8%), a onívora com 12 espécies (21%) e a granívora com 6 espécies (10,5%) (Tabela 3).

4.2. ABUNDÂNCIA E RIQUEZA DE ESPÉCIES

A curva do coletor obtida sugere que a riqueza máxima de espécies esperada não foi atingida durante nossa amostragem. Segundo o estimador de Coleman (Coleman et al. 1982), espera-se uma riqueza ao redor de 75 espécies, o que representaria quase 30% a mais espécies. Entretanto, seria necessário amostrar mais 15 parcelas (total de 25) para estabilizar a curva de amostragem (Figura 4). Em termos de horas rede, o estimador de riqueza de Coleman aponta um total de 70 espécies potenciais na área de estudo, o que representa pouco mais de 20% do que foi

registrado em campo durante nossa amostragem. Isto significa que seria necessário utilizar 222 redes a mais para atingir este valor (Figura 4).

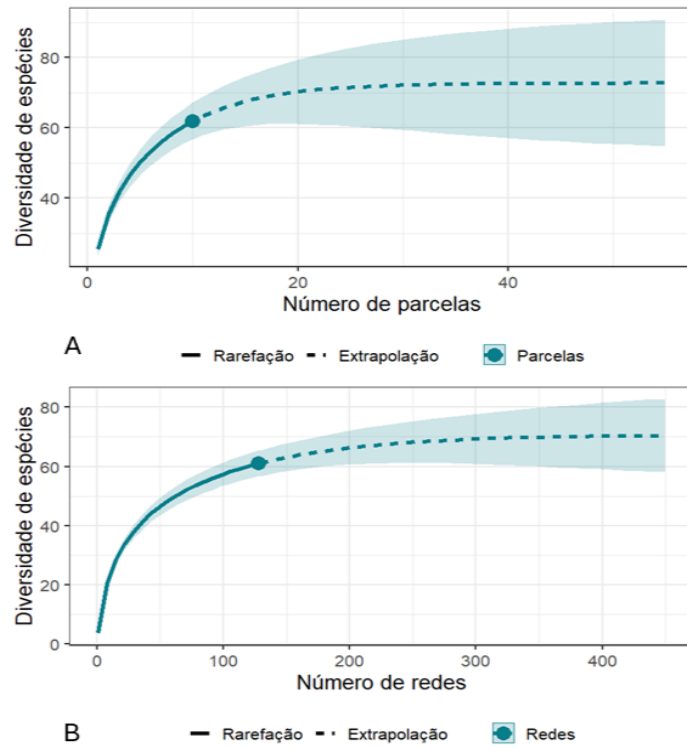


Figura 4. Curva de rarefação e extrapolação para o número de parcelas (a) e número de redes (b).

Tabela 2. Lista das 20 espécies mais capturadas nas redes de neblina nas 10 parcelas permanentes do PPBio Semiárido na Estação Ecológica do Raso da Catarina entre os dias 22 de maio e 1 de junho de 2024.

| Espécie | Nº de indivíduos | Frequência de ocorrência nas parcelas (%) |
|---------------------------------------|------------------|---|
| <i>Chrysolampis mosquitus</i> | 70 | 100 |
| <i>Coereba flaveola</i> | 50 | 100 |
| <i>Coryphospingus pileatus</i> | 42 | 100 |
| <i>Hemitriccus margaritaceiventer</i> | 38 | 100 |
| <i>Synallaxis hellmayri</i> | 34 | 100 |
| <i>Elaenia albiceps</i> | 28 | 80 |
| <i>Tachyphonus rufus</i> | 27 | 90 |
| <i>Formicivora melanogaster</i> | 26 | 90 |
| <i>Nesotriccus murinus</i> | 26 | 90 |
| <i>Anopetia gounellei</i> | 21 | 70 |
| <i>Stilpnia cayana</i> | 18 | 70 |
| <i>Sakesphoroides niedeguidonae</i> | 17 | 70 |
| <i>Thamnophilus caerulescens</i> | 16 | 90 |

| | | |
|----------------------------------|----|----|
| <i>Cantorchilus longirostris</i> | 15 | 80 |
| <i>Cyclarhis gujanensis</i> | 13 | 80 |
| <i>Chlorostilbon lucidus</i> | 12 | 60 |
| <i>Cyanoloxia brissonii</i> | 12 | 50 |
| <i>Euscarthmus meloryphus</i> | 11 | 60 |
| <i>Zonotrichia capensis</i> | 11 | 50 |
| <i>Nystalus maculatus</i> | 10 | 50 |

Entre as espécies capturadas durante nossa amostragem, cinco espécies (8,7%) foram registradas em todas as parcelas e 23 espécies (40,3%) foram registradas em mais de 50% das parcelas, representando 80% dos indivíduos capturados (Tabela 2).

4.3. VARIÁVEIS AMBIENTAIS

Nós não obtivemos associações estatisticamente significativas ($p < 0.05$) entre a riqueza de espécies e as variáveis ambientais consideradas, como altitude ($R^2 = 0.158$, $P = 0.139$), DAP da vegetação ($R^2 = -0.1204$, $P = 0.8607$), número de espécies de plantas ($R^2 = -0.1037$, $P = 0.704$), ou altura média da vegetação ($R^2 = -0.1242$, $P = 0.942$) em nossas análises de regressão linear (Figura 5). Entre a abundância de espécies e as variáveis ambientais, obtivemos associações estatisticamente significativas ($p < 0.05$) em DAP da vegetação ($R^2 = 0.86$, $P = 0.008$) e altura media da vegetação ($R^2 = 0.942$, $P = 0.05$), já na altitude ($R^2 = 0.139$, $P = 0.629$) e número de espécies de plantas ($R^2 = 0.704$, $P = 0.396$) não obtivemos associações estatisticamente significativas (Figura 6).

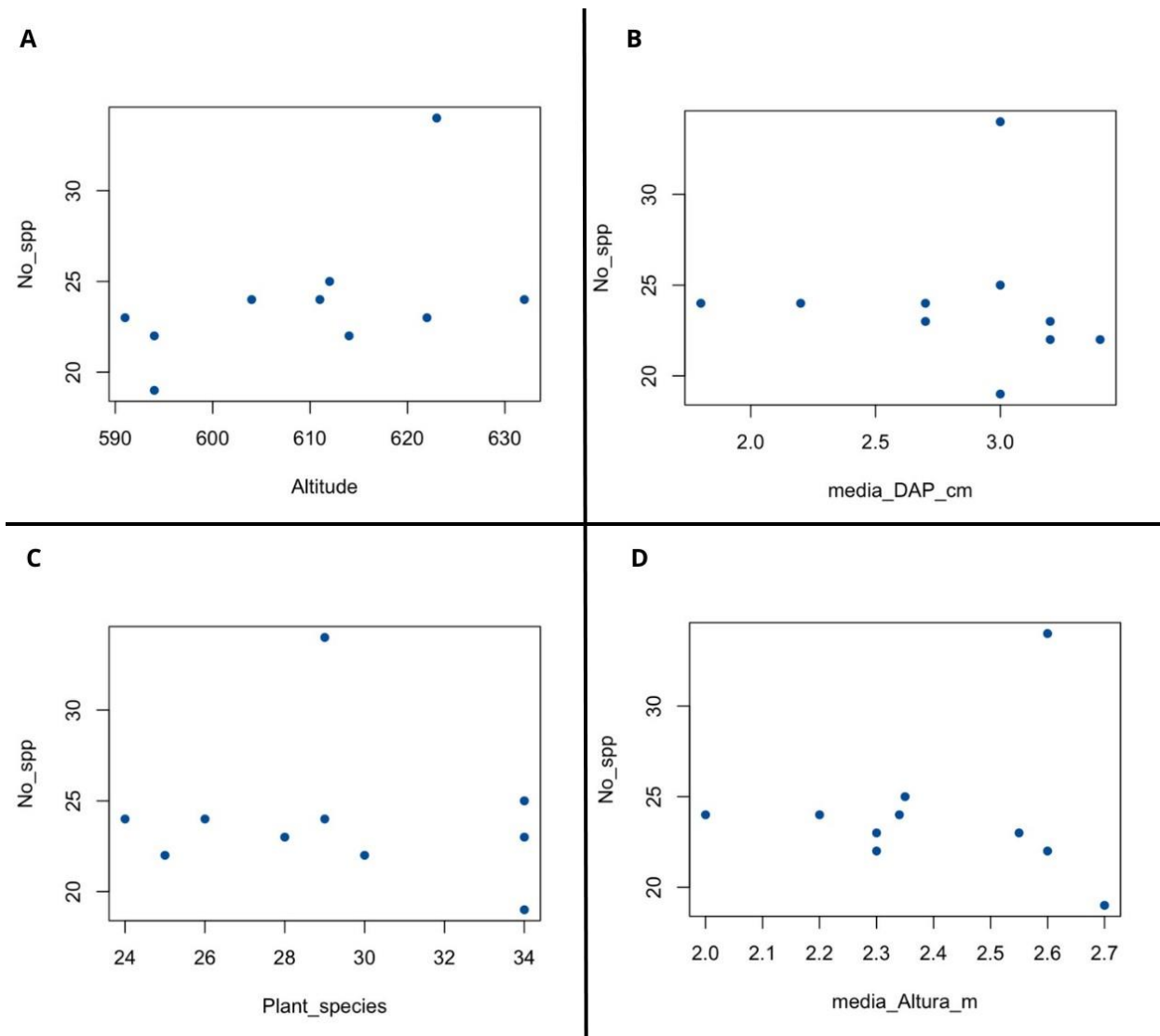


Figura 5. Relação entre riqueza de espécies e as variáveis ambientais analisadas. Não foi observada uma relação significativa entre a riqueza de espécies de aves em cada parcela. A) Altitude (m); B) média DAP (cm); C) Número de riqueza da vegetação; D) Média de altura da vegetação (m).

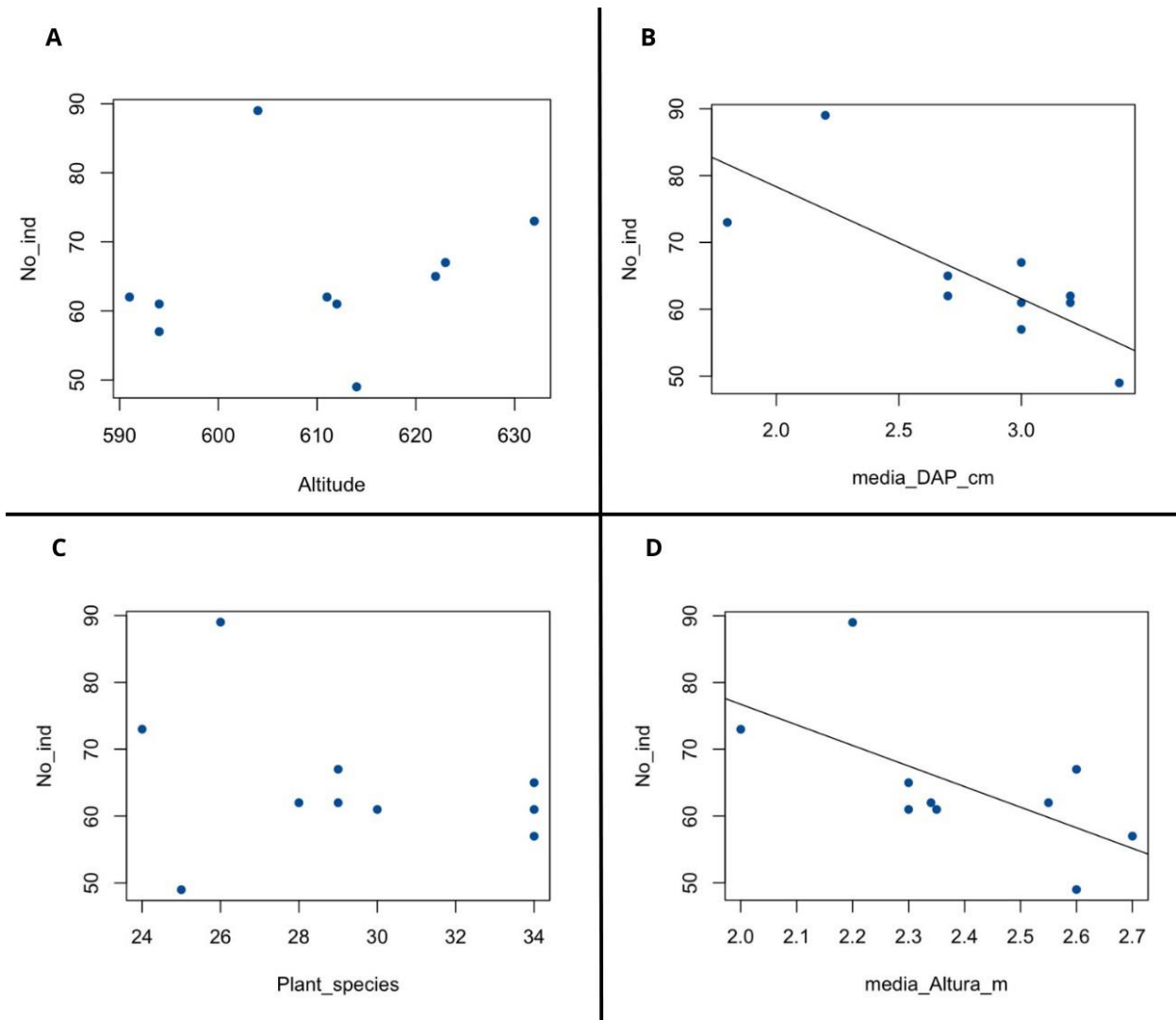


Figura 6. Relação entre abundância de espécies e as variáveis ambientais analisadas. Não foi observada uma relação significativa entre a abundância de espécies de aves em cada parcela, nas variáveis de altitude e número de riqueza da vegetação. Já nas variáveis da média de DAP e média de altura da vegetação foi observada uma relação significativa. A) Altitude (m); B) média DAP (cm); C) Número de riqueza da vegetação; D) Média de altura da vegetação (m).

Os dados de composição das comunidades de aves por parcela amostrada, também não apresentaram agrupamentos explicados pelas variáveis ambientais consideradas, como altitude (PERMANOVA, $R^2=0.08469$, $P >0.05$), DAP da vegetação (PERMANOVA, $R^2=0.09349$, $P >0.05$), número de espécies de plantas (PERMANOVA, $R^2=0.10454$, $P >0.05$), ou altura média da vegetação (PERMANOVA, $R^2=0.12793$, $P >0.05$) (Figura 7).

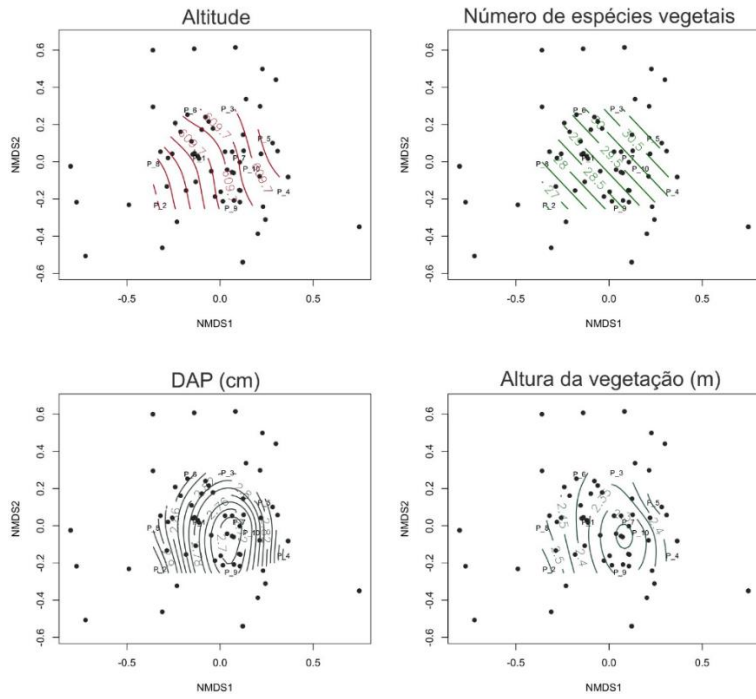
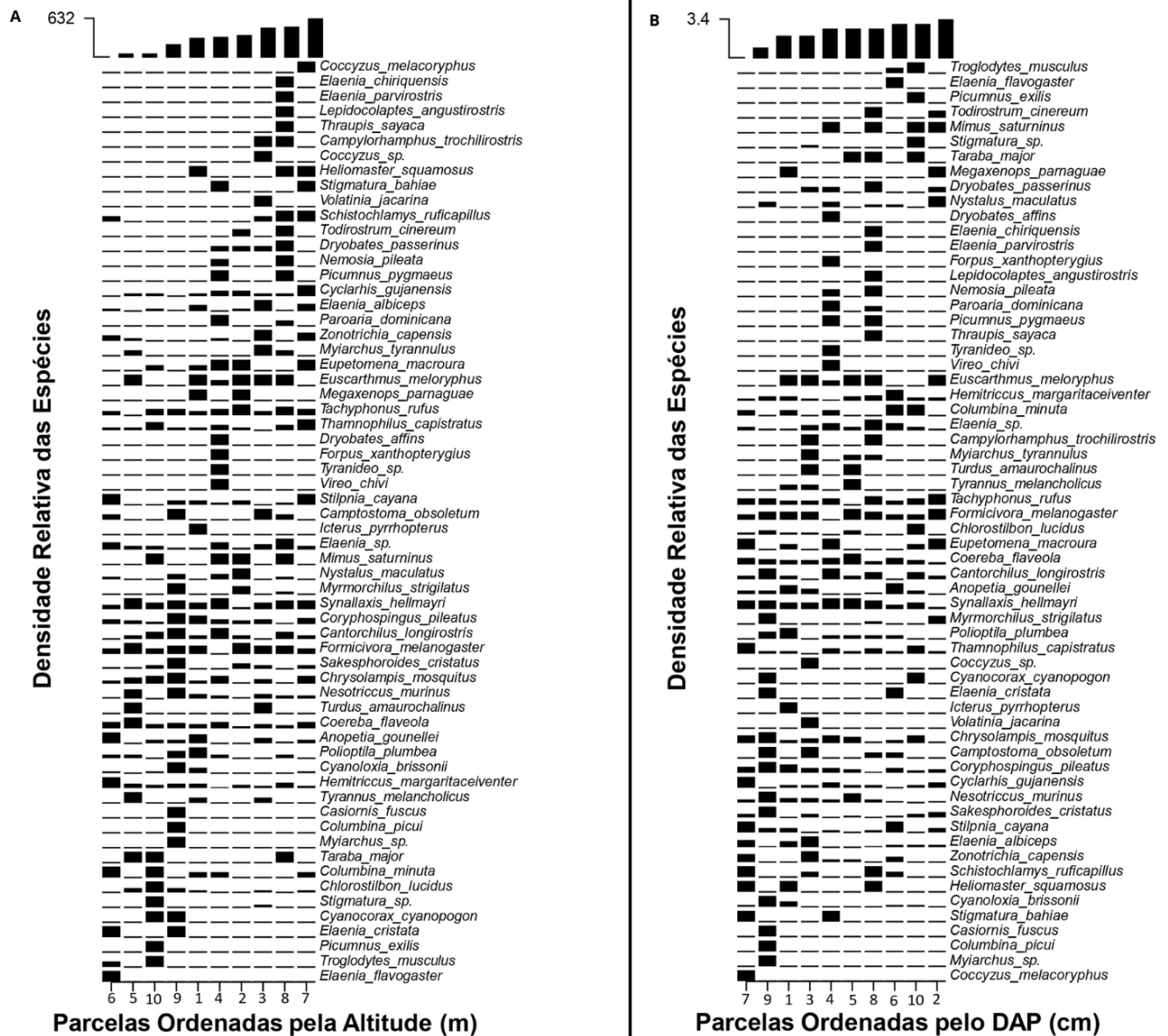


Figura 7. Ordenamento de Escalonamento não-Métrico (NMDS) das parcelas. A) Comunidade de aves x Altitude (m); B) Comunidade de aves x média DAP (cm); C) Comunidade de aves x Número de riqueza da vegetação; D) Comunidade de aves x Média de altura da vegetação (m).

Ao gerar os gráficos de ordenação pelas variáveis ambientais é possível observar que existe pouca relação entre a abundância relativa das espécies nas parcelas e as variáveis ambientais analisadas (Figura 8). Com muitas das espécies (e.g. *Chrysolampis mosquitos*, *Coereba flaveola* e *Coryphospingus pileatus*) sendo capturadas em várias das parcelas abrangendo boa parte dos gradientes ambientais analisados e algumas espécies (e.g. *Icterus pyrrhotis*, *Megaxenops parnaguae* e *Vireo chivi*) que tiveram poucas capturas, sendo registradas em apenas um ou poucos locais, não sendo possível interpretar suas distribuições em relação a fatores ambientais (Figura 8).



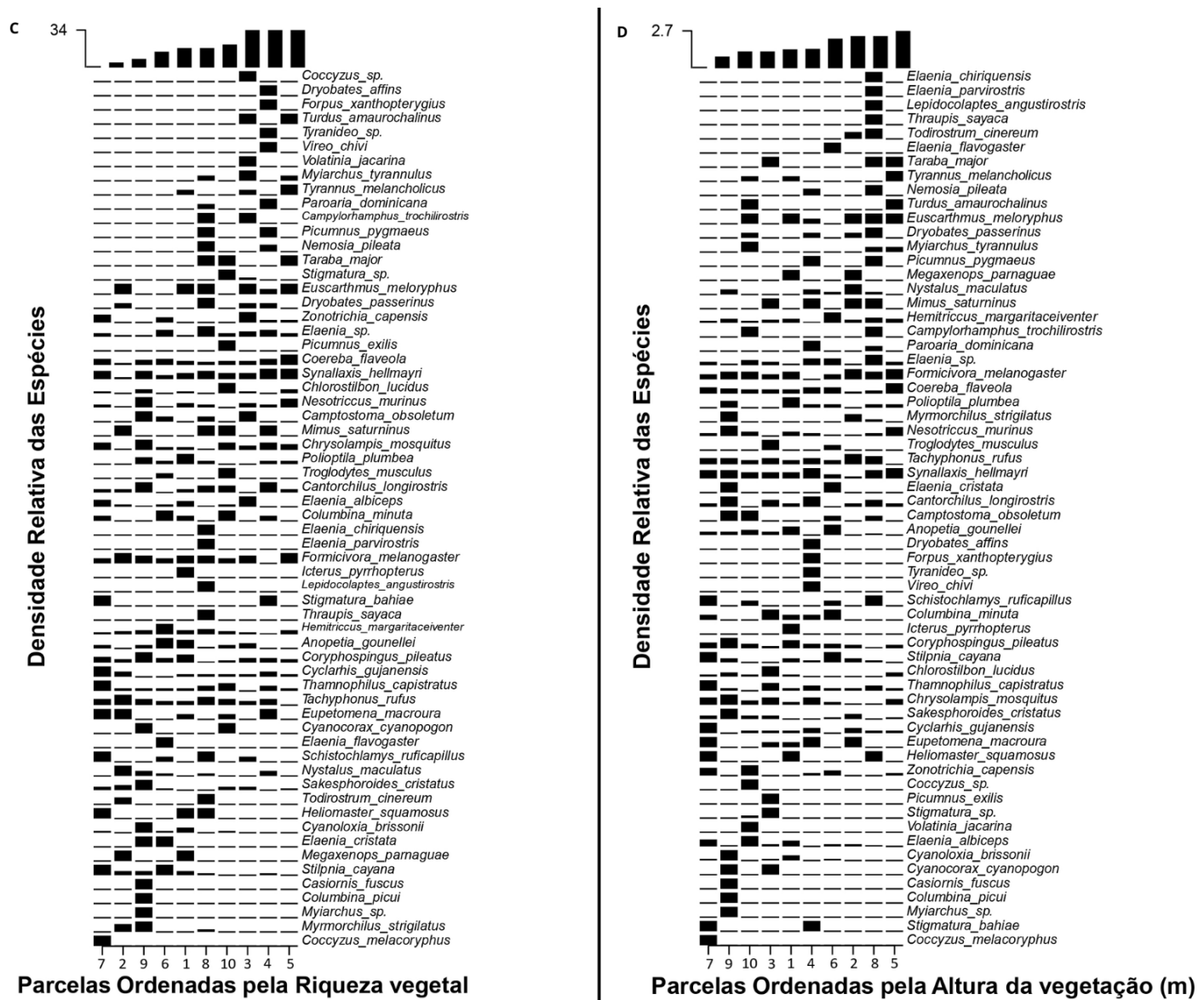


Figura 8. Distribuição da abundância de captura das 57 espécies de aves no módulo PPBio da Estação Ecológica Raso da Catarina em relação à: A) altitude; B) DAP (cm); C) Riqueza vegetal; D) Altura da vegetação.

Tabela 3. Lista de espécie de aves registradas utilizando redes de neblina nas 10 parcelas permanentes do PPBio Semiárido na Estação Ecológica do Raso da Catarina entre os dias 22 de maio e 1 de junho de 2024.

| Táxon | Nº de parcelas | Nº de ind. (Média/parcela) | Guilda | Nº em Muda | Nº em Rep. | Nº de Jovens | Nº Anilhados |
|-------------------------------|-----------------------|-------------------------------|--------|---------------|---------------|-----------------|-----------------|
| COLUMBIFORMES | | | | | | | |
| COLUMBIDAE | | | | | | | |
| <i>Columbina minuta</i> | 5 (1,4,6,7,10) | 7 (0.7) | GRA | 1 | 0 | 1 | 7 |
| <i>Columbina picui</i> | 1 (9) | 1 (0.1) | GRA | | | 0 | 0 |
| CUCULIFORMES | | | | | | | |
| CUCULIDAE | | | | | | | |
| <i>Coccyzus melacoryphus</i> | 1 (7) | 1 (0.1) | INS | 1 | 1 | 0 | 1 |
| APODIFORMES | | | | | | | |
| TROCHILIDAE | | | | | | | |
| <i>Anopetia gounellei</i> | 7 (1, 3, 6, 7-10) | 21 (2.1) | NEC | 12 | 0 | 4 | 7 |
| <i>Chrysolampis mosquitus</i> | 10 | 70 (7) | NEC | 42 | 5 | 25 | 37 |
| <i>Heliomaster squamosus</i> | 3 (1, 7, 8) | 3(0.3) | NEC | 0 | 0 | 1 | 1 |
| <i>Chlorostilbon lucidus</i> | 6 (1, 3, 5, 7, 9, 10) | 12 (1.2) | NEC | 5 | 0 | 5 | 9 |
| <i>Eupetomena macroura</i> | 5 (1, 2, 4, 7, 10) | 8 (0.8) | NEC | 6 | 1 | 1 | 1 |
| GALBULIFORMES | | | | | | | |
| BUCCONIDAE | | | | | | | |
| <i>Nystalus maculatus</i> | 5 (2, 4, 6, 8, 9) | 10 (1) | INS | 7 | 0 | 0 | 8 |
| PICIFORMES | | | | | | | |
| PICIDAE | | | | | | | |
| <i>Picumnus exilis</i> | 1 (10) | 2 (0.2) | INS | 1 | 0 | 0 | 1 |
| <i>Picumnus pygmaeus</i> | 2 (4, 8) | 2 (0.2) | INS | 0 | 0 | 0 | 1 |
| <i>Veniliornis affinis</i> | 1 (4) | 1 (0.1) | INS | 0 | 0 | 0 | 1 |
| <i>Veniliornis passerinus</i> | 4(2-4, 8) | 5 (0.5) | INS | 1 | 0 | 0 | 3 |
| PSITTACIFORMES | | | | | | | |
| PSITTACIDAE | | | | | | | |
| <i>Forpus xanthopterygius</i> | 1 (4) | 2 (0.2) | GRA | 1 | 0 | 1 | 2 |

| Táxon | Nº de parcelas | Nº de ind. (Média/parcela) | Guilda | Nº em Muda | Nº em Rep. | Nº de Jovens | Nº Anilhados |
|------------------------------------|----------------------|-------------------------------|--------|---------------|---------------|-----------------|-----------------|
| <i>Cyanocorax cyanopogon</i> | 2 (9, 10) | 2 (0.2) | ONI | 1 | 0 | 1 | 1 |
| TROGLODYTIDAE | | | | | | | |
| <i>Troglodytes musculus</i> | 2 (10, 6) | 3 (0.3) | INS | 3 | 0 | 2 | 3 |
| <i>Cantorchilus longirostris</i> | 8 (1, 2, 4, 5, 7-10) | 15 (1.5) | ONI | 8 | 0 | 2 | 14 |
| POLIOPTILIDAE | | | | | | | |
| <i>Polioptila atricapilla</i> | 6 (1, 4-6, 8, 9) | 9 (0.9) | INS | 8 | 0 | 0 | 9 |
| TURDIDAE | | | | | | | |
| <i>Turdus amaurochalinus</i> | 2 (3, 5) | 2 (0.2) | INS | 2 | 0 | 1 | 2 |
| MIMIDAE | | | | | | | |
| <i>Mimus saturninus</i> | 4 (2, 4, 8, 10) | 4 (0.4) | ONI | 3 | 0 | 1 | 3 |
| PASERELLIDAE | | | | | | | |
| <i>Zonotrichia capensis</i> | 5 (3-7) | 11 (1.1) | ONI | 3 | 7 | 3 | 11 |
| ICTERIDAE | | | | | | | |
| <i>Icterus pyrrhogaster</i> | 1 (1) | 1 (0.1) | ONI | 0 | 0 | 0 | 1 |
| CARDINALIDAE | | | | | | | |
| <i>Cyanoloxia brissonii</i> | 5 (1, 6, 7, 9, 10) | 12 (1.2) | ONI | 8 | 4 | 7 | 12 |
| THRAUPIDAE | | | | | | | |
| <i>Nemosia pileata</i> | 2 (8,4) | 5 (0.5) | FRU | 3 | 0 | 0 | 2 |
| <i>Coereba flaveola</i> | 10 | 50 (5) | NEC | 41 | 3 | 16 | 50 |
| <i>Volatinia jacarina</i> | 1 (3) | 2 (0.2) | GRA | 0 | 0 | 0 | 1 |
| <i>Coryphospingus pileatus</i> | 10 | 42 (4.2) | GRA | 16 | 4 | 16 | 42 |
| <i>Tachyphonus rufus</i> | 9 (1-4, 6-10) | 27 (0.7) | ONI | 16 | 5 | 8 | 26 |
| <i>Schistochlamys ruficapillus</i> | 4 (3, 6-8) | 6 (0.6) | ONI | 4 | 2 | 1 | 5 |
| <i>Paroaria dominicana</i> | 2 (4, 8) | 3 (0.3) | GRA | 0 | 0 | 1 | 1 |
| <i>Thraupis sayaca</i> | 1 (8) | 1 (0.1) | FRU | 1 | 0 | 0 | 1 |
| <i>Stilpnia cayana</i> | 7 (1, 2, 6-10) | 18 (1.8) | ONI | 15 | 0 | 7 | 17 |

Acrônimo: 1 (L1-500), 2 (L1-1500), 3 (L1-2500) 4 (L1-3500), 5 (L1-4500), 6 (L-500) 7 (L2- 1500), 8 (L2-2500), 9 (L2-3500), 10 (L2-4500); FRU (Frugívora), GRA (Granívora), INS (Insectívora), NEC (Nectarívora), ONI (Onívora).

5. DISCUSSÃO

A avifauna da ESEC Raso da Catarina é relativamente bem conhecida, se comparado com outras UCs na Caatinga. Os primeiros inventários ornitológicos nesta área foram realizados nos anos 80 por H. Sick e colaboradores, onde registraram 132 espécies nas municipalidades de Canudos e Paulo Afonso (Sick et al. 1987). Três décadas depois, Lima e colaboradores reportaram 179 espécies de aves na Estação Ecológica de Canudos, próxima da ESEC (Lima et al. 2003) e Nunes e Machado (2012) reportaram a presença de 156 espécies em duas áreas da ESEC amostradas. Neste trabalho, nós apresentamos a avifauna de uma área da ESEC com variáveis ambientais e de vegetação bastante homogêneas. Desta forma, nossos resultados podem ser bem representativos da área amostrada. Apesar de termos registrado uma parcela reduzida das espécies já registradas na ESEC, o objetivo deste trabalho foi produzir dados replicáveis ao longo do tempo, para podermos monitorar potenciais mudanças na avifauna da região. O fato da avifauna da ESEC seja relativamente bem conhecida, a torna um local interessante para iniciar projetos de monitoramento a longo prazo (Sick et al. 1986, Lima et al. 2003, Nunes & Machado 2012). Dados a longo prazo nos permitem um melhor entendimento do efeito das mudanças ambientais, das características, do comportamento e da conservação da comunidade de aves da região, complementando o conhecimento sobre a comunidade com informações ecológicas.

5.1. CARACTERIZAÇÃO: RIQUEZA E ABUNDÂNCIA DA AVIFAUNA

De acordo com os nossos resultados, a ordem Passeriformes foi a mais representativa, esse resultado já era esperado, já que é a ordem que apresenta maior número de famílias no mundo (Bejček & Štastný 2002). Com relação às famílias, a Família Tyrannidae (ordem Passeriformes) foi a mais representativa com 12 espécies, corroborando outros estudos realizados na Caatinga que registraram está como sendo a família mais representada em espécies neste bioma (Nascimento 2000, Santos 2004, Ross et al. 2006). Em relação às guildas tróficas, nossos resultados apontaram uma predominância de espécies insetívoras, principalmente nas famílias Tyrannidae e Thamnophilidae, como foi observado em outros estudos realizados na Caatinga (Nunes & Machado 2012, Santos 2004, Ross et al. 2006, Las-Casas 2019). A segunda guilda trófica mais abundante no módulo do PPBIO foi a onívora. Esses resultados apontam para dois pontos

principais que foram observados por D'Angelo Neto et al. (1998) e Willis (1979); em primeiro lugar por ter uma relação com a variação de recursos alimentares atuando como um efeito tampão e em segundo lugar, as variações ambientais como a sazonalidade e/ou ações antrópicas leva ao aumento de recursos alimentares não especializados, consequentemente, gerando o aumento de onívoros na região. Os onívoros aparecem como segunda guilda trófica mais abundante em outros estudos realizados pelo Brasil (Telino-Junior 2005, D'angelo Neto et al. 1998, Willis 1979, Nunes & Machado 2012).

A riqueza de espécie de aves encontrada no presente estudo (57 espécies), corresponde a cerca de um terço das espécies já registradas (159 espécies) em outros estudos realizados no Raso da Catarina (Sick et al. 1986, Lima et al. 2003, Nunes & Machado 2012) e a 16% em relação às 347 espécies registradas em áreas de vegetação de Caatinga (Araujo & Silva 2017). Nossos resultados obtidos a partir das curvas de acumulação e extração de espécies, levam a acreditar que um aumento no número de pontos ou no número de redes utilizadas, levaria a um aumento de entre 20 e 30 % no número de espécies registradas. O baixo valor de riqueza encontrado neste estudo com relação aos outros realizados na mesma região, se deve ao fato de que este estudo teve menos pontos de coleta e utilizou apenas redes de neblina, enquanto os outros também realizaram pontos de escuta/observação, que é um método mais eficiente para amostragem de riqueza, pois não se limita às aves que voam baixo na vegetação (dos Anjos 2007). Consequentemente, por causa das parcelas amostradas estarem distribuídas em apenas um ambiente, em um ambiente bastante homogêneo, é provável que isso tenha efeito na baixa riqueza de espécies observada aqui. Entretanto, acreditamos que a região foi bem amostrada e os dados dos pontos de escuta/observação complementarão esse resultado obtido. A inclusão de parcelas distribuídas em diferentes áreas e/ou com diferentes características ambientais poderia levar ao aumento no número de espécies, como observado em estudos onde analisaram diferentes tipos de vegetações, diferentes altitudes e diferentes estados de conservação na Caatinga, pois a diversidade ambiental cria um ambiente mais favorável para a ocorrência de diferentes espécies (Santos 2004, Olmos et al. 2005, Nunes & Machado 2012).

Com relação às espécies mais abundantes encontradas, apenas cinco das espécies mais registradas neste estudo foram também dominantes em outros estudos realizados na Caatinga: *Coryphospingus pileatus*, *Chrysolampis mosquitus*, *Hemitriccus margaritaceiventer*, *Formicivora*

melanogaster e *Chlorostilbon lucidus* (Olmos et al. 2005, Nunes & Machado 2012, Santos 2004). No estudo de Nunes & Machado (2012) realizado na ESEC Raso da Catarina, a espécie mais abundante foi a *Polioptila plumbea*, entretanto, nos nossos estudos ela apareceu apenas 9 vezes no módulo. Ademais, a espécie que mais aparece entre as espécies mais abundantes observadas em diversas regiões da Caatinga é a *Coryphospingus pileatus* (Olmos et al. 2005, Santos 2004).

A parcela com a maior riqueza de espécies foi a 8, onde é possível que fatores ambientais sejam mais favoráveis para diversas espécies, afinal, ao observar os valores de riqueza e os gráficos de ordenação, é a parcela que apresentou a maior diversidade e com maior número de espécies que apareceram apenas nela. Além disso, a ESEC Raso da Catarina sofre com efeitos da presença de gado que é responsável por causar o empobrecimento e perda da diversidade da vegetação (Alves et al. 2009). Isso gera o questionamento se as parcelas com valores mais baixos de riqueza, como a parcela 5, estão sofrendo com uma maior presença do gado, apresentando uma diminuição da diversidade de aves e uma generalização das espécies. Como demonstrado nos gráficos de ordenação, essas parcelas apresentaram, principalmente, espécies que estão amplamente distribuídas no módulo. Sabendo-se disso, seria interessante a realização de estudos para analisar os efeitos da presença do gado na avifauna, entender mais a fundo as diferenças ambientais entre as parcelas e realizar a conexão entre os diversos grupos ecológicos presentes na região.

5.2. IMPORTÂNCIA DO MONITORAMENTO DAS AVES E DE DISPONIBILIZAR OS DADOS EM PLATAFORMAS DE CIÊNCIA CIDADÃ

Programas de monitoramento possuem o objetivo comum de entender e elucidar quais mudanças estão ocorrendo nas populações de aves e por que essas mudanças ocorrem (Schmeller et al. 2012). Nesse sentido, este estudo traz informações valiosas que servirão como base para acompanhar e entender possíveis mudanças que ocorrerão na avifauna da Caatinga. Essas mudanças podem ser de curto ou longo prazo. Por exemplo, Nunes & Machados (2012), observaram mudanças da comunidade associadas com as épocas do ano (seca e chuva), enquanto Stouffer et al. (2009) observaram o impacto da fragmentação do habitat nas comunidades de aves na Amazônia ao longo de 20 anos.

As aves são um grupo importante para a realização de estudos ecológicos por serem espécies de fácil monitoramento, amplamente conhecidas, e principalmente por serem sensíveis a

mudanças ambientais (Şekercioğlu 2012). O anilhamento das aves permite a recuperação e identificação do indivíduo em futuras coletas, analisando as mudanças que ele sofreu, se está em época de reprodução, muda e permite realizar uma estimativa do tempo de vida dessas espécies, permitindo uma melhor compreensão da ecologia e do comportamento desses animais. Tornando-se um ótimo organismo para a criação de projetos de conservação por demonstrar a trajetória da população, ou seja, as suas tendências crescentes ou decrescentes (Hernández-Navarro 2024).

É de suma importância que os dados coletados sejam disponibilizados em plataformas de ciência cidadã. Afinal, é comum que se coletem dados e nunca sejam utilizados (Magnusson 2013), tendo um gasto de tempo e dinheiro alto que não é aproveitado para a pesquisa e a sociedade. Dessa forma, ao disponibilizar nossos dados em plataformas de ciência cidadã estamos evitando que os dados se percam e não sejam aproveitados no futuro para outros estudos. Já se mostrou possível realizar e complementar estudos com os dados presentes nessas plataformas, como foi demonstrado por Morrison et al. (2021) e Neate-Clegg et al. (2020) ao realizarem estudos apenas com dados de plataformas cidadãs e por Snäll et al. (2011) que comprovou a eficiência das plataformas digitais para complementar os dados de monitoramentos.

6. CONCLUSÕES

Este estudo criou uma linha de base de dados para o monitoramento da comunidade encontrada nas 10 parcelas permanentes instaladas no módulo PPBio-Semiárido RABECA, iniciando um projeto de longo prazo na região. Os números encontrados de riqueza, observados aqui, são baixos ao comparar com outros estudos realizados na Caatinga. Talvez por ter o módulo RAPELD instalado em uma área bastante homogênea, não encontramos nenhuma relação significativa com estas variáveis, o que não significa que estas não sejam afetadas por variáveis como altitude, densidade e número de espécies de plantas.

Dados de pontos de escuta já foram coletados no módulo RAPELD do Raso da Catarina e devem enriquecer os resultados aqui apresentados. Para compreender melhor a distribuição e diversidade das aves no módulo, sugerimos a realização de estudos que incluam analisar o efeito da presença de gado na composição da comunidade da avifauna.

A realização de monitoramentos da avifauna se mostra essencial para compreender as mudanças que venham a ocorrer nessas comunidades, que é composta por diversas espécies que podem ser sensíveis a mudanças ambientais. Além disso, evidenciamos a importância da disponibilidade desses dados em plataformas de ciência cidadã para evitar que ocorra a perda dos dados coletados, permitindo que eles estejam disponíveis para outros estudos.

7. REFERÊNCIAS

- Almeida, M. C. B., Figueira, L. A. (1983.). Estação Ecológica Raso da Catarina – Bahia. Subprojeto: estudos geomorfológicos. Relatório de Pesquisa do Convênio Salvador: Sema/Minter/UFBA.
- Alves, J. J. A., de Araújo, M. A., & do Nascimento, S. S. (2009). Degradação da Caatinga: uma investigação ecogeográfica. Revista Caatinga, 22(3), 126-135.
- dos Anjos, L. (2007). A eficiência do método de amostragem por pontos de escuta na avaliação da riqueza de aves. Ararajuba. Rev. Bras. Ornitol, 15(2), 239-243.
- de Araujo, H. F. P., & Silva, J. M. C. D. (2017). The avifauna of the Caatinga: biogeography, ecology, and conservation. Caatinga: The largest tropical dry forest region in South America, 181-210.
- Balmford, A., Bennun, L., Ten Brink, B., Cooper, D., Côté, I. M., Crane, P., ... & Walther, B. A. (2005). The convention on biological diversity's 2010 target. Science, 307(5707), 212-213.
- Bartell, S. M. (2006). Biomarkers, bioindicators, and ecological risk assessment—a brief review and evaluation. Environmental Bioindicators, 1(1), 60-73.
- Bejček, V., & Štastný, K. (2002). Enciclopédia das Aves: as várias espécies e seus habitats. Livros e Livros.
- Bennun, L. (2000). Assessing and monitoring bird populations in Africa: an overview. Ostrich, 71(1-2), 214-215.
- Billerman S. M., Keeney B. K., Rodewald P. G. & Schulenberg T. S. (Editors) (2022). Birds of the World. Cornell Laboratory of Ornithology, Ithaca, NY, USA. <https://birdsoftheworld.org/bow/home>
- Buckland, S. T., & Johnston, A.. (2017). Monitoring the biodiversity of regions: Key principles and possible pitfalls. Biological Conservation, 214: 23–34.
- Burger, J. (2006). Bioindicators: types, development, and use in ecological assessment and research. Environmental Bioindicators, 1(1), 22-39.
- Cairns, J., & Pratt, J. R. (1993). A history of biological monitoring using benthic macroinvertebrates. Freshwater biomonitoring and benthic macroinvertebrates, 10, 27.
- Callaghan, C. T., & Gawlik, D. E. (2015). Efficacy of eBird data as an aid in conservation planning and monitoring. Journal of Field Ornithology, 86(4), 298-304.

- Clark, C. J. (2017). eBird records show substantial growth of the Allen's Hummingbird (*Selasphorus sasin sedentarius*) population in urban Southern California. *The Condor: Ornithological Applications*, 119(1), 122-130.
- Coleman, B.D, Mares, M.A., Willis, M.R. & Hsieh, Y. (1982). Randomness, area and species richness. *Ecology* 63: 1121–1133.
- D'angelo Neto, S., Venturin, N., Oliveira Filho, A. T., & Costa, F. A. F. (1998). Avifauna de quatro fisionomias florestais de pequeno tamanho (5-8 ha) no campus da UFLA. *Revista Brasileira de Biologia*, 58, 463-472.
- Danielsen, F., Jensen, A. E., Alviola, P. A., Balete, D. S., Mendoza, M., Tagtag, A., ... & Enghoff, M. (2005). Does monitoring matter? A quantitative assessment of management decisions from locally-based monitoring of protected areas. *Biodiversity & Conservation*, 14, 2633-2652.
- Fink, D., Auer, T., Johnston, A., Ruiz-Gutierrez, V., Hochachka, W. M., & Kelling, S. (2020). Modeling avian full annual cycle distribution and population trends with citizen science data. *Ecological Applications*, 30(3), e02056.
- Fournier, A. M., Sullivan, A. R., Bump, J. K., Perkins, M., Shieldcastle, M. C., & King, S. L. (2017). Combining citizen science species distribution models and stable isotopes reveals migratory connectivity in the secretive Virginia rail. *Journal of Applied Ecology*, 54(2), 618-627.
- Gregory, R. D., Van Strien, A., Vorisek, P., Gmelig Meyling, A. W., Noble, D. G., Foppen, R. P., & Gibbons, D. W. (2005). Developing indicators for European birds. *Philosophical Transactions of the Royal Society B: Biological Sciences*, 360(1454), 269-288.
- Guimaraes, A. F., Querido, L. C. A., Rocha, T., Rodrigues, D. J., Viana, P. L., Bergallo, H. G., ... & Dala-Corte, R. B. (2024). Disentangling the veil line for Brazilian biodiversity: An overview from two long-term research programs reveals huge gaps in ecological data reporting. *Science of The Total Environment*, 174880.
- Hernández-Navarro, A. J., Robledano, F., Jiménez-Franco, M. V., Royle, J. A., & Calvo, J. F. (2024). Long-term trends of local bird populations based on monitoring schemes: are they suitable for justifying management measures?. *Journal of Ornithology*, 165(2), 355-367.
- Hsieh, T. C., K. H. Ma and Anne Chao. (2024) iNEXT: iNterpolation and EXTrapolationfor species diversity. R package version 3.0.1 URL: <http://chao.stat.nthu.edu.tw/wordpress/software-download/>.
- IBAMA. 2008. Plano de Manejo Estação Ecológica Raso da Catarina. 2^a. Ed. Brasília: Ibama

- Jiménez-Franco, M. V., Martínez, J. E., Pagán, I., & Calvo, J. F. (2020). Long-term population monitoring of a territorial forest raptor species. *Scientific Data*, 7(1), 166.
- Las-Casas, F. M. G., da Pereira, I. M. S., dos Santos, L. D. A. N., & Naka, L. N. (2019). The avifauna of the Catimbau National Park, an important protected area in the Brazilian semiarid. *Revista Brasileira de Ornitologia*, 27, 79-93.
- Lengyel, S., Déry, E., Varga, Z., Horváth, R., Tóthmérész, B., Henry, P. Y., ... & Henle, K. (2008). Habitat monitoring in Europe: a description of current practices. *Biodiversity and Conservation*, 17, 3327-3339.
- Le Viol, I., Jiguet, F., Brotons, L., Herrando, S., Lindström, Å., Pearce-Higgins, J. W., ... & Devictor, V. (2012). More and more generalists: two decades of changes in the European avifauna. *Biology letters*, 8(5), 780-782.
- Lima, P. C., Santos, S. S., & Lima, R. C. F. R. (2003). Levantamento e anilhamento da ornitofauna na pátria da Arara-azul-de-lear (*Anodorhynchus leari*, Bonaparte, 1856): um complemento ao levantamento realizado por H. Sick, LP Gonzaga e DM Teixeira, 1987. *Atualidades Ornitológicas*, 112(11).
- Lindenmayer, D. B., Gibbons, P., Bourke, M., Burgman, M., Dickman, C. R., Ferrier, S., Fitzsimons, J., Freudenberger, D., Garnett, S. T., Groves, C., Hobbs, R. J., Kingsford, R. T., Krebs, C., Legge, S., Lowe, A. J., Mclean, R., Montambault, J., Possingham, H., Radford, J., ..., Robinson, D., Smallbone, L., et al. (2012). Improving biodiversity monitoring. *Austral Ecology*, 37, 285–294.
- Magnusson, W.E., Lima, A.P., Luizão, R., Luizão, F., Costa, F.R., Castilho, C.V.D. and Kinupp, V.F., 2005. RAPELD: a modification of the Gentry method for biodiversity surveys in long-term ecological research sites. *Biota neotropica*, 5, pp.19-24.
- Magnusson, W. E., Albernaz, A. L., Hero, J. M., Lawson, B. E., Castilho, C. V. D., Drucker, D., ... & Lima, A. (2013). Biodiversidade e monitoramento ambiental integrado: o sistema RAPELD na Amazônia.
- Morrison, C. A., Auniňš, A., Benkő, Z., Brotons, L., Chodkiewicz, T., Chylarecki, P., ... & Butler, S. J. (2021). Bird population declines and species turnover are changing the acoustic properties of spring soundscapes. *Nature Communications*, 12(1), 6217.
- Moussy, C., Burfield, I. J., Stephenson, P. J., Newton, A. F., Butchart, S. H., Sutherland, W. J., ... & Donald, P. F. (2022). A quantitative global review of species population monitoring. *Conservation Biology*, 36(1), e13721

- Nascimento, N. R. (1984). Estudo de uma toposequência de solos na região da Estação Ecológica do Raso da Catarina – BA: gênese e evolução. Salvador. Dissertação (Mestrado) – Universidade Federal da Bahia.
- Nascimento, J. L. X. (2000). Estudo comparativo da avifauna em duas Estações Ecológicas da Caatinga: Aiuba e Seridó. *Melopsittacus*, 3(1), 12-35.
- Neate-Clegg, M. H., Horns, J. J., Adler, F. R., Aytekin, M. Ç. K., & Şekercioğlu, Ç. H. (2020). Monitoring the world's bird populations with community science data. *Biological Conservation*, 248, 108653.
- Nunes, C. E. C., & Machado, C. G. (2012). Avifauna de duas áreas de caatinga em diferentes estados de conservação no Raso da Catarina, Bahia, Brasil. *Revista Brasileira de Ornitologia*, 20(3), 215-229.
- Oksanen J, Simpson G, Blanchet F, Kindt R, Legendre P, Minchin P, O'Hara R, Solymos P, Stevens M, Szoecs E, Wagner H, Barbour M, Bedward M, Bolker B, Borcard D, Carvalho G, Chirico M, De Caceres M, Durand S, Evangelista H, FitzJohn R, Friendly M, Furneaux B, Hannigan G, Hill M, Lahti L, McGlinn D, Ouellette M, Ribeiro Cunha E, Smith T, Stier A, Ter Braak C, Weedon J (2024). *_vegan: Community Ecology Package_*. R package version 2.6-6.1, <<https://CRAN.R-project.org/package=vegan>>.
- Olmos, F., Silva, W. A. D. G., & Albano, C. G. (2005). Aves em oito áreas de Caatinga no sul do Ceará e oeste de Pernambuco, nordeste do Brasil: composição, riqueza e similaridade. *Papéis Avulsos de Zoologia*, 45, 179-199.
- Pacheco, J. F. & C. Bauer. 2000. Aves da caatinga - apreciação histórica do processo de conhecimento. Em: Workshop avaliação e identificação de ações prioritárias para a conservação, utilização sustentável e repartição de benefícios da biodiversidade do bioma caatinga. Documento Temático, Seminário Biodiversidade da caatinga. Petrolina, 60p.
- Pacheco, J. F. (2004). As aves da Caatinga: uma análise histórica do conhecimento. Biodiversidade da Caatinga: áreas e ações prioritárias para a conservação, 189-250.
- Pacheco, J. F., Silveira, L. F., Aleixo, A., Agne, C. E., Bencke, G. A., Bravo, G. A., ... & de Q Piacentini, V. (2021). Annotated checklist of the birds of Brazil by the Brazilian Ornithological Records Committee—second edition. *Ornithology Research*, 29(2), 94-105.
- Parr, T. W., Ferretti, M., Simpson, I. C., Forsius, M., & Kovács-Láng, E. (2002). Towards a long-term integrated monitoring programme in Europe: network design in theory and practice. *Environmental Monitoring and assessment*, 78, 253-290.

- Pereira, H. M., & Cooper, H. D. (2006). Towards the global monitoring of biodiversity change. *Trends in ecology & evolution*, 21(3), 123-129.
- Remsen, J. V., Jr., J. I. Areta, E. Bonaccorso, S. Claramunt, G. Del-Rio, A. Jaramillo, D. F. Lane, M. B. Robbins, F. G. Stiles, and K. J. Zimmer. Version [29 June 2024]. A classification of the bird species of South America. Museum of Natural Science, Louisiana State University. <http://www.museum.lsu.edu/~Remsen/SACCBaseline.htm>
- Roos, A. L., Nunes, M. F. C., Souza, E. A., Souza, A. E. B. A., Nascimento, J. L. X., & Lacerda, R. C. A. (2006). Avifauna da região do Lago de Sobradinho: composição, riqueza e biologia. *Ornithologia*, 1(2), 135-160.
- Rosa, C., Baccaro, F., Cronemberger, C., Hipolito, J., BARROS, C., Rodrigues, D.D.J., Neckel-Oliveira, S., Overbeck, G.E., Drechsler-Santos, E.R., ANJOS, M.R.D. and Ferreguetti, A.C., 2021. The Program for Biodiversity Research in Brazil: The role of regional networks for biodiversity knowledge, dissemination, and conservation. *Anais da Academia Brasileira de Ciências*, 93, p.e20201604.
- Santos, M. P. D. (2004). As comunidades de aves em duas fisionomias da vegetação de Caatinga no estado do Piauí, Brasil. *Ararajuba*, 12(2), 113-123.
- SERVIÇO FLORESTAL BRASILEIRO (SFB). Sistema Nacional de Informações Florestais – SNIF. Brasília, 2019. Disponível em:< <http://snif.forestal.gov.br/pt-br/>>. Acesso em: 31 julho. 2024
- Schmeller, D., Henle, K., Loyau, A., Besnard, A., & Henry, P. Y. (2012). Bird-monitoring in Europe—a first overview of practices, motivations and aims. *Nature Conservation*, 2, 41-57.
- Seak, S., Schmidt-Vogt, D., & Thapa, G. B. (2012). Biodiversity monitoring at the Tonle Sap Lake of Cambodia: A comparative assessment of local methods. *Environmental management*, 50, 707-720.
- Şekercioğlu, Ç. H. (2012). Promoting community-based bird monitoring in the tropics: Conservation, research, environmental education, capacity-building, and local incomes. *Biological Conservation*, 151(1), 69-73.
- Sick, H., Gonzaga, L. P., & Teixeira, D. M. (1986). A arara-azul-de-Lear, *Anodorhynchus leari* Bonaparte, 1856. *Revista Brasileira de Zoologia*, 3, 441-463.
- Silva, J. L. S. E., Cruz-Neto, O., Peres, C. A., Tabarelli, M., & Lopes, A. V. (2019). Climate change will reduce suitable Caatinga dry forest habitat for endemic plants with disproportionate impacts on specialized reproductive strategies. *PloS one*, 14(5), e0217028.

- Snäll, T., Kindvall, O., Nilsson, J., & Pärt, T. (2011). Evaluating citizen-based presence data for bird monitoring. *Biological conservation*, 144(2), 804-810.
- Souza, D. G., Sfair, J. C., de Paula, A. S., Barros, M. F., Rito, K. F., & Tabarelli, M. (2019). Multiple drivers of aboveground biomass in a human-modified landscape of the Caatinga dry forest. *Forest Ecology and Management*, 435, 57-65.
- Stouffer, P. C., Strong, C., & Naka, L. N. (2009). Twenty years of understorey bird extinctions from Amazonian rain forest fragments: consistent trends and landscape-mediated dynamics. *Diversity and distributions*, 15(1), 88-97.
- Sullivan, B. L., Wood, C. L., Iliff, M. J., Bonney, R. E., Fink, D., & Kelling, S. (2009). eBird: A citizen-based bird observation network in the biological sciences. *Biological conservation*, 142(10), 2282-2292.
- Telino-Júnior, W. R., Dias, M. M., Azevedo Júnior, S. M. D., Lyra-Neves, R. M. D., & de Larrazábal, M. E. (2005). Estrutura trófica da avifauna na Reserva Estadual de Gurjáu, zona da mata sul, Pernambuco, Brasil. *Revista Brasileira de Zoologia*, 22, 962-973.
- Wetzel, F. T., Bingham, H. C., Groom, Q., Haase, P., Köljalg, U., Kuhlmann, M., ... & Häuser, C. L. (2018). Unlocking biodiversity data: Prioritization and filling the gaps in biodiversity observation data in Europe. *Biological conservation*, 221, 78-85.
- White, E. R. (2018). Minimum time required to detect population trends: The need for long-term monitoring programs. *Bioscience*, 69, 40–46.
- Willis, E. O. (1979). The composition of avian communities in remanescent woodlots in southern Brazil. *Papéis avulsos de Zoologia*, 33(1-25 (1979-1980)), 1-25.

8. APÊNDICES

Apêndice 1. Lista de espécies de aves e número de indivíduos capturados em 10 parcelas permanentes do PPBio Semiárido na Estação Ecológica do Raso da Catarina entre os dias 22 de maio e 1 de junho de 2024.

| Táxon | Número de parcela permanente | | | | | | | | | |
|------------------------------------|------------------------------|----|----|----|----|----|----|----|----|----|
| | 1 | 2 | 3 | 4 | 5 | 6 | 7 | 8 | 9 | 10 |
| <i>Todirostrum cinereum</i> | | 2 | | | | | | 3 | | |
| <i>Hemitriccus</i> | 4 | 3 | 2 | 1 | 4 | 10 | 2 | 5 | 4 | 3 |
| <i>margaritaceiventer</i> | | | | | | | | | | |
| TYRANNIDAE | | | | | | | | | | |
| <i>Stigmatura sp.</i> | | | | | | | | | | |
| <i>Stigmatura bahiae</i> | | | | 1 | | | 1 | | | |
| <i>Euscarthmus meloryphus</i> | 2 | 2 | 2 | 1 | 2 | | | 2 | | |
| <i>Campstostoma obsoletum</i> | | | 2 | | | 1 | | 1 | 2 | |
| <i>Elaenia sp.</i> | 1 | 1 | 3 | 4 | 2 | 4 | 2 | 6 | 1 | 2 |
| <i>Elaenia flavogaster</i> | | | | | | 1 | | | | |
| <i>Elaenia chilensis</i> | 5 | 2 | 9 | | | 2 | 6 | 1 | 1 | 2 |
| <i>Elaenia parvirostris</i> | | | | | | | | 1 | | |
| <i>Elaenia cristata</i> | | | | | | 1 | | | 1 | |
| <i>Elaenia chiriquensis</i> | | | | | | | | 1 | | |
| <i>Phaeomyias murina</i> | 3 | 1 | 3 | 2 | 6 | 1 | 2 | 2 | 6 | |
| <i>Myiarchus sp.</i> | | | | 2 | | 1 | | 1 | | 2 |
| <i>Myiarchus tyrannulus</i> | | | | | | | | | | |
| <i>Casiornis fuscus</i> | | | | | | | | | 1 | |
| <i>Tyrannus melancholicus</i> | 1 | | | 1 | | 2 | | | | |
| VIREONIDAE | | | | | | | | | | |
| <i>Cyclarhis gujanensis</i> | 1 | 2 | 1 | 2 | 1 | | 4 | 1 | | 1 |
| <i>Vireo chivi</i> | | | | 1 | | | | | | |
| CORVIDAE | | | | | | | | | | |
| <i>Cyanocorax cyanopogon</i> | | | | | | | | 1 | 1 | |
| TROGLODYTIIDAE | | | | | | | | | | |
| <i>Troglodytes musculus</i> | | | | | | 1 | | | | 2 |
| <i>Cantorchilus longirostris</i> | 2 | 1 | | 3 | 1 | | 1 | 2 | 3 | 2 |
| POLIOPITILIDAE | | | | | | | | | | |
| <i>Polioptila plumbea</i> | 3 | | | 1 | 1 | 1 | | 1 | 2 | |
| TURDIDAE | | | | | | | | | | |
| <i>Turdus amaurochalinus</i> | | | | 1 | | 1 | | | | |
| MIMIDAE | | | | | | | | | | |
| <i>Mimus saturninus</i> | | 1 | | | 1 | | | 1 | | 1 |
| PASSERELLIDAE | | | | | | | | | | |
| <i>Zonotrichia capensis</i> | | | 4 | 1 | 1 | 2 | 3 | | | |
| ICTERIDAE | | | | | | | | | | |
| <i>Icterus pyrrhopterus</i> | 1 | | | | | | | | | |
| CARDINALIDAE | | | | | | | | | | |
| <i>Cyanoloxia brissonii</i> | 3 | | | | | 1 | 1 | | 6 | 1 |
| THRAUPIDAE | | | | | | | | | | |
| <i>Nemosia pileata</i> | | | | 2 | | | | 3 | | |
| <i>Coereba flaveola</i> | 4 | 2 | 4 | 6 | 10 | 6 | 6 | 3 | 5 | 4 |
| <i>Volatinia jacarina</i> | | | 2 | | | | | | | |
| <i>Coryphospingus pileatus</i> | 7 | 3 | 4 | 4 | 3 | 4 | 5 | 1 | 9 | 2 |
| <i>Tachyphonus rufus</i> | 2 | 5 | 2 | 3 | | 2 | 3 | 4 | 3 | 3 |
| <i>Schistochlamys ruficapillus</i> | | | 1 | | | 1 | 2 | 2 | | |
| <i>Paroaria dominicana</i> | | | | 2 | | | | 1 | | |
| <i>Thraupis sayaca</i> | | | | | | | | 1 | | |
| <i>Stilpnia cayana</i> | 2 | 2 | | 1 | | 5 | 5 | 1 | 2 | |
| Número total de individuos | 62 | 49 | 66 | 63 | 57 | 62 | 73 | 67 | 88 | 61 |

Apêndice 2. Lista dos 651 indivíduos de aves capturados nas redes de neblina nas 10 parcelas permanentes do PPBio Semiárido na Estação Ecológica do Raso da Catarina entre os dias 22 de maio e 1 de junho de 2024. Status: Ad, adulto; J, juvenil; Ind, indeterminado. Sexo: M, macho; F, femea; Ind, indeterminado. Muda: C, contorno; Rg, rêmige; Rx, retrix; S, sim; N, não. Tipo de coleta: E, espécime; P, pena; L, lâmina; S, sangue.

| Nº | Espécie | Status (sexo) | Peso (g) | Env (cm) | Placa (S/N) | Muda (C-Rg-Rx) | Data | Hora (AM) | Parcela (rede) | Tipo coleta | UFPE (T-) | Anilha | Fotografia |
|----|---------------------------------------|---------------|----------|----------|-------------|----------------|--------------|-----------|----------------|-------------|------------------|---------|-----------------------------|
| 1 | <i>Chrysolampis mosquitus</i> | J (M) | 1,5 | 13,1 | N | S-N-N | 22-Maio-2024 | 05:45 | 8 (7) | P | 9877 | A29251 | ML620136185 |
| 2 | <i>Anopetia gounellei</i> | Ad (Ind) | 2,5 | 11,4 | N | N-N-N | 22-Maio-2024 | 06:10 | 8 (9) | P | 9878 | A29261 | ML620136030 |
| 3 | <i>Elaenia parvirostris</i> CF | Ad (Ind) | 13 | 18,4 | N | N-N-N | 22-Maio-2024 | 06:10 | 8 (13) | PSL | 9879 (T-4197) | D178451 | ML620136275 |
| 4 | <i>Nemosia pileata</i> | Ad (F) | 13 | | | | 22-Maio-2024 | 06:10 | 8 (10) | EPLS | 9880 (T-4198) | | |
| 5 | <i>Nemosia pileata</i> | Ad (M) | 23 | | | | 22-Maio-2024 | 06:10 | 8 (10) | EPLS | 9881 (T-4199) | | |
| 6 | <i>Nesotriccus murinus</i> | Ind (Ind) | 8,5 | 12,6 | N | S-S-N | 22-Maio-2024 | 06:10 | 8 (8) | PLS | 9882 (T-4200) | C104801 | ML620136393 |
| 7 | <i>Euscarthmus meloryphus</i> | J (Ind) | 12 | 12,6 | N | N-N-N | 22-Maio-2024 | 06:10 | 8 (8) | PLS | 9883 (T-4201) | C104802 | ML620149350 |
| 8 | <i>Euscarthmus meloryphus</i> | Ind (Ind) | 9 | 16,1 | N | S-S -S | 22-Maio-2024 | 06:10 | 8 (12) | PLS | 9884 (T-4202) | C104804 | ML620149347 |
| 9 | <i>Formicivora melanogaster</i> | Ad (F) | 9 | 14,1 | N | S-S-N | 22-Maio-2024 | 06:10 | 8 (13) | PLS | 9885 (T-4203) | D178452 | ML620136785 |
| 10 | <i>Hemitriccus margaritaceiventer</i> | Ad (Ind) | 8 | 14,7 | N | S-N-N | 22-Maio-2024 | 06:10 | 8 (2) | PLS | 9886 (T-4204) | C104803 | ML620136953 |
| 11 | <i>Polioptila plumbea</i> | Ind (Ind) | 5 | 12,2 | N | S-N-N | 22-Maio-2024 | 06:10 | 8 (7) | PLS | 9887 (T-4205) | C104805 | ML620137148 |
| 12 | <i>Cantorchilus longirostris</i> | Ad (Ind) | 18 | 17 | N | N-N-S | 22-Maio-2024 | 06:10 | 8 (9) | PLS | 9888 (T-4206) | F88251 | ML620137277 |
| 13 | <i>Cyclarhis gujanensis</i> | J (Ind) | 24 | 23 | N | S-N-N | 22-Maio-2024 | 06:10 | 8 (5) | PLS | 9889 (T-4207) | G140100 | ML620137574 |
| 14 | <i>Elaenia sp.</i> | Ad (Ind) | 14 | 19,6 | N | N-N-N | 22-Maio-2024 | 06:10 | 8 (12) | LS | 9890 T-4208) | D178453 | ML620137850 |
| 15 | <i>Nemosia pileata</i> | | | | | | 22-Maio-2024 | 06:10 | 8 (11) | EPLS | 9891 (T-4209) | | |
| 16 | <i>Chrysolampis mosquitus</i> | Ad (F) | 3,5 | 11,5 | N | N-N-N | 22-Maio-2024 | 07:25 | 8 (9) | P | 9892 | A29271 | ML620138163 |
| 17 | <i>Taraba major</i> | | | | | | 22-Maio-2024 | 06:10 | 8 (8) | EPLS | 9893 (T-4210) | | |

| Nº | Espécie | Status (sexo) | Peso (g) | Env (cm) | Placa (S/N) | Muda (C-Rg-Rx) | Data | Hora (AM) | Parcela (rede) | Tipo coleta | UFPE (T-) | Anilha | Fotografia |
|----|---------------------------------------|---------------|----------|----------|-------------|----------------|--------------|-----------|----------------|-------------|---------------|---------|-----------------------------|
| 18 | <i>Myrmorchilus strigilatus</i> | Ad (M) | 20,5 | 21 | N | S-S-S | 22-Maio-2024 | 06:10 | 8 (7) | PLS | 9894 (T-4211) | E105300 | ML620138500 |
| 19 | <i>Lepidocolaptes angustirostris</i> | Ad (Ind) | 26,5 | 25,5 | N | N-N-N | 22-Maio-2024 | 06:10 | 8 (2) | PLS | 9895 (T-4212) | F88252 | ML620145866 |
| 20 | <i>Elaenia sp.</i> | Ad (Ind) | 12 | 20,3 | N | N-N-N | 22-Maio-2024 | 06:10 | 8 (12) | PLS | 9896 (T-4213) | D178454 | ML620146175 |
| 21 | <i>Thraupis sayaca</i> | Ad (Ind) | 27,5 | 23,6 | N | N-S-S | 22-Maio-2024 | 06:10 | 8 (4) | PLS | 9897 (T-4214) | F88253 | ML620146498 |
| 22 | <i>Heliomaster squamosus</i> | Ind (Ind) | 5 | 13 | N | N-N-N | 22-Maio-2024 | 08:50 | 8 (9) | P | 9898 | A29281 | ML620146641 |
| 23 | <i>Synallaxis hellmayri</i> | Ad (Ind) | 25 | 20,4 | N | S-N-N | 22-Maio-2024 | 06:10 | 8 (7) | PLS | 9899 (T-4215) | E105299 | ML620147313 |
| 24 | <i>Dryobates passerinus</i> | | | | | | 22-Maio-2024 | 06:10 | 8 (10) | EPLS | 9900 (T-4216) | | |
| 25 | <i>Tachyphonus rufus</i> | J (M) | 28 | 24,7 | N | S-S-N | 22-Maio-2024 | 06:10 | 8 (10) | PLS | 9901 (T-4217) | E194250 | ML620147796 |
| 26 | <i>Tachyphonus rufus</i> | Ad (F) | 25 | | N | S-S-N | 22-Maio-2024 | 06:10 | 8 (3) | PLS | 9902 (T-4218) | F88254 | ML620148317 |
| 27 | <i>Stilpnia cayana</i> | | | | | | 22-Maio-2024 | 06:10 | 8 | E | 9903 (T-4260) | | |
| 28 | <i>Myiarchus tyrannulus CF</i> | Ad (Ind) | 25 | 25,5 | N | N-N-N | 22-Maio-2024 | 06:10 | 8 (8) | PLS | 9904 (T-4219) | E194249 | ML620148411 |
| 29 | <i>Tachyphonus rufus</i> | J (F) | 26,5 | 25,6 | N | N-N-N | 22-Maio-2024 | 07:20 | 8 (9) | PLS | 9905 (T-4220) | F88255 | ML620148565 |
| 30 | <i>Todirostrum cinereum</i> | Ad (Ind) | 5,5 | 12,5 | N | N-N-N | 22-Maio-2024 | 07:20 | 8 (4) | PLS | 9906 (T-4221) | C104806 | ML620148670 |
| 31 | <i>Coryphospingus pileatus</i> | J (M) | 15 | 18,3 | N | S-N-N | 22-Maio-2024 | 07:20 | 8 (11) | PLS | 9907 (T-4222) | E194248 | ML620148930 |
| 32 | <i>Todirostrum cinereum</i> | Ad (Ind) | 4,5 | 12,7 | N | S-N-N | 22-Maio-2024 | 07:20 | 8 (2) | PLS | 9908 (T-4223) | C104807 | ML620149025 |
| 33 | <i>Hemitriccus margaritaceiventer</i> | Ad (Ind) | 7,5 | 16,3 | N | S-N-N | 22-Maio-2024 | 07:20 | 8 (7) | PLS | 9909 (T-4224) | C104808 | ML620149151 |
| 34 | <i>Coereba flaveola</i> | J (Ind) | 10 | 17,3 | N | S-N-N | 22-Maio-2024 | 07:20 | 8 (7) | PLS | 9910 (T-4225) | C104809 | ML620149504 |
| 35 | <i>Hemitriccus margaritaceiventer</i> | Ind (Ind) | 7 | 15,3 | N | S-N-N | 22-Maio-2024 | 07:20 | 8 (9) | P | 9911 | C104810 | ML620149688 |
| 36 | <i>Elaenia sp.</i> | Ad (Ind) | 15 | 20,5 | N | N-N-N | 22-Maio-2024 | 07:20 | 8 (13) | PLS | 9912 (T-4226) | D178455 | ML620150011 |
| 37 | <i>Elaenia sp.</i> | J (Ind) | 13,5 | 23,6 | N | N-N-N | 22-Maio-2024 | 07:20 | 8 (1) | PLS | 9913 (T-4227) | D178456 | ML620150179 |

| Nº | Espécie | Status (sexo) | Peso (g) | Env (cm) | Placa (S/N) | Muda (C-Rg-Rx) | Data | Hora (AM) | Parcela (rede) | Tipo coleta | UFPE (T-) | Anilha | Fotografia |
|----|---------------------------------------|---------------|----------|----------|-------------|----------------|--------------|-----------|----------------|-------------|---------------|---------|-----------------------------|
| 38 | <i>Synallaxis hellmayri</i> | Ind (Ind) | 25 | 23,3 | N | S-N-S | 22-Maio-2024 | 07:20 | 8 (12) | PLS | 9914 (T-4228) | F88256 | ML620150410 |
| 39 | <i>Formicivora melanogaster</i> | Ad (F) | 14 | 16,2 | S | N-N-N | 22-Maio-2024 | 07:20 | 8 (7) | PLS | 9915 (T-4229) | C104811 | ML620150534 |
| 40 | <i>Thamnophilus caerulescens</i> | J (M) | 29 | 22 | N | N-N-N | 22-Maio-2024 | 07:20 | 8 (7) | PLS | 9916 (T-4230) | F88257 | ML620150652 |
| 41 | <i>Elaenia sp.</i> | J (Ind) | 13 | 17,5 | N | N-N-N | 22-Maio-2024 | 07:20 | 8 (3) | PLS | 9917 (T-4231) | D178457 | ML620151265 |
| 42 | <i>Tachyphonus rufus</i> | Ad (M) | 28 | 13,5 | N | S-S-S | 22-Maio-2024 | 07:20 | 8 (7) | PLS | 9918 (T-4232) | F88258 | ML620151358 |
| 43 | <i>Camptostoma obsoletum</i> | | | | | | 22-Maio-2024 | 07:20 | 8 | EPLS | 9919 (T-4233) | | |
| 44 | <i>Cantorchilus longirostris</i> | Ad (Ind) | 16,5 | 17 | N | S-S-N | 22-Maio-2024 | 07:20 | 8 (3) | PLS | 9920 (T-4234) | E105298 | ML620151523 |
| 45 | <i>Elaenia chiriquensis</i> | Ad (Ind) | 16 | 19,5 | N | N-N-N | 22-Maio-2024 | 07:20 | 8 (8) | PLS | 9921 (T-4235) | D178458 | ML620152604 |
| 46 | <i>Schistochlamys ruficapillus</i> | Ad (Ind) | 25 | 18,5 | S | N-N-N | 22-Maio-2024 | 07:20 | 8 (13) | PLS | 9922 (T-4236) | F88259 | ML620152871 |
| 47 | <i>Elaenia albiceps</i> | Ad (Ind) | 13 | 18 | N | S-S-N | 22-Maio-2024 | 07:20 | 8 (11) | PLS | 9923 (T-4237) | D178459 | ML620153032 |
| 48 | <i>Synallaxis hellmayri</i> | Ad (Ind) | 24 | 18,3 | S | S-N-N | 22-Maio-2024 | 08:50 | 8 (13) | PLS | 9924 (T-4238) | F88260 | ML620153742 |
| 49 | <i>Todirostrum cinereum</i> | Ad (Ind) | 4,5 | 11,5 | N | S-S-N | 22-Maio-2024 | 08:50 | 8 (4) | PLS | 9925 (T-4239) | C104812 | ML620153835 |
| 50 | <i>Synallaxis hellmayri</i> | Ad (Ind) | 22,5 | 17 | N | S-S-S | 22-Maio-2024 | 08:50 | 8 (1) | PLS | 9926 (T-4240) | F88261 | ML620153947 |
| 51 | <i>Hemitriccus margaritaceiventer</i> | Ad (Ind) | 7 | 13 | N | S-S-N | 22-Maio-2024 | 08:50 | 8 (9) | PLS | 9927 (T-4241) | C104813 | ML620154118 |
| 52 | <i>Schistochlamys ruficapillus</i> | Ad (Ind) | 28 | | N | S-S-S | 22-Maio-2024 | 08:50 | 8 (3) | PLS | 9928 (T-4243) | F88262 | ML620154288 |
| 53 | <i>Elaenia sp.</i> | Ad (Ind) | 7,5 | 18 | N | S-N-N | 22-Maio-2024 | 08:50 | 8 (3) | PLS | 9929 (T-4244) | C104814 | ML620154481 |
| 54 | <i>Thamnophilus caerulescens</i> | Ad (F) | 24,5 | 20,5 | N | N-N-N | 22-Maio-2024 | 08:50 | 8 (3) | PLS | 9930 (T-4245) | F88263 | ML620154632 |
| 55 | <i>Coereba flaveola</i> | J | 8 | 13,4 | N | S-N-N | 22-Maio-2024 | 08:50 | 8 (9) | PLS | 9932 (T-4247) | C104815 | ML620155111 |
| 56 | <i>Nesotriccus murinus</i> | Ad (Ind) | 8 | 14,3 | N | N-N-N | 22-Maio-2024 | 08:50 | 8 (6) | PLS | 9933 (T-4248) | C104816 | ML620155225 |

| Nº | Especie | Status (sexo) | Peso (g) | Env (cm) | Placa (S/N) | Muda (C-Rg-Rx) | Data | Hora (AM) | Parcela (rede) | Tipo coleta | UFPE (T-) | Anilha | Fotografia |
|----|--|---------------|----------|----------|-------------|----------------|--------------|-----------|----------------|-------------|---------------|---------|-----------------------------|
| 57 | <i>Hemitriccus margaritaceiventer</i> | Ad (Ind) | 7 | 13,4 | N | S-N-N | 22-Maio-2024 | 08:50 | 8 | PLS | 9934 (T-4249) | C104817 | ML620155395 |
| 58 | <i>Coereba flaveola</i> | Ad (Ind) | 8 | 12,3 | S | N-N-N | 22-Maio-2024 | 08:50 | 8 (6) | PLS | 9935 (T-4250) | C104818 | ML620155542 |
| 59 | <i>Lepidocolaptes angustirostris</i> | | | | | | 22-Maio-2024 | 06:10 | 8 (13) | ELS | 9943 (T-4251) | | |
| 60 | <i>Dryobates passerinus</i> | | | | | | 22-Maio-2024 | 06:10 | 8 (13) | ELS | 9944 (T-4252) | | |
| 61 | <i>Paroaria dominicana</i> | | | | | | 22-Maio-2024 | 06:10 | 8 (3) | ELS | 9945 (T-4253) | | |
| 62 | <i>Formicivora melanogaster</i> | | | | | | 22-Maio-2024 | 06:10 | 8 (12) | E | 9946 (T-4254) | | |
| 63 | <i>Nystalus maculatus</i> | | | | | | 22-Maio-2024 | 06:10 | 8 (4) | ELS | 9947 (T-4255) | | |
| 64 | <i>Campylorhamphus trochilirostris</i> | | | | | | 22-Maio-2024 | 06:10 | 8 (11) | ELS | 9948 (T-4256) | | |
| 65 | <i>Mimus saturninus</i> | | | | | | 22-Maio-2024 | 06:10 | 8 (4) | ELS | 9949 (T-4257) | | |
| 66 | <i>Campylorhamphus trochilirostris</i> | | | | | | 22-Maio-2024 | 06:10 | 8 (11) | ELS | 9950 (T-4258) | | |
| 67 | <i>Picumnus pygmaeus</i> | | | | | | 22-Maio-2024 | 06:10 | 8 (5) | ELS | 9951 (T-4259) | | |
| 68 | <i>Nesotriccus murinus CF</i> | J (Ind) | 9,5 | 16,4 | N | N-N-N | 23-Maio-2024 | 05:50 | 3 (2) | S | 9936 (T-4261) | D178460 | ML620158165 |
| 69 | <i>Elaenia sp.</i> | Ad (Ind) | 10 | 19 | S | N-N-N | 23-Maio-2024 | 05:50 | 3 (9) | S | 9937 (T-4262) | D178461 | ML620158391 |
| 70 | <i>Euscarthmus meloryphus</i> | Ind (Ind) | 12 | 15,9 | N | N-N-N | 23-Maio-2024 | 05:50 | 3 (7) | S | 9938 (T-4263) | C104819 | ML620158638 |
| 71 | <i>Elaenia sp.</i> | Ind (Ind) | 12 | 15,9 | N | S-N-N | 23-Maio-2024 | 05:50 | 3 (2) | S | 9939 (T-4264) | D178462 | ML620158834 |
| 72 | <i>Elaenia albiceps CF</i> | Ad (Ind) | 12 | 20,8 | N | N-N-N | 23-Maio-2024 | 05:50 | 3 (8) | S | 9940 (T-4265) | E194247 | ML620158899 |
| 73 | <i>Chrysolampis mosquitus</i> | Ad (F) | 4,5 | 11,6 | S | N-N-N | 23-Maio-2024 | 06:20 | 3 (3) | P | 9941 | A29291 | ML620167956 |
| 74 | <i>Chrysolampis mosquitus</i> | J (M) | 19,5 | 12,6 | N | S-N-N | 23-Maio-2024 | 06:20 | 3 (9) | P | 9942 | A29245 | ML620168016 |
| 75 | <i>Chrysolampis mosquitus CF</i> | J (M) | 3,5 | 12,6 | N | S-N-N | 23-Maio-2024 | 06:20 | 3 (10) | P | 9952 | A29252 | ML620168112 |
| 76 | <i>Chlorostilbon lucidus</i> | Ad (Ind) | 31 | 11,5 | N | N-N-N | 23-Maio-2024 | 06:20 | 3 (10) | P | 9953 | A29262 | ML620168182 |

| Nº | Espécie | Status (sexo) | Peso (g) | Env (cm) | Placa (S/N) | Muda (C-Rg-Rx) | Data | Hora (AM) | Parcela (rede) | Tipo coleta | UFPE (T-) | Anilha | Fotografia |
|----|---------------------------------------|---------------|----------|----------|-------------|----------------|--------------|-----------|----------------|-------------|------------------|---------|-----------------------------|
| 77 | <i>Chrysolampis mosquitus</i> | Ad (M) | 19 | 13 | N | N-N-N | 23-Maio-2024 | 06:20 | 3 (10) | P | 9954 | A29250 | ML620168503 |
| 78 | <i>Chrysolampis mosquitus</i> | Ad (F) | 28 | 12,1 | N | N-N-N | 23-Maio-2024 | 06:20 | 3 | P | 9955 | A29272 | ML620168610 |
| 79 | <i>Anopetia gounellei</i> | Ad (Ind) | 4 | 11,5 | N | N-N-N | 23-Maio-2024 | 06:20 | 3 | P | 9956 | A29282 | ML620168885 |
| 80 | <i>Coereba flaveola</i> | Ad (Ind) | 11,5 | 13,4 | N | S-S-S | 23-Maio-2024 | 06:20 | 3 (10) | PLS | 9957 (T-4266) | C104820 | ML620168963 |
| 81 | <i>Coryphospingus pileatus</i> | Ad (M) | 15 | 17,3 | N | S-N-N | 23-Maio-2024 | 06:20 | 3 (13) | PLS | 9958 (T-4267) | E194246 | ML620169034 |
| 82 | <i>Elaenia albiceps</i> | Ad (Ind) | 13 | 20 | N | N-N-N | 23-Maio-2024 | 06:20 | 3 (13) | PLS | 9959 (T-4268) | D178463 | ML620169094 |
| 83 | <i>Formicivora melanogaster</i> | Ad (M) | 8 | 12,9 | N | S-S-S | 23-Maio-2024 | 06:20 | 3 (4) | PLS | 9960 (T-4269) | D178464 | ML620169456 |
| 84 | <i>Volatinia jacarina</i> | Ad (F) | 9 | 13,2 | N | N-N-N | 23-Maio-2024 | 06:20 | 3 (1) | PLS | 9961 (T-4270) | C104821 | ML620169617 |
| 85 | <i>Elaenia albiceps</i> | Ad (Ind) | 13 | 18,9 | N | S-N-N | 23-Maio-2024 | 06:20 | 3 (4) | PLS | 9962 (T-4271) | D178465 | ML620169931 |
| 86 | <i>Euscarthmus meloryphus</i> | Ad (Ind) | 7 | 11,4 | S | N-N-N | 23-Maio-2024 | 06:20 | 3 (6) | PLS | 9963 (T-4272) | C104822 | ML620170066 |
| 87 | <i>Camptostoma obsoletum</i> | Ad (Ind) | 7 | | N | S-S-N | 23-Maio-2024 | 06:20 | 3 (3) | PLS | 9964 (T-4273) | C104823 | ML620170235 |
| 88 | <i>Nesotriccus murinus</i> | Ad (Ind) | 8 | 13,4 | N | S-N-N | 23-Maio-2024 | 06:20 | 3 (1) | PLS | 9965 (T-4274) | C104824 | ML620170371 |
| 89 | <i>Hemitriccus margaritaceiventer</i> | Ad (Ind) | 8 | 12,6 | N | S-N-N | 23-Maio-2024 | 06:20 | 3 (5) | PLS | 9966 (T-4275) | C104825 | ML620170514 |
| 90 | <i>Camptostoma obsoletum</i> | | | | | | 23-Maio-2024 | 05:50 | 3 (3) | | | | ML620170664 |
| 91 | <i>Synallaxis hellmayri</i> | Ad (Ind) | 24,5 | 18,3 | N | S-N-N | 23-Maio-2024 | 06:20 | 3 (4) | PLS | 9967 (T-4276) | F88264 | ML620170786 |
| 92 | <i>Chrysolampis mosquitus</i> | J (M) | 4 | | N | N-N-N | 23-Maio-2024 | 07:30 | 3 (7) | P | 9968 | A29255 | ML620171802 |
| 93 | <i>Volatinia jacarina</i> | Ad (M) | 25 | | N | | 23-Maio-2024 | | 3 (1) | E | 9969 (T-4278) | | |
| 94 | <i>Zonotrichia capensis</i> | Ad (Ind) | 9 | 18,7 | S | N-N-N | 23-Maio-2024 | 06:20 | 3 (12) | PLS | 9970 (T-4279) | E194245 | ML620171928 |
| 95 | <i>Schistochlamys ruficapillus</i> | Ad (Ind) | 29 | 21,3 | N | S-S-S | 23-Maio-2024 | 06:20 | 3 (9) | PLS | 9971 (T-4280) | F88265 | ML620172026 |
| 96 | <i>Elaenia albiceps</i> | Ad (Ind) | 13,5 | 20,2 | N | S-N-N | 23-Maio-2024 | 06:20 | 3 (3) | PLS | 9972 (T-4281) | D178466 | ML620172201 |

| Nº | Espécie | Status (sexo) | Peso (g) | Env (cm) | Placa (S/N) | Muda (C-Rg-Rx) | Data | Hora (AM) | Parcela (rede) | Tipo coleta | UFPE (T-) | Anilha | Fotografia |
|-----|--|---------------|----------|----------|-------------|----------------|--------------|-----------|----------------|-------------|------------------|---------|-----------------------------|
| 97 | <i>Turdus amaurochalinus</i> | Ad (Ind) | 56 | 31,5 | N | S-S-S | 23-Maio-2024 | 06:20 | 3 (2) | PLS | 9973 (T-4282) | G140099 | ML620172377 |
| 98 | <i>Anopetia gounellei</i> | Ad (Ind) | 4 | | N | S-N-N | 23-Maio-2024 | 08:50 | 3 (3) | P | 9974 | A29292 | ML620172474 |
| 99 | <i>Tyrannus melancholicus</i> | | | | | | 23-Maio-2024 | 06:20 | 3 (5) | ESL | 9975 (T-4283) | | |
| 100 | <i>Synallaxis hellmayri</i> | Ad (Ind) | 24 | 21 | N | S-S-N | 23-Maio-2024 | 06:20 | 3 (11) | SLP | 9976 (T-4284) | F88266 | ML620174580 |
| 101 | <i>Zonotrichia capensis</i> | Ad (Ind) | 17 | 18 | S | N-N-N | 23-Maio-2024 | 06:20 | 3 | SL | 9977 (T-4285) | E194244 | ML620174695 |
| 102 | <i>Nesotriccus murinus</i> | Ad (Ind) | 8 | 15 | N | S-S-S | 23-Maio-2024 | 06:20 | 3 | SLP | 9978 (T-4286) | C104826 | ML620174907 |
| 103 | <i>Campylorhamphus trochilirostris</i> | Ad (Ind) | 32 | 26 | N | S-S-S | 23-Maio-2024 | 06:20 | 3 (3) | SLP | 9979 (T-4287) | G140098 | ML620175548 |
| 104 | <i>Elaenia albiceps CF</i> | J (Ind) | 13 | 19,1 | N | S-N-N | 23-Maio-2024 | 06:20 | 3 (1) | SLP | 9980 (T-4288) | D178467 | ML620183824 |
| 105 | <i>Elaenia albiceps CF</i> | Ad (Ind) | 14 | 20,2 | N | N-N-N | 23-Maio-2024 | 06:20 | 3 (3) | SLP | 9981 (T-4289) | D178468 | ML620184140 |
| 106 | <i>Tachyphonus rufus</i> | Ad (F) | 29 | 22 | N | S-S-S | 23-Maio-2024 | 07:30 | 3 (11) | SLP | 9982 (T-4290) | F88267 | ML620184491 |
| 107 | <i>Coereba flaveola</i> | J (Ind) | 14 | 15,4 | N | S-N-N | 23-Maio-2024 | 07:30 | 3 (6) | SLP | 9983 (T-4291) | C104827 | ML620184820 |
| 108 | <i>Sakesphoroides niedeguidonae</i> | J (M) | 16 | 18 | S | S-N-S | 23-Maio-2024 | 07:30 | 3 (8) | SLP | 9984 (T-4292) | E194243 | ML620185015 |
| 109 | <i>Formicivora melanogaster</i> | Ad (M) | 10 | 15,1 | N | N-N-N | 23-Maio-2024 | 07:30 | 3 (7) | SLP | 9985 (T-4293) | C104828 | ML620185255 |
| 110 | <i>Coereba flaveola</i> | Ad (Ind) | 10 | 16,8 | N | S-N-N | 23-Maio-2024 | 07:30 | 3 (7) | SLP | 9986 (T-4294) | C104829 | ML620185441 |
| 111 | <i>Myiarchus tyrannulus</i> | Ad (Ind) | 25 | 25,1 | N | S-N-N | 23-Maio-2024 | 07:30 | 3 | SLP | 9987 (T-4295) | E194242 | ML620185681 |
| 112 | <i>Sakesphoroides niedeguidonae</i> | Ad (F) | 18 | 17,9 | S | N-N-N | 23-Maio-2024 | 07:30 | 3 (8) | SLP | 9988 (T-4296) | E194241 | ML620185822 |
| 113 | <i>Tachyphonus rufus</i> | | | | | | 23-Maio-2024 | | 3 (4) | | | | |
| 114 | <i>Anopetia gounellei</i> | | | | | | 23-Maio-2024 | | 3 (6) | | | | |
| 115 | <i>Elaenia albiceps CF</i> | Ad (Ind) | 14 | 18,3 | N | N-N-N | 23-Maio-2024 | 07:30 | 3 (12) | PLS | 9989 (T-4297) | D178469 | ML620212326 |
| 116 | <i>Elaenia albiceps CF</i> | J (Ind) | 12,5 | 18,1 | N | N-N-N | 23-Maio-2024 | 07:30 | 3 | PLS | 9990 (T-4298) | D178470 | ML620212781 |

| Nº | Especie | Status (sexo) | Peso (g) | Env (cm) | Placa (S/N) | Muda (C-Rg-Rx) | Data | Hora (AM) | Parcela (rede) | Tipo coleta | UFPE (T-) | Anilha | Fotografia |
|-----|--|---------------|----------|----------|-------------|----------------|--------------|-----------|----------------|-------------|----------------|---------|-----------------------------|
| 117 | <i>Elaenia sp.</i> | Ind (Ind) | 13 | 17,1 | N | N-N-N | 23-Maio-2024 | 07:30 | 3 (11) | PLS | 9991 (T-4299) | D178471 | ML620213470 |
| 118 | <i>Zonotrichia capensis</i> | Ad (Ind) | 19 | 17,2 | N | N-N-N | 23-Maio-2024 | 07:30 | 3 (13) | PLS | 9992 (T-4300) | E194240 | ML620213598 |
| 119 | <i>Coryphospingus pileatus</i> | Ad (M) | 13 | 14,9 | N | S-N-N | 23-Maio-2024 | 07:30 | 3 (11) | PLS | 9993 (T-4301) | E194239 | ML620213817 |
| 120 | <i>Elaenia albiceps CF</i> | Ad (Ind) | 15 | 20,4 | N | N-N-N | 23-Maio-2024 | 07:30 | 3 (12) | PLS | 9994 (T-4302) | D178472 | ML620213938 |
| 121 | <i>Formicivora melanogaster</i> | J (M) | 9 | 15 | N | S-N-N | 23-Maio-2024 | 07:30 | 3 (9) | PLS | 9995 (T-4303) | C104830 | ML620214321 |
| 122 | <i>Myiarchus tyrannulus</i> | Ad (Ind) | 26 | 25,5 | N | S-S-N | 23-Maio-2024 | 07:30 | 3 (1) | PLS | 9996 (T-4304) | E194238 | ML620215189 |
| 123 | <i>Hemitriccus margaritaceiventer</i> | Ad (Ind) | 7 | 15,9 | N | S-N-N | 23-Maio-2024 | 07:30 | 3 (8) | PS | 9997 (T-4305) | C104831 | ML620216033 |
| 124 | <i>Zonotrichia capensis</i> | J (Ind) | 17 | 18,4 | N | S-N-N | 23-Maio-2024 | 07:30 | 3 (10) | PLS | 9998 (T-4306) | E194237 | ML620216234 |
| 125 | <i>Coryphospingus pileatus</i> | Ind (M) | 14 | 17,4 | N | N-N-N | 23-Maio-2024 | 07:30 | 3 (11) | PS | 9999 (T-4307) | E194236 | ML620216312 |
| 126 | <i>Cyclarhis gujanensis</i> | Ad (Ind) | 26 | 21,4 | N | S-S-N | 23-Maio-2024 | 08:50 | 3 (1) | PLS | 10000 (T-4308) | F88268 | ML620216412 |
| 127 | <i>Coccyzus sp.</i> | | | | | | 23-Maio-2024 | 06:30 | 3 (4) | EPL | 10001 (T-4309) | | |
| 128 | <i>Campylorhamphus trochilirostris</i> | Ad (Ind) | 31 | 24,7 | N | S-N-N | 23-Maio-2024 | 08:50 | 3 (2) | PLS | 10002 (T-4310) | G140097 | ML620216668 |
| 129 | <i>Stigmatura sp.</i> | | 36 | | | | 23-Maio-2024 | 08:50 | 3 (11) | ESL | 10003 (T-4311) | | |
| 130 | <i>Coryphospingus pileatus</i> | Ind (Ind) | 14 | 18,6 | N | N-N-N | 23-Maio-2024 | 09:30 | 3 (12) | PLS | 10004 (T-4312) | E194235 | ML620216811 |
| 131 | <i>Synallaxis hellmayri</i> | Ad (Ind) | 24 | 20 | N | S-N-S | 23-Maio-2024 | 09:30 | 3 (13) | PLS | 10005 (T-4313) | F88269 | ML620216914 |
| 132 | <i>Coereba flaveola</i> | J (Ind) | 10 | 15 | N | N-N-N | 23-Maio-2024 | 09:30 | 3 (3) | PLS | 10006 (T-4314) | C104832 | ML620216970 |
| 133 | <i>Dryobates passerinus</i> | Ad (F) | 24 | 20,2 | N | N-N-N | 23-Maio-2024 | 09:30 | 3 (2) | PLS | 10007 (T-4315) | F88270 | ML620217003 |
| 134 | <i>Hemitriccus margaritaceiventer</i> | | | | | | 24-Maio-2024 | 06:10 | 9 (8) | E | 10008 (T-4316) | | |
| 135 | <i>Chrysolampis mosquitos</i> | J (M) | 4 | 12,9 | N | S-N-N | 24-Maio-2024 | 06:10 | 9 (12) | P | 10009 | A29253 | ML620218257 |
| 136 | <i>Anopetia gounellei</i> | Ad (Ind) | 3 | 10,9 | N | S-N-N | 24-Maio-2024 | 06:10 | 9 (5) | P | 10010 | A29263 | ML620225468 |

| Nº | Espécie | Status (sexo) | Peso (g) | Env (cm) | Placa (S/N) | Muda (C-Rg-Rx) | Data | Hora (AM) | Parcela (rede) | Tipo coleta | UFPE (T-) | Anilha | Fotografia |
|-----|-------------------------------------|---------------|----------|----------|-------------|----------------|--------------|-----------|----------------|-------------|-------------------|---------|-----------------------------|
| 137 | <i>Chrysolampis mosquitus</i> | Ad (M) | 4 | 13,1 | N | N-N-N | 24-Maio-2024 | 06:10 | 9 (12) | P | 10011 | A29273 | ML620226237 |
| 138 | <i>Chrysolampis mosquitus</i> | Ad (F) | 4 | 12 | N | S-N-S | 24-Maio-2024 | 06:10 | 9 (10) | P | 10012 | A29283 | ML620226291 |
| 139 | <i>Coereba flaveola</i> | J (Ind) | 8 | 14,8 | N | N-N-N | 24-Maio-2024 | 06:10 | 9 (9) | PLS | 10013 (T-4317) | C104833 | ML620226397 |
| 140 | <i>Campstostoma obsoletum</i> | J (Ind) | 10 | 17 | N | S-N-N | 24-Maio-2024 | 06:10 | 9 (4) | PLS | 10014 (T-4318) | C104834 | ML620226602 |
| 141 | <i>Polioptila plumbea</i> | Ad (F) | 5 | 13 | N | S-N-N | 24-Maio-2024 | 06:10 | 9 (1) | PLS | 10015 (T-4319) | C104835 | ML620226602 |
| 142 | <i>Nesotriccus murinus</i> | Ad (Ind) | 9 | 17,2 | N | S-N-N | 24-Maio-2024 | 06:10 | 9 (4) | PLS | 10016 (T-4320) | C104836 | ML620226937 |
| 143 | <i>Nesotriccus murinus</i> | Ad (Ind) | 9 | 16,9 | N | S-S-S | 24-Maio-2024 | 06:10 | 9 (4) | PLS | 10017 (T-4321) | C104837 | ML620227257 |
| 144 | <i>Formicivora melanogaster</i> | J (F) | 8 | 14,5 | N | S-N-N | 24-Maio-2024 | 06:10 | 9 (2) | PLS | 10018 (T-4322) | C104838 | ML620227629 |
| 145 | <i>Sakesphoroides niedeguidonae</i> | J (F) | 18 | 18,7 | N | S-N-N | 24-Maio-2024 | 06:10 | 9 (3) | PLS | 10019 (T-4323) | E105297 | ML620227895 |
| 146 | <i>Chrysolampis mosquitus</i> | Ad (M) | 4 | 13,2 | N | N-S-N | 24-Maio-2024 | 07:30 | 9 (3) | P | 10020 | A29293 | ML620228141 |
| 147 | <i>Chrysolampis mosquitus</i> | Ad (F) | 2,5 | 13 | N | N-N-N | 24-Maio-2024 | 07:30 | 9 (13) | P | 10021 | A29254 | ML620230025 |
| 148 | <i>Chrysolampis mosquitus</i> | J (M) | 3 | 12,8 | N | S-N-N | 24-Maio-2024 | 07:30 | 9 (13) | P | 10022 | A29264 | ML620230026 |
| 149 | <i>Chrysolampis mosquitus</i> | J (M) | 3,5 | 12,1 | N | S-S-N | 24-Maio-2024 | 07:30 | 9 (5) | P | 10023 | A29274 | ML620230027 |
| 150 | <i>Chlorostilbon lucidus CF</i> | Ind (Ind) | 2,5 | 11,2 | N | S-N-N | 24-Maio-2024 | 07:30 | 9 (3) | P | 10024 | A29284 | ML620230745 |
| 151 | <i>Chrysolampis mosquitus</i> | Ad (F) | 3 | 12 | N | S-N-N | 24-Maio-2024 | 07:30 | 9 (4) | P | 10025 | A29294 | ML620231301 |
| 152 | <i>Chrysolampis mosquitus</i> | J (M) | 5 | 12,7 | N | N-N-N | 24-Maio-2024 | 07:30 | 9 (4) | P | 10026 | A29265 | ML620231436 |
| 153 | <i>Chrysolampis mosquitus</i> | Ad (F) | 4 | 11,9 | N | S-S-N | 24-Maio-2024 | 07:30 | 9 (9) | P | 10027 | A29275 | ML620231655 |
| 154 | <i>Chrysolampis mosquitus</i> | Ad (F) | 4 | 12,6 | N | S-S-N | 24-Maio-2024 | 07:30 | 9 (6) | P | 10028 | A29285 | ML620231712 |
| 155 | <i>Anopetia gounellei</i> | J (Ind) | 3 | 11,9 | N | S-N-N | 24-Maio-2024 | 07:30 | 9 (11) | P | 10029 | A29295 | ML620231912 |
| 156 | <i>Chlorostilbon lucidus CF</i> | J (M) | 4 | 11 | N | S-N-N | 24-Maio-2024 | 07:30 | 9 (13) | P | 10030 | A29246 | ML620232097 |

| Nº | Espécie | Status (sexo) | Peso (g) | Env (cm) | Placa (S/N) | Muda (C-Rg-Rx) | Data | Hora (AM) | Parcela (rede) | Tipo coleta | UFPE (T-) | Anilha | Fotografia |
|-----|-------------------------------------|---------------|----------|----------|-------------|----------------|--------------|-----------|----------------|-------------|----------------|---------|-----------------------------|
| 157 | <i>Nesotriccus murinus</i> | J (Ind) | 8,5 | 16,5 | N | N-N-N | 24-Maio-2024 | 06:10 | 9 (5) | PLS | 10031 (T-4324) | C104839 | ML620232250 |
| 158 | <i>Coryphospingus pileatus</i> | J (F) | 11,5 | 17,6 | N | N-N-N | 24-Maio-2024 | 06:10 | 9 (10) | PLS | 10032 (T-4325) | E105273 | ML620232618 |
| 159 | <i>Coryphospingus pileatus</i> | J (F) | 12 | 18,6 | N | N-N-N | 24-Maio-2024 | 06:10 | 9 (5) | PLS | 10033 (T-4326) | E105274 | ML620232846 |
| 160 | <i>Formicivora melanogaster</i> | Ad (M) | 8 | 16,2 | N | N -N-S | 24-Maio-2024 | 06:10 | 9 (13) | PLS | 10034 (T-4327) | C104840 | ML620233352 |
| 161 | <i>Casiornis fuscus CF</i> | J (Ind) | 16 | 22,1 | N | S-S-N | 24-Maio-2024 | 06:10 | 9 (13) | PLS | 10035 (T-4328) | E105275 | ML620233642 |
| 162 | <i>Synallaxis hellmayri</i> | Ad (Ind) | 24,5 | 20,3 | N | S-N-S | 24-Maio-2024 | 06:10 | 9 (3) | PLS | 10036 (T-4329) | F88271 | ML620233896 |
| 163 | <i>Polioptila plumbea</i> | Ad (M) | 5,5 | 15,1 | N | S-N-N | 24-Maio-2024 | 06:10 | 9 (1) | PLS | 10037 (T-4330) | C104841 | ML620234148 |
| 164 | <i>Sakesphoroides niedeguidonae</i> | J (F) | 20 | 18,6 | N | N-N-N | 24-Maio-2024 | 06:10 | 9 (9) | PLS | 10038 (T-4331) | E105276 | ML620234531 |
| 165 | <i>Sakesphoroides niedeguidonae</i> | J (F) | 14 | 13,6 | N | S-N-N | 24-Maio-2024 | 06:10 | 9 (1) | PLS | 10039 (T-4332) | E105277 | ML620234770 |
| 166 | <i>Coryphospingus pileatus</i> | J (F) | 13 | 18,2 | N | N-N-N | 24-Maio-2024 | 06:10 | 9 (10) | PLS | 10040 (T-4333) | E105278 | ML620235057 |
| 167 | <i>Coryphospingus pileatus</i> | J (F) | 15 | 18,1 | N | N-N-N | 24-Maio-2024 | 06:10 | 9 (10) | PLS | 10041 (T-4334) | E105279 | ML620235267 |
| 168 | <i>Cantorchilus longirostris</i> | Ad (Ind) | 15 | 17,8 | N | N-N-N | 24-Maio-2024 | 06:10 | 9 (7) | PLS | 10042 (T-4335) | F88272 | ML620235436 |
| 169 | <i>Sakesphoroides niedeguidonae</i> | J (F) | 14,5 | 18,4 | N | S-N-N | 24-Maio-2024 | 06:10 | 9 (9) | PS | 10043 (T-4336) | E105280 | ML620236783 |
| 170 | <i>Cantorchilus longirostris</i> | J (Ind) | 15 | 19,6 | N | N-N-N | 24-Maio-2024 | 06:10 | 9 (11) | PS | 10044 (T-4337) | F88273 | ML620236947 |
| 171 | <i>Sakesphoroides niedeguidonae</i> | J (M) | 15,5 | 18,5 | N | S-S-S | 24-Maio-2024 | 06:10 | 9 (10) | PLS | 10045 (T-4338) | E105281 | ML620237778 |
| 172 | <i>Synallaxis hellmayri</i> | Ad (Ind) | 23 | | N | S-N-N | 24-Maio-2024 | 06:10 | 9 (10) | | | F88274 | |
| 173 | <i>Myrmorchilus strigilatus</i> | J (F) | | | | | 24-Maio-2024 | 06:10 | 9 (1) | ELS | 10047 (T-4340) | | |
| 174 | <i>Elaenia sp.</i> | J (Ind) | 18,5 | 22,2 | N | S-N-N | 24-Maio-2024 | 06:10 | 9 (5) | PLS | 10046 (T-4339) | E105282 | ML620238859 |
| 175 | <i>Coryphospingus pileatus</i> | Ad (F) | 14,5 | 20 | N | S-N-N | 24-Maio-2024 | 06:10 | 9 (13) | PLS | 10048 (T-4341) | E105283 | ML620239383 |
| 176 | <i>Cantorchilus longirostris</i> | Ad (Ind) | 18 | 20,5 | N | N-S-N | 24-Maio-2024 | 06:10 | 9 (5) | PLS | 10049 (T-4342) | F88275 | ML620239817 |

| Nº | Espécie | Status (sexo) | Peso (g) | Env (cm) | Placa (S/N) | Muda (C-Rg-Rx) | Data | Hora (AM) | Parcela (rede) | Tipo coleta | UFPE (T-) | Anilha | Fotografia |
|-----|---------------------------------------|---------------|----------|----------|-------------|----------------|--------------|-----------|----------------|-------------|----------------|---------|-----------------------------|
| 177 | <i>Cyanoloxia brissonii</i> | J (F) | 27 | 23,5 | N | S-N-N | 24-Maio-2024 | 06:10 | 9 (9) | PLS | 10050 (T-4343) | G140096 | ML620240143 |
| 178 | <i>Myiarchus sp.</i> | Ad (Ind) | 22,5 | 25,7 | N | S-N-N | 24-Maio-2024 | 06:10 | 9 (4) | PLS | 10051 (T-4344) | F88276 | ML620240826 |
| 179 | <i>Chrysolampis mosquitus</i> | Ad (M) | 2,5 | 13 | N | S-N-N | 24-Maio-2024 | 08:50 | 9 (4) | P | 10052 | A29256 | ML620240240 |
| 180 | <i>Cyanoloxia brissonii</i> | J (M) | 22,5 | 22,4 | N | S-N-N | 24-Maio-2024 | 06:10 | 9 (4) | PLS | 10053 (T-4345) | F88278 | ML620241365 |
| 181 | <i>Myiarchus sp.</i> | Ad (Ind) | 24 | 27 | N | S-N-N | 24-Maio-2024 | 06:10 | 9 (13) | PLS | 10054 (T-4346) | F88278 | ML620241613 |
| 182 | <i>Nystalus maculatus</i> | | | | | | 24-Maio-2024 | 06:10 | 9 (13) | ELS | 10055 (T-4347) | | |
| 183 | <i>Tachyphonus rufus</i> | Ad (F) | 31,5 | 24,7 | N | S-N-N | 24-Maio-2024 | 06:10 | 9 (11) | PLS | 10056 (T-4348) | F88279 | ML620413542 |
| 184 | <i>Tachyphonus rufus</i> | Ad (F) | 25,5 | 25 | N | S-S-S | 24-Maio-2024 | 06:10 | 9 (12) | PLS | 10057 (T-4349) | F88280 | ML620415281 |
| 185 | <i>Cyanocorax cyanopogon</i> | | | | | | 24-Maio-2024 | 06:10 | 9 (6) | ELS | 10058 (T-4350) | | |
| 186 | <i>Nesotriccus murinus CF</i> | Ind (Ind) | 8,5 | 16,7 | N | S-N-N | 24-Maio-2024 | 07:30 | 9 (1) | PLS | 10059 (T-4351) | C104842 | |
| 187 | <i>Coereba flaveola</i> | J (Ind) | 9 | 17,2 | N | S-N-S | 24-Maio-2024 | 07:30 | 9 (9) | PLS | 10060 (T-4352) | C104843 | ML620415400 |
| 188 | <i>Nystalus maculatus</i> | Ad (Ind) | | 25,5 | N | N-N-N | 24-Maio-2024 | 07:30 | 9 (12) | P | 10061 | J62588 | |
| 189 | <i>Camptostoma obsoletum CF</i> | J (Ind) | 10 | 18,1 | N | S-S-S | 24-Maio-2024 | 07:30 | 9 (4) | PLS | 10062 (T-4354) | C104844 | ML620415635 |
| 190 | <i>Nesotriccus murinus CF</i> | J (Ind) | 20 | 15,8 | N | S-S-N | 24-Maio-2024 | 07:30 | 9 (1) | PLS | 10063 (T-4355) | C104845 | ML620628795 |
| 191 | <i>Stilpnia cayana</i> | J (M) | 17 | 20,3 | N | S-N-N | 24-Maio-2024 | 07:30 | 9 (12) | PLS | 10064 (T-4356) | E105284 | ML620629327 |
| 192 | <i>Synallaxis hellmayri</i> | J (Ind) | 20,5 | 20,9 | N | S-N-N | 24-Maio-2024 | 07:30 | 9 (12) | PLS | 10065 (T-4357) | F88281 | ML620629732 |
| 193 | <i>Formicivora melanogaster</i> | J (M) | 8 | 14,9 | N | S-N-S | 24-Maio-2024 | 07:30 | 9 (2) | PLS | 10066 (T-4358) | C104846 | ML620629879 |
| 194 | <i>Hemitriccus margaritaceiventer</i> | Ad (Ind) | 6,5 | 14,8 | N | S-N-N | 24-Maio-2024 | 08:50 | 9 (5) | PS | 10067 (T-4359) | C104847 | ML620629991 |
| 195 | <i>Hemitriccus margaritaceiventer</i> | Ad (Ind) | 8 | 16,2 | N | S-N-N | 24-Maio-2024 | 08:50 | 9 (2) | P | 10068 | C104848 | ML620630046 |
| 196 | <i>Coereba flaveola</i> | J (Ind) | 10 | 16 | N | S-N-N | 24-Maio-2024 | 08:50 | 9 (5) | PLS | 10069 (T-4361) | C104849 | ML620630201 |

| Nº | Espécie | Status (sexo) | Peso (g) | Env (cm) | Placa (S/N) | Muda (C-Rg-Rx) | Data | Hora (AM) | Parcela (rede) | Tipo coleta | UFPE (T-) | Anilha | Fotografia |
|-----|---------------------------------------|---------------|----------|----------|-------------|----------------|--------------|-----------|----------------|-------------|----------------|---------|-----------------------------|
| 197 | <i>Nesotriccus murinus CF</i> | J (Ind) | 8,5 | 15 | N | N-N-N | 24-Maio-2024 | 08:50 | 9 (13) | PLS | 10070 (T-4362) | C104850 | ML620630263 |
| 198 | <i>Coryphospingus pileatus</i> | Ad (M) | 15,5 | 18,2 | N | S-N-N | 24-Maio-2024 | 08:50 | 9 (7) | PS | 10071 (T-4363) | E105285 | ML620630320 |
| 199 | <i>Coereba flaveola</i> | J (Ind) | 8 | 15,1 | N | S-N-N | 24-Maio-2024 | 08:50 | 9 (3) | PLS | 10072 (T-4364) | C104755 | ML620630341 |
| 200 | <i>Hemitriccus margaritaceiventer</i> | Ad (Ind) | 6 | | N | S-N-N | 24-Maio-2024 | 08:50 | 9 (2) | P | 10073 | C104756 | |
| 201 | <i>Chrysolampis mosquitus</i> | | | | | | 24-Maio-2024 | 08:50 | 9 (10) | E | 10074 (T-4366) | | |
| 202 | <i>Coryphospingus pileatus</i> | Ad (M) | 14 | 20 | N | N-N-N | 24-Maio-2024 | 08:50 | 9 (2) | PLS | 10075 (T-4367) | E105286 | ML620630358 |
| 203 | <i>Synallaxis hellmayri</i> | Ad (Ind) | 21,5 | 20,2 | N | N-S-N | 24-Maio-2024 | 08:50 | 9 (1) | PLS | 10076 (T-4368) | F88282 | ML620630393 |
| 204 | <i>Stilpnia cayana</i> | Ad (F) | 17 | 20,1 | N | S-N-N | 24-Maio-2024 | 08:50 | 9 (4) | PLS | 10077 (T-4369) | E105287 | ML620630427 |
| 205 | <i>Thamnophilus caerulescens</i> | J (F) | 25 | 21,9 | N | S-N-N | 24-Maio-2024 | 08:50 | 9 (7) | PLS | 10078 (T-4370) | F88283 | ML620630456 |
| 206 | <i>Cyanoloxia brissonii</i> | J (F) | 24 | 21,5 | N | S-N-N | 24-Maio-2024 | 08:50 | 9 (7) | PLS | 10079 (T-4371) | F88284 | ML620630498 |
| 207 | <i>Coryphospingus pileatus</i> | J (F) | 13,5 | 18,2 | N | N-N-N | 24-Maio-2024 | 08:50 | 9 (6) | PLS | 10080 (T-4372) | E105288 | ML620630534 |
| 208 | <i>Cyanoloxia brissonii</i> | J (F) | 22 | 20 | N | S-N-S | 24-Maio-2024 | 08:50 | 9 (9) | PLS | 10081 (T-4373) | F88285 | ML620630552 |
| 209 | <i>Myrmorchilus strigilatus</i> | J (F) | 18 | 19,8 | N | SS-N-S | 24-Maio-2024 | 08:50 | 9 (11) | PLS | 10082 (T-4374) | E105289 | ML620630603 |
| 210 | <i>Elaenia albiceps</i> | J (Ind) | 12,5 | 21 | N | N-N-N | 24-Maio-2024 | 08:50 | 9 (10) | PLS | 10083 (T-4375) | D178473 | ML620630654 |
| 211 | <i>Elaenia cristata CF</i> | J (Ind) | 14 | 21,1 | N | N-N-N | 24-Maio-2024 | 08:50 | 9 (13) | PLS | 10084 (T-4376) | D178474 | ML620630726 |
| 212 | <i>Myrmorchilus strigilatus</i> | J (F) | 18,5 | 19,8 | N | S-N-N | 24-Maio-2024 | 08:50 | 9 (11) | PLS | 10085 (T-4377) | E105290 | ML620630761 |
| 213 | <i>Cyanoloxia brissonii</i> | J (F) | 24,5 | 20,3 | N | S-N-N | 24-Maio-2024 | 08:50 | 9 | PS | 10086 (T-4378) | F88286 | ML620630795 |
| 214 | <i>Cyanoloxia brissonii</i> | J (Ind) | 23,5 | 20,1 | N | S-S-N | 24-Maio-2024 | 08:50 | 9 (9) | P | 10087 (T-4379) | F88287 | ML620630831 |
| 215 | <i>Coereba flaveola</i> | J (Ind) | 7,5 | 15,1 | N | N-N-N | 24-Maio-2024 | 08:50 | 9 (8) | PLS | 10088 (T-4380) | C104757 | ML620630853 |

| Nº | Espécie | Status (sexo) | Peso (g) | Env (cm) | Placa (S/N) | Muda (C-Rg-Rx) | Data | Hora (AM) | Parcela (rede) | Tipo coleta | UFPE (T-) | Anilha | Fotografia |
|-----|---------------------------------------|---------------|----------|----------|-------------|----------------|--------------|-----------|----------------|-------------|----------------|---------|-----------------------------|
| 216 | <i>Sakesphoroides niedeguidonae</i> | J (F) | 13,5 | 18,6 | N | S-N-N | 24-Maio-2024 | 08:50 | 9 | PLS | 10089 (T-4381) | E105291 | ML620630882 |
| 217 | <i>Myrmorchilus strigilatus</i> | Ad (M) | 19,5 | 19,5 | N | S-N-N | 24-Maio-2024 | 08:50 | 9 (11) | PLS | 10090 (T-4382) | E105293 | ML620630939 |
| 218 | <i>Coryphospingus pileatus</i> | J (M) | 14 | 18,5 | N | N-S-N | 24-Maio-2024 | 08:50 | 9 (11) | PLS | 10091 (T-4365) | E105293 | ML620630978 |
| 219 | <i>Tachyphonus rufus</i> | Ad (M) | 29,5 | 24 | N | S-S-N | 24-Maio-2024 | 08:50 | 9 (1) | PLS | 10092 (T-4353) | F88288 | ML620631026 |
| 220 | <i>Chrysolampis mosquitus</i> | J (M) | | | | | 24-Maio-2024 | | 9 (13) | | | | |
| 221 | <i>Columbina picui</i> | | | | | | 24-Maio-2024 | | 9 (8) | | | | |
| 222 | <i>Nesotriccus murinus</i> | | | | | | 24-Maio-2024 | | 9 (12) | | | | |
| 223 | <i>Chlorostilbon lucidus CF</i> | J (Ind) | 3,5 | 11 | N | N-N-N | 25-Maio-2024 | 06:15 | 10 (4) | P | 10093 | A29276 | ML622708641 |
| 224 | <i>Chlorostilbon lucidus</i> | J (M) | | 11,2 | N | N-N-N | 25-Maio-2024 | 06:15 | 10 (3) | P | 10094 | A29286 | ML622708925 |
| 225 | <i>Chrysolampis mosquitus</i> | J (F) | 4 | 12,9 | N | S-N-N | 25-Maio-2024 | 06:15 | 10 (4) | P | 10095 | A29296 | ML622709166 |
| 226 | <i>Chrysolampis mosquitus</i> | Ad (F) | 4 | 12,3 | N | N-N-S | 25-Maio-2024 | 06:15 | 10 (6) | P | 10096 | A29260 | ML622709352 |
| 227 | <i>Chrysolampis mosquitus</i> | Ad (F) | 4 | 11,5 | N | N-N-N | 25-Maio-2024 | 06:15 | 10 (9) | P | 10097 | A29247 | ML622710092 |
| 228 | <i>Chrysolampis mosquitus</i> | Ad (F) | 3,5 | 11,8 | N | S-S-N | 25-Maio-2024 | 06:15 | 10 | P | 10098 | A29257 | ML622710600 |
| 229 | <i>Chlorostilbon lucidus</i> | Ad (M) | 3 | 10,5 | N | S-N-N | 25-Maio-2024 | 06:15 | 10 (2) | P | 10099 | A29267 | ML622840203 |
| 230 | <i>Stigmatura sp.</i> | | | | | | 25-Maio-2024 | 06:15 | 10 (9) | ELS | 10100 | | |
| 231 | <i>Hemitriccus margaritaceiventer</i> | Ad (Ind) | 7,5 | 16,6 | N | S-N-N | 25-Maio-2024 | 06:15 | 10 (2) | PLS | 10101 | C104758 | ML622840371 |
| 232 | <i>Coereba flaveola</i> | Ad (Ind) | 9,5 | 16,1 | N | S-N-N | 25-Maio-2024 | 06:15 | 10 (5) | PLS | 10102 | C104759 | ML622844423 |

| Nº | Especie | Status (sexo) | Peso (g) | Env (cm) | Placa (S/N) | Muda (C-Rg-Rx) | Data | Hora (AM) | Parcela (rede) | Tipo coleta | UFPE (T-) | Anilha | Fotografia |
|-----|----------------------------------|---------------|----------|----------|-------------|----------------|--------------|-----------|----------------|-------------|-----------|---------|-----------------------------|
| 233 | <i>Thamnophilus caistratus</i> | Ad (M) | 30 | 22,6 | N | S-S-S | 25-Maio-2024 | 06:15 | 10 (11) | PLS | 10103 | G140001 | ML622844972 |
| 234 | <i>Chlorostilbon lucidus</i> | J (M) | 3 | 11,3 | N | N-N-N | 25-Maio-2024 | 07:00 | 10 (4) | P | 10104 | A29270 | ML622844503 |
| 235 | <i>Chlorostilbon lucidus</i> | Ad (M) | 3 | 11,2 | N | N-N-N | 25-Maio-2024 | 07:00 | 10 (5) | P | 10105 | A29287 | ML622844602 |
| 236 | <i>Eupetomena macroura</i> | Ad (Ind) | 6,5 | 15,4 | N | N-S-N | 25-Maio-2024 | 07:00 | 10 (7) | | | A29280 | ML622844809 |
| 237 | <i>Anopetia gounellei</i> | J (Ind) | 3 | 11 | N | N-S-N | 25-Maio-2024 | 07:00 | 10 (9) | P | 10107 | A29297 | ML622844693 |
| 238 | <i>Tachyphonus rufus</i> | Ind (F) | 28 | 23,2 | N | N-N-N | 25-Maio-2024 | 06:15 | 10 (8) | PS | 10108 | F88289 | ML622845222 |
| 239 | <i>Thamnophilus caistratus</i> | J (F) | 25 | 23,3 | N | S-S-N | 25-Maio-2024 | 06:15 | 10 (10) | PLS | 10109 | G140002 | ML622845665 |
| 240 | <i>Cyanocorax cyanopogon</i> | J (Ind) | 91 | 34,2 | N | S-N-N | 25-Maio-2024 | 06:15 | 10 (13) | PS | 10110 | J69854 | ML622845766 |
| 241 | <i>Tachyphonus rufus</i> | Ad (M) | 20 | 24,8 | N | S-N-N | 25-Maio-2024 | 06:15 | 10 (3) | PLS | 10111 | G140003 | ML622848377 |
| 242 | <i>Anopetia gounellei</i> | Ad (Ind) | 3 | 10,5 | N | N-N-N | 25-Maio-2024 | 08:00 | 10 (4) | P | 10112 | A29290 | ML622845965 |
| 243 | <i>Chrysolampis mosquitus</i> | J (M) | 4 | 12,1 | N | N-N-N | 25-Maio-2024 | 08:00 | 10 (5) | P | 10113 | A29300 | ML622848455 |
| 244 | <i>Chrysolampis mosquitus</i> | | | | | | 25-Maio-2024 | 08:00 | 10 (1) | | | A29257 | |
| 245 | <i>Chrysolampis mosquitus</i> | J (M) | 3 | 11,8 | N | N-N-N | 25-Maio-2024 | 08:00 | 10 (6) | P | 10114 | A29249 | ML622848557 |
| 246 | <i>Coryphospingus pileatus</i> | J (M) | 15 | 17 | N | S-S-N | 25-Maio-2024 | 07:00 | 10 (1) | PLS | 10115 | E194234 | ML622848687 |
| 247 | <i>Cantorchilus longirostris</i> | Ad (Ind) | 18 | 20 | N | N-N-N | 25-Maio-2024 | 07:00 | 10 (4) | PS | 10116 | F88290 | ML622848760 |
| 248 | <i>Coryphospingus pileatus</i> | Ad (F) | 16 | 19,5 | N | N-N-N | 25-Maio-2024 | 07:00 | 10 (6) | PS | 10117 | E194253 | ML622848860 |

| Nº | Espécie | Status (sexo) | Peso (g) | Env (cm) | Placa (S/N) | Muda (C-Rg-Rx) | Data | Hora (AM) | Parcela (rede) | Tipo coleta | UFPE (T-) | Anilha | Fotografia |
|-----|----------------------------------|---------------|----------|----------|-------------|----------------|--------------|-----------|----------------|-------------|-----------|---------|-----------------------------|
| 249 | <i>Stigmatura sp.</i> | J (Ind) | 8 | 15,9 | N | S-S-S | 25-Maio-2024 | 07:00 | 10 (5) | PLS | 10118 | C104760 | |
| 250 | <i>Coereba flaveola</i> | Ad (Ind) | 8,5 | 15,9 | N | S-N-N | 25-Maio-2024 | 07:00 | 10 | PLS | 10119 | C104761 | ML622848991 |
| 251 | <i>Elaenia sp.</i> | Ad (Ind) | 22 | 21,5 | N | S-S-N | 25-Maio-2024 | 07:00 | 10 (3) | PLS | 10120 | E194232 | ML622849062 |
| 252 | <i>Cyclarhis gujanensis</i> | J (Ind) | 22 | 20,3 | N | N-N-N | 25-Maio-2024 | 07:00 | 10 (4) | P | 10121 | F88291 | ML622849116 |
| 253 | <i>Elaenia albiceps CF</i> | Ad (Ind) | 16 | 20,1 | N | N-N-N | 25-Maio-2024 | 07:00 | 10 (11) | PLS | 10122 | D178475 | ML622849306 |
| 254 | <i>Chrysolampis mosquitus</i> | Ad (M) | 15 | 12,1 | N | N-N-N | 25-Maio-2024 | 08:50 | 10 | P | 10123 | A29259 | ML622849186 |
| 255 | <i>Chrysolampis mosquitus</i> | Ad (M) | 3,5 | 12,1 | N | N-N-N | 25-Maio-2024 | 08:50 | 10 | P | 10124 | A29269 | ML622849356 |
| 256 | <i>Cantorchilus longirostris</i> | Ad (Ind) | 17 | 18,4 | N | N-N-N | 25-Maio-2024 | 07:00 | 10 (5) | PLS | 10125 | E194231 | ML622849643 |
| 257 | <i>Thamnophilus caerulescens</i> | Ad (M) | 28 | 24,3 | N | N-N-N | 25-Maio-2024 | 07:00 | 10 | PLS | 10126 | F88292 | ML622849741 |
| 258 | <i>Chrysolampis mosquitus</i> | J (M) | 4 | 12,3 | N | S-S-N | 25-Maio-2024 | 08:50 | 10 | | 10127 | A29279 | ML622849831 |
| 259 | <i>Stigmatura sp.</i> | | | | | | 25-Maio-2024 | 08:50 | 10 (6) | ELS | 10128 | | |
| 260 | <i>Troglodytes musculus</i> | J (Ind) | 12 | 15 | N | S-S-N | 25-Maio-2024 | 08:00 | 10 (7) | PLS | 10129 | C104762 | ML622849912 |
| 261 | <i>Synallaxis hellmayri</i> | J (Ind) | 23 | 21,3 | N | S-N-N | 25-Maio-2024 | 08:00 | 10 (6) | PLS | 10130 | F88293 | ML622850022 |
| 262 | <i>Taraba major</i> | J (M) | 48 | 24,7 | N | S-N-N | 25-Maio-2024 | 08:00 | 10 (8) | PLS | 10131 | G140004 | ML622850140 |
| 263 | <i>Picumnus exilis</i> | Ad (M) | 9 | 13,6 | N | N-S-S | 25-Maio-2024 | 08:50 | 10 (11) | PLS | 10132 | D178476 | ML622850227 |
| 264 | <i>Synallaxis hellmayri</i> | J (Ind) | 22 | 20 | N | S-N-N | 25-Maio-2024 | 08:50 | 10 | PLS | 10133 | F88294 | ML622850338 |
| 265 | <i>Coereba flaveola</i> | Ad (Ind) | 8,5 | 15,5 | N | S-N-N | 25-Maio-2024 | 08:50 | 10 (10) | PLS | 10134 | C104763 | |
| 266 | <i>Stigmatura sp.</i> | Ad (Ind) | 8 | 14,5 | N | S-S-S | 25-Maio-2024 | 08:50 | 10 (4) | PLS | 10135 | C104764 | |
| 267 | <i>Elaenia sp.</i> | Ad (Ind) | 21 | 23,2 | N | S-S-S | 25-Maio-2024 | 09:30 | 10 (2) | PLS | 10136 | D178477 | |

| Nº | Espécie | Status (sexo) | Peso (g) | Env (cm) | Placa (S/N) | Muda (C-Rg-Rx) | Data | Hora (AM) | Parcela (rede) | Tipo coleta | UFPE (T-) | Anilha | Fotografia |
|-----|---------------------------------------|---------------|----------|----------|-------------|----------------|--------------|-----------|----------------|-------------|-----------|---------|-----------------------------|
| 268 | <i>Mimus saturninus</i> | Ind (Ind) | 59 | 32 | N | S-S-N | 25-Maio-2024 | 09:30 | 10 (2) | PLS | 10137 | J69855 | ML622850629 |
| 269 | <i>Columbina minuta CF</i> | Ad (Ind) | 29,5 | 22,5 | N | N-N-N | 25-Maio-2024 | 09:30 | 10 (6) | PLS | 10138 | F88295 | ML622850982 |
| 270 | <i>Elaenia albiceps CF</i> | Ad (Ind) | 20 | 19 | N | N-N-N | 25-Maio-2024 | 09:30 | 10 (7) | PLS | 10139 | D178478 | ML622851053 |
| 271 | <i>Troglodytes musculus</i> | J (Ind) | 9 | | | S-N-N | 25-Maio-2024 | 09:30 | 10 (4) | | | D178479 | |
| 272 | <i>Picumnus exilis</i> | | | | | | 25-Maio-2024 | 09:30 | 10 | ELS | 10140 | | |
| 273 | <i>Sakesphoroides niedeguidonae</i> | Ad (F) | 16 | 17,4 | N | S-S-S | 25-Maio-2024 | 09:30 | 10 (2) | PLS | 10141 | E105394 | ML622851230 |
| 274 | <i>Formicivora melanogaster</i> | J (M) | 3 | 16,2 | N | S-S-S | 25-Maio-2024 | 09:30 | 10 (8) | PLS | 10142 | D178480 | ML622851317 |
| 275 | <i>Formicivora melanogaster</i> | Ad (F) | 9 | 15 | N | S-N-N | 25-Maio-2024 | 09:30 | 10 (8) | PLS | 10143 | C104765 | ML622851454 |
| 276 | <i>Coereba flaveola</i> | J (Ind) | 8 | 15,2 | N | S-N-S | 25-Maio-2024 | 09:30 | 10 (8) | PLS | 10144 | C104766 | ML622851569 |
| 277 | <i>Hemitriccus margaritaceiventer</i> | Ad (Ind) | 6,5 | 14,6 | S | N-N-N | 25-Maio-2024 | 09:30 | 10 (3) | PLS | 10145 | C104767 | ML622851626 |
| 278 | <i>Cyanoloxia brissonii</i> | Ind (F) | 36 | 21,2 | S | S-N-N | 25-Maio-2024 | 09:30 | 10 (7) | PLS | 10146 | F88296 | ML622851731 |
| 279 | <i>Hemitriccus margaritaceiventer</i> | Ad (Ind) | 8 | 14,9 | N | N-N-N | 25-Maio-2024 | 09:30 | 10 (2) | P | 10147 | C104768 | ML622851795 |
| 280 | <i>Columbina minuta</i> | Ad (Ind) | 26 | 20,1 | N | N-N-N | 25-Maio-2024 | 09:30 | 10 (2) | PS | 10148 | F88297 | ML622851917 |
| 281 | <i>Sakesphoroides niedeguidonae</i> | Ad (M) | 17 | 19,1 | N | S-S-S | 25-Maio-2024 | 09:30 | 10 (2) | PLS | 10149 | E105296 | ML622851990 |
| 282 | <i>Synallaxis hellmayri</i> | Ad (Ind) | 21,5 | 21,2 | N | S-N-S | 25-Maio-2024 | 09:30 | 10 (5) | PLS | 10150 | F88298 | ML622852080 |
| 283 | <i>Tachyphonus rufus</i> | Ad (M) | 22 | 24,6 | N | N-S-S | 25-Maio-2024 | 09:30 | 10 (3) | PLS | 10151 | F88299 | ML622852201 |
| 284 | <i>Chrysolampis mosquitos</i> | Ad (F) | 4 | 12,1 | N | S-S-N | 26-Maio-2024 | 05:40 | 5 (2) | P | 10152 | A29289 | ML622873766 |

| Nº | Especie | Status (sexo) | Peso (g) | Env (cm) | Placa (S/N) | Muda (C-Rg-Rx) | Data | Hora (AM) | Parcela (rede) | Tipo coleta | UFPE (T-) | Anilha | Fotografia |
|-----|---------------------------------------|---------------|----------|----------|-------------|----------------|--------------|-----------|----------------|-------------|-----------|---------|-----------------------------|
| 285 | <i>Nesotriccus murinus</i> | Ad (Ind) | 8 | 16,7 | N | S-S-S | 26-Maio-2024 | 05:40 | 5 (1) | PLS | 10153 | C104769 | ML622873896 |
| 286 | <i>Euscarthmus meloryphus</i> | Ad (Ind) | 6 | 13,9 | N | S-N-N | 26-Maio-2024 | 05:40 | 5 (10) | PLS | 10154 | C104770 | ML622873948 |
| 287 | <i>Hemitriccus margaritaceiventer</i> | Ad (Ind) | 8 | 16,3 | N | S-N-N | 26-Maio-2024 | 05:40 | 5 (8) | PLS | 10155 | C104771 | ML622874186 |
| 288 | <i>Formicivora melanogaster</i> | Ad (F) | 13 | 15,8 | S | S-N-N | 26-Maio-2024 | 05:40 | 5 (1) | PLS | 10156 | D178481 | ML622874628 |
| 289 | <i>Cantorchilus longirostris</i> | J (Ind) | 18 | 18,2 | N | S-S-S | 26-Maio-2024 | 05:40 | 5 (5) | PLS | 10157 | E105295 | ML622874748 |
| 290 | <i>Formicivora melanogaster</i> | Ad (M) | 10 | 14,1 | N | S-S-S | 26-Maio-2024 | 05:40 | 5 (1) | PLS | 10158 | D178482 | ML622874944 |
| 291 | <i>Euscarthmus meloryphus</i> | J (Ind) | 8 | 13,6 | N | N-N-N | 26-Maio-2024 | 05:40 | 5 (1) | PLS | 10159 | C104772 | ML622875297 |
| 292 | <i>Zonotrichia capensis</i> | J (Ind) | 19 | 19,2 | N | S-S-N | 26-Maio-2024 | 05:40 | 5 (12) | PLS | 10160 | F88300 | ML622875537 |
| 293 | <i>Elaenia sp.</i> | Ad (Ind) | 27 | 22 | N | N-N-N | 26-Maio-2024 | 05:40 | 5 (8) | PLS | 10161 | D178483 | ML622875950 |
| 294 | <i>Synallaxis hellmayri</i> | J (Ind) | 27 | 20,1 | S | S-N-N | 26-Maio-2024 | 05:40 | 5 (7) | PLS | 10162 | F88400 | ML622876089 |
| 295 | <i>Chrysolampis mosquitus</i> | Ad (M) | 4 | 13,1 | N | N-N-N | 26-Maio-2024 | 06:50 | 5 (7) | P | 10163 | A29299 | ML622875854 |
| 296 | <i>Chrysolampis mosquitus</i> | Ad (F) | 3 | 12 | N | N-N-N | 26-Maio-2024 | 06:50 | 5 (6) | P | 10164 | A29248 | ML622876726 |
| 297 | <i>Hemitriccus margaritaceiventer</i> | | | | | | 26-Maio-2024 | 06:50 | 5 (9) | E | 10165 | | |
| 298 | <i>Hemitriccus margaritaceiventer</i> | Ad (Ind) | 7 | 14,6 | S | S-N-N | 26-Maio-2024 | 06:50 | 5 (9) | PLS | 10166 | C104773 | ML622876802 |
| 299 | <i>Coereba flaveola</i> | J (Ind) | 7 | 15 | N | S-N-N | 26-Maio-2024 | 06:50 | 5 (1) | PLS | 10167 | C104774 | ML622876852 |

| Nº | Espécie | Status (sexo) | Peso (g) | Env (cm) | Placa (S/N) | Muda (C-Rg-Rx) | Data | Hora (AM) | Parcela (rede) | Tipo coleta | UFPE (T-) | Anilha | Fotografia |
|-----|---------------------------------|---------------|----------|----------|-------------|----------------|--------------|-----------|----------------|-------------|-----------|---------|-----------------------------|
| 300 | <i>Formicivora melanogaster</i> | Ad (F) | 8 | 15 | N | S-N-N | 26-Maio-2024 | 06:50 | 5 (10) | PLS | 10168 | D178484 | ML622876909 |
| 301 | <i>Synallaxis hellmayri</i> | Ad (Ind) | 18 | 20,5 | S | N-S-N | 26-Maio-2024 | 06:50 | 5 (5) | PLS | 10169 | F88399 | ML622877029 |
| 302 | <i>Polioptila plumbea</i> | Ad (F) | 6 | 13,6 | N | S-N-N | 26-Maio-2024 | 06:50 | 5 (6) | PLS | 10170 | C104775 | ML622877122 |
| 303 | <i>Coereba flaveola</i> | J (Ind) | 9 | 16,5 | N | S-N-N | 26-Maio-2024 | 06:50 | 5 (1) | PLS | 10171 | C104776 | ML622877357 |
| 304 | <i>Formicivora melanogaster</i> | J (M) | 9 | 14,8 | N | S-N-N | 26-Maio-2024 | 06:50 | 5 (6) | PLS | 10172 | D178485 | ML622877978 |
| 305 | <i>Synallaxis hellmayri</i> | Ad (Ind) | 24 | 20,6 | N | S-N-N | 26-Maio-2024 | 06:50 | 5 (1) | PLS | 10173 | F88398 | ML622878157 |
| 306 | <i>Myiarchus tyrannulus</i> | J (Ind) | 26 | 25,1 | N | S-S-S | 26-Maio-2024 | 06:50 | 5 (1) | PLS | 10174 | F88397 | ML622878352 |
| 307 | <i>Elaenia sp.</i> | Ad (Ind) | 15 | 20 | N | N-N-N | 26-Maio-2024 | 06:50 | 5 (9) | PLS | 10175 | D178486 | ML622878508 |
| 308 | <i>Taraba major</i> | J (M) | 44 | 25,1 | N | S-N-N | 26-Maio-2024 | 06:50 | 5 (3) | PLS | 10176 | J69856 | ML622891116 |
| 309 | <i>Chrysolampis mosquitos</i> | J (M) | 4 | 12,3 | N | N-N-N | 26-Maio-2024 | 08:00 | 5 (2) | P | 10177 | A29298 | ML622877519 |
| 310 | <i>Coereba flaveola</i> | Ad (F) | 9 | 16,3 | N | S-N-N | 26-Maio-2024 | 08:00 | 5 (2) | P | 10178 | C104777 | ML622878867 |
| 311 | <i>Nesotriccus murinus</i> | Ad (Ind) | 9 | 16,3 | N | S-S-S | 26-Maio-2024 | 08:00 | 5 (12) | P | 10179 | C104778 | ML622879617 |
| 312 | <i>Coereba flaveola</i> | Ad (Ind) | 8 | 16 | N | S-S-S | 26-Maio-2024 | 08:00 | 5 (8) | PLS | 10180 | C104779 | ML622879708 |
| 313 | <i>Nesotriccus murinus</i> | Ad (Ind) | 9 | 15,3 | N | N-N-N | 26-Maio-2024 | 08:00 | 5 (1) | PLS | 10181 | C104780 | ML622880418 |
| 314 | <i>Coryphospingus pileatus</i> | Ad (F) | 15 | 18 | N | N-N-N | 26-Maio-2024 | 08:00 | 5 (7) | PLS | 10182 | E194350 | ML622887239 |
| 315 | <i>Coereba flaveola</i> | Ad (Ind) | 9 | 16,6 | N | S-N-N | 26-Maio-2024 | 08:00 | 5 (7) | PLS | 10183 | C104781 | ML622887321 |
| 316 | <i>Coereba flaveola</i> | J (Ind) | 9 | 15,6 | N | S-N-N | 26-Maio-2024 | 08:00 | 5 (9) | PLS | 10184 | C104782 | ML622887391 |

| Nº | Espécie | Status (sexo) | Peso (g) | Env (cm) | Placa (S/N) | Muda (C-Rg-Rx) | Data | Hora (AM) | Parcela (rede) | Tipo coleta | UFPE (T-) | Anilha | Fotografia |
|-----|----------------------------------|---------------|----------|----------|-------------|----------------|--------------|-----------|----------------|-------------|-----------|---------|-----------------------------|
| 317 | <i>Coryphospingus pileatus</i> | J (M) | 15 | 17,3 | N | N-N-N | 26-Maio-2024 | 08:00 | 5 (7) | PLS | 10185 | E194349 | ML622887469 |
| 318 | <i>Nesotriccus murinus</i> | Ad (Ind) | 10 | 16,7 | N | S-S-S | 26-Maio-2024 | 08:00 | 5 (9) | PLS | 10186 | C104783 | ML622887608 |
| 319 | <i>Synallaxis hellmayri</i> | Ad (Ind) | 23 | 20,3 | S | N-N-N | 26-Maio-2024 | 08:00 | 5 (6) | PLS | 10187 | F88396 | ML622887779 |
| 320 | <i>Synallaxis hellmayri</i> | Ad (Ind) | 22 | 18,8 | N | S-N-N | 26-Maio-2024 | 08:00 | 5 (3) | PLS | 10188 | F88395 | ML622887891 |
| 321 | <i>Thamnophilus caerulescens</i> | Ad (M) | 29 | 24 | N | S-S-S | 26-Maio-2024 | 08:00 | 5 (3) | PLS | 10189 | G140005 | ML622888004 |
| 322 | <i>Chlorostilbon lucidus</i> | Ad (F) | 3 | 11,2 | N | N-N-N | 26-Maio-2024 | 09:10 | 5 (6) | P | 10190 | A29288 | ML622888129 |
| 323 | <i>Chrysolampis mosquitus</i> | J (F) | 4 | 12,6 | N | S-N-N | 26-Maio-2024 | 09:10 | 5 (6) | P | 10191 | A29258 | ML622888205 |
| 324 | <i>Chrysolampis mosquitus</i> | J (F) | 2 | 12 | N | S-N-N | 26-Maio-2024 | 09:10 | 5 (5) | P | 10192 | A29268 | ML622888330 |
| 325 | <i>Chrysolampis mosquitus</i> | J (M) | 4 | 12,1 | N | S-N-N | 26-Maio-2024 | 09:10 | 5 (5) | P | 10193 | A29278 | ML622888609 |
| 326 | <i>Nesotriccus murinus</i> | Ind (Ind) | 19 | 16,8 | N | S-N-N | 26-Maio-2024 | 09:10 | 5 (6) | PLS | 10194 | C104784 | ML622888822 |
| 327 | <i>Coereba flaveola</i> | Ad (Ind) | 8 | 15,2 | N | S-N-N | 26-Maio-2024 | 09:10 | 5 (5) | PLS | 10195 | C104785 | ML622888905 |
| 328 | <i>Chrysolampis mosquitus</i> | Ad (M) | 5 | 12,6 | N | S-S-N | 26-Maio-2024 | 09:10 | 5 (13) | P | 10196 | | ML622888708 |
| 329 | <i>Coryphospingus pileatus</i> | J (F) | 15 | 17 | N | S-N-N | 26-Maio-2024 | 09:10 | 5 (4) | PLS | 10197 | E194348 | ML622889096 |
| 330 | <i>Coereba flaveola</i> | J (Ind) | 9 | 15,3 | N | S-N-N | 26-Maio-2024 | 09:10 | 5 (4) | PLS | 10198 | C104786 | ML622889364 |
| 331 | <i>Coereba flaveola</i> | Ad (Ind) | 10 | 15,5 | N | S-N-N | 26-Maio-2024 | 09:10 | 5 (4) | PLS | 10199 | C104787 | ML622889442 |
| 332 | <i>Tyrannus melancholicus</i> | J (Ind) | 30 | 27 | N | N-N-N | 26-Maio-2024 | 09:10 | 5 (11) | PLS | 10200 | G140000 | ML622889645 |

| Nº | Espécie | Status (sexo) | Peso (g) | Env (cm) | Placa (S/N) | Muda (C-Rg-Rx) | Data | Hora (AM) | Parcela (rede) | Tipo coleta | UFPE (T-) | Anilha | Fotografia |
|-----|---------------------------------------|---------------|----------|----------|-------------|----------------|--------------|-----------|----------------|-------------|-----------|---------|-----------------------------|
| 333 | <i>Tyrannus melancholicus</i> | Ad (Ind) | 31 | 30,5 | N | N-N-N | 26-Maio-2024 | 09:10 | 5 (11) | PLS | 10201 | G140008 | ML622889734 |
| 334 | <i>Sakesphoroides niedeguidonae</i> | J (M) | 17 | 13,9 | N | S-N-N | 26-Maio-2024 | 09:10 | 5 (11) | PLS | 10202 | F88394 | ML622889837 |
| 335 | <i>Coereba flaveola</i> | Ad (Ind) | 10 | 15,6 | N | S-N-S | 26-Maio-2024 | 09:10 | 5 (8) | PLS | 10203 | C104788 | ML622890397 |
| 336 | <i>Nesotriccus murinus</i> | J (Ind) | 13 | 19,3 | N | S-N-N | 26-Maio-2024 | 09:10 | 5 (8) | PLS | 10204 | C104789 | ML622890569 |
| 337 | <i>Turdus amaurochalinus</i> | J (Ind) | 55 | 32,9 | N | S-N-N | 26-Maio-2024 | 09:10 | 5 (12) | PLS | 10205 | G140009 | ML622890635 |
| 338 | <i>Cyclarhis gujanensis</i> | J (Ind) | 23 | 19,9 | N | S-N-N | 26-Maio-2024 | 09:10 | 5 (12) | PLS | 10206 | G140006 | ML622889543 |
| 339 | <i>Hemitriccus margaritaceiventer</i> | | | | | | 26-Maio-2024 | | 5 (3) | | | C104771 | |
| 340 | <i>Chlorostilbon lucidus</i> | | | | | | 26-Maio-2024 | | 5 (4) | | | | |
| 341 | <i>Chrysolampis mosquitus</i> | Ad (F) | 4 | | N | S-N-N | 27-Maio-2024 | 06:30 | 4 (5) | P | 10207 | | ML622916908 |
| 342 | <i>Chrysolampis mosquitus</i> | Ad (M) | 4 | 12,7 | N | S-S-N | 27-Maio-2024 | 06:30 | 4 (4) | P | 10208 | | ML622917012 |
| 343 | <i>Chrysolampis mosquitus</i> | J (M) | 4 | 13,1 | S | S-N-N | 27-Maio-2024 | 06:30 | 4 (3) | P | 10209 | | ML622918102 |
| 344 | <i>Chrysolampis mosquitus</i> | Ad (F) | 5 | 11,6 | N | N-N-N | 27-Maio-2024 | 06:30 | 4 (8) | P | 10210 | | ML622918438 |
| 345 | <i>Chrysolampis mosquitus</i> | Ad (M) | 5 | 12,2 | N | N-N-N | 27-Maio-2024 | 06:30 | 4 (8) | P | 10211 | | ML622918535 |
| 346 | <i>Chrysolampis mosquitus</i> | J (M) | 4 | | N | N-N-N | 27-Maio-2024 | 06:30 | 4 (1) | P | 10212 | | ML622918810 |
| 347 | <i>Eupetomena macroura</i> | Ad (Ind) | 8 | 16 | S | N-N-N | 27-Maio-2024 | 06:30 | 4 (6) | P | 10213 | | |

| Nº | Especie | Status (sexo) | Peso (g) | Env (cm) | Placa (S/N) | Muda (C-Rg-Rx) | Data | Hora (AM) | Parcela (rede) | Tipo coleta | UFPE (T-) | Anilha | Fotografia |
|-----|---------------------------------------|---------------|----------|----------|-------------|----------------|--------------|-----------|----------------|-------------|-----------|---------|-----------------------------|
| 348 | <i>Eupetomena macroura</i> | J (Ind) | 8 | 16,2 | N | N-N-S | 27-Maio-2024 | 06:30 | 4 (13) | P | 10214 | | ML622918893 |
| 349 | <i>Euscarthmus meloryphus</i> | Ad (Ind) | 9 | 16 | N | S-S-N | 27-Maio-2024 | 06:30 | 4 | PLS | 10215 | C104790 | ML622919159 |
| 350 | <i>Hemitriccus margaritaceiventer</i> | Ad (Ind) | 7 | 14,2 | N | S-S-S | 27-Maio-2024 | 06:30 | 4 | PLS | 10216 | C104791 | ML622919269 |
| 351 | <i>Stigmatura bahiae CF</i> | Ad (Ind) | 6,5 | 14,1 | N | S-N-N | 27-Maio-2024 | 06:30 | 4 (5) | PLS | 10217 | D178487 | ML622919618 |
| 352 | <i>Elaenia sp.</i> | Ad (Ind) | 17 | 21,7 | N | N-N-N | 27-Maio-2024 | 06:30 | 4 (13) | PLS | 10218 | D178488 | ML622919698 |
| 353 | <i>Polioptila plumbea</i> | Ad (M) | 5 | 13,1 | N | S-N-N | 27-Maio-2024 | 06:30 | 4 | PS | 10219 | C104792 | ML622919819 |
| 354 | <i>Zonotrichia capensis</i> | Ad (Ind) | 18 | 18,3 | S | N-N-N | 27-Maio-2024 | 06:30 | 4 (13) | PLS | 10220 | F88393 | ML622919941 |
| 355 | <i>Coereba flaveola</i> | Ad (Ind) | 8 | 15,5 | N | S-N-N | 27-Maio-2024 | 06:30 | 4 | PLS | 10221 | C104793 | ML622920069 |
| 356 | <i>Coryphospingus pileatus</i> | J (Ind) | 15 | 16,8 | N | N-N-N | 27-Maio-2024 | 06:30 | 4 (13) | PS | 10222 | E194347 | ML622920267 |
| 357 | <i>Elaenia sp.</i> | Ad (Ind) | 10 | 17,1 | N | S-S-N | 27-Maio-2024 | 06:30 | 4 (7) | PLS | 10223 | D178489 | ML622920493 |
| 358 | <i>Cantorchilus longirostris</i> | Ad (Ind) | 19 | 21,6 | N | S-N-N | 27-Maio-2024 | 06:30 | 4 (13) | P | 10224 | F88392 | ML622921391 |
| 359 | <i>Coryphospingus pileatus</i> | Ad (F) | 14,5 | 18,3 | N | N-N-N | 27-Maio-2024 | 06:30 | 4 | PLS | 10225 | E194346 | ML622921652 |
| 360 | <i>Chrysolampis mosquitos</i> | J (M) | 2 | 13,5 | N | S-S-N | 27-Maio-2024 | 08:20 | 4 | P | 10226 | | ML622920834 |
| 361 | <i>Forpus xanthopterygius</i> | Ind (Ind) | 25 | 24,2 | N | N-N-N | 27-Maio-2024 | 06:30 | 4 (13) | PLS | 10227 | G140095 | ML622921845 |
| 362 | <i>Coereba flaveola</i> | Ad (Ind) | 7,5 | 15,6 | N | S-S-N | 27-Maio-2024 | 06:30 | 4 | PLS | 10228 | C104794 | ML622922007 |
| 363 | <i>Nemosia pileata</i> | Ad (F) | 14 | 19,1 | N | S-N-N | 27-Maio-2024 | 06:30 | 4 (10) | PLS | 10229 | E194345 | ML622922175 |

| Nº | Especie | Status (sexo) | Peso (g) | Env (cm) | Placa (S/N) | Muda (C-Rg-Rx) | Data | Hora (AM) | Parcela (rede) | Tipo coleta | UFPE (T-) | Anilha | Fotografia |
|-----|---------------------------------|------------------|-------------|-------------|----------------|-------------------|--------------|--------------|-------------------|----------------|--------------|---------|-----------------------------|
| 364 | <i>Elaenia sp.</i> | J (Ind) | 31 | 21,5 | N | S-N-N | 27-Maio-2024 | 06:30 | 4 (9) | PLS | 10230 | D178490 | ML622928591 |
| 365 | <i>Forpus xanthopterygius</i> | J (Ind) | 52 | | N | S-N-N | 27-Maio-2024 | 06:30 | 4 (13) | PLS | 10231 | G140010 | ML622922316 |
| 366 | <i>Chrysolampis mosquitus</i> | J (M) | 3 | 12,1 | N | S-N-S | 27-Maio-2024 | 08:20 | 4 (2) | P | 10232 | | ML622922264 |
| 367 | <i>Chrysolampis mosquitus</i> | Ad (F) | 4,5 | 12,3 | N | N-N-N | 27-Maio-2024 | 08:20 | 4 (10) | P | 10233 | | ML622922373 |
| 368 | <i>Chrysolampis mosquitus</i> | Ad (F) | 3,5 | 11,5 | N | S-S -N | 27-Maio-2024 | 08:20 | 4 (10) | P | 10234 | | ML622928475 |
| 369 | <i>Nystalus maculatus</i> | Ad (Ind) | 40 | 23,2 | N | S-N-N | 27-Maio-2024 | 06:30 | 4 (8) | PLS | 10235 | G140011 | ML622928745 |
| 370 | <i>Tachyphonus rufus</i> | J (F) | 44 | 23,5 | N | N-N-N | 27-Maio-2024 | 06:30 | 4 (13) | PLS | 10236 | F88391 | ML622928878 |
| 371 | <i>Synallaxis hellmayri</i> | Ad (Ind) | 23 | 20,4 | N | S-N-N | 27-Maio-2024 | 06:30 | 4 (8) | PLS | 10237 | F88390 | ML622929022 |
| 372 | <i>Nystalus maculatus</i> | Ad (Ind) | 36,5 | 21,2 | N | S-N-N | 27-Maio-2024 | 06:30 | 4 (8) | PS | 10238 | G140012 | ML622929162 |
| 373 | <i>Columbina minuta CF</i> | Ad (Ind) | 32 | 20,6 | N | N-N-N | 27-Maio-2024 | 06:30 | 4 (9) | PLS | 10239 | G140013 | ML622929283 |
| 374 | <i>Nemosia pileata</i> | Ad (M) | 15 | 19,9 | N | N-S-N | 27-Maio-2024 | 06:30 | 4 (10) | PLS | 10240 | E194344 | ML622929692 |
| 375 | <i>Synallaxis hellmayri</i> | Ad (Ind) | 23 | 19,5 | N | S-S-N | 27-Maio-2024 | 06:30 | 4 (10) | PLS | 10241 | F88388 | ML622929441 |
| 376 | <i>Thamnophilus capistratus</i> | Ind (M) | 26 | 22,4 | N | S-N-N | 27-Maio-2024 | 06:30 | 4 (11) | PLS | 10242 | F88387 | ML622929595 |
| 377 | <i>Thamnophilus capistratus</i> | Ad (F) | 26 | 23 | S | S-S-S | 27-Maio-2024 | 06:30 | 4 (11) | PLS | 10243 | F88386 | ML622929850 |
| 378 | <i>Coereba flaveola</i> | Ad (Ind) | 4 | 14,7 | N | S-N-N | 27-Maio-2024 | 06:30 | 4 (1) | PLS | 10244 | C104795 | ML622929965 |
| 379 | <i>Tyranidea sp.</i> | Ind (Ind) | 6 | 13,7 | N | S-S-N | 27-Maio-2024 | 06:30 | 4 (11) | P | 10245 | C104796 | |
| 380 | <i>Tyranidea sp.</i> | Ind (Ind) | 6 | | | | 27-Maio-2024 | 06:30 | 4 (11) | | | | |

| Nº | Espécie | Status (sexo) | Peso (g) | Env (cm) | Placa (S/N) | Muda (C-Rg-Rx) | Data | Hora (AM) | Parcela (rede) | Tipo coleta | UFPE (T-) | Anilha | Fotografia |
|-----|--------------------------------|---------------|----------|----------|-------------|----------------|--------------|-----------|----------------|-------------|-----------|---------|-----------------------------|
| 381 | <i>Coereba flaveola</i> | Ad (Ind) | 8 | 15,2 | N | S-N-N | 27-Maio-2024 | 06:30 | 4 (4) | PLS | 10247 | C104797 | ML622930217 |
| 382 | <i>Tachyphonus rufus</i> | Ad (M) | 28 | 23 | N | S-S-S | 27-Maio-2024 | 06:30 | 4 (4) | PLS | 10248 | F88389 | ML622930340 |
| 383 | <i>Synallaxis hellmayri</i> | Ad (Ind) | 34 | 20,7 | N | S-S-N | 27-Maio-2024 | 06:30 | 4 (5) | PLS | 10249 | F88385 | ML622930405 |
| 384 | <i>Coereba flaveola</i> | J (Ind) | 7 | 14,2 | N | S-N-N | 27-Maio-2024 | 06:30 | 4 (4) | PLS | 10250 | C104798 | ML622930494 |
| 385 | <i>Cyclarhis gujanensis</i> | Ind (Ind) | 24 | 20,6 | N | S-N-N | 27-Maio-2024 | 06:30 | 4 (12) | PLS | 10251 | F88384 | ML622930822 |
| 386 | <i>Dryobates affins</i> | Ad (F) | 23 | 22,5 | N | N-N-N | 27-Maio-2024 | 06:30 | 4 (12) | PLS | 10252 | F88383 | ML622930918 |
| 387 | <i>Coryphospingus pileatus</i> | Ind (Ind) | 15 | 19,5 | S | N-N-N | 27-Maio-2024 | 06:30 | 4 (12) | PLS | 10253 | E194343 | ML622931228 |
| 388 | <i>Paroaria dominicana</i> | J (Ind) | 30 | 24,8 | N | N-N-N | 27-Maio-2024 | 06:30 | 4 (12) | PLS | 10254 | F88382 | ML622931519 |
| 389 | <i>Paroaria dominicana</i> | Ad | 57 | | | | 27-Maio-2024 | 06:30 | 4 (12) | SL | 10255 | | |
| 390 | <i>Mimus saturninus</i> | J (Ind) | 64 | 31,7 | N | S-N-N | 27-Maio-2024 | 06:30 | 4 (3) | PLS | 10256 | J69857 | ML622931883 |
| 391 | <i>Synallaxis hellmayri</i> | Ad (Ind) | 23 | 19,7 | N | S-N-S | 27-Maio-2024 | 08:20 | 4 (1) | PLS | 10257 | F88381 | ML622932091 |
| 392 | <i>Coereba flaveola</i> | Ad (Ind) | 8 | 14,4 | N | N-N-N | 27-Maio-2024 | 08:20 | 4 (2) | PLS | 10258 | C104799 | ML622932203 |
| 393 | <i>Picumnus pygmaeus</i> | Ad (F) | 11 | 14,7 | N | N-N-N | 27-Maio-2024 | 08:20 | 4 (4) | PLS | 10259 | D178491 | ML622932029 |
| 394 | <i>Nesotriccus murinus CF</i> | Ind (Ind) | 9 | 15,5 | N | S-S-N | 27-Maio-2024 | 08:20 | 4 (9) | PLS | 10260 | D178492 | ML622931707 |
| 395 | <i>Synallaxis hellmayri</i> | Ad (Ind) | 19 | 21 | N | S-S-S | 27-Maio-2024 | 08:20 | 4 (1) | P | 10261 | F88380 | |
| 396 | <i>Coryphospingus pileatus</i> | Ad (M) | 15 | 19,4 | N | S-S-N | 27-Maio-2024 | 08:20 | 4 (13) | PLS | 10262 | E194342 | ML622932399 |
| 397 | <i>Stilpnia cayana</i> | Ad (F) | 19 | 20,6 | N | N-S-N | 27-Maio-2024 | 08:20 | 4 (10) | PLS | 10263 | E194341 | ML622932503 |

| Nº | Especie | Status (sexo) | Peso (g) | Env (cm) | Placa (S/N) | Muda (C-Rg-Rx) | Data | Hora (AM) | Parcela (rede) | Tipo coleta | UFPE (T-) | Anilha | Fotografia |
|-----|---------------------------------------|------------------|-------------|-------------|----------------|-------------------|--------------|--------------|-------------------|----------------|--------------|---------|-----------------------------|
| 398 | <i>Vireo chivi</i> | Ad (Ind) | 14 | 19,3 | N | S-N-S | 27-Maio-2024 | 08:20 | 4 (4) | PLS | 10264 | E194340 | ML622932596 |
| 399 | <i>Elaenia sp.</i> | Ind (Ind) | 14 | 17,5 | N | N-N-N | 27-Maio-2024 | 08:20 | 4 (13) | PLS | 10265 | D178493 | ML622932683 |
| 400 | <i>Cantorchilus longirostris</i> | Ad (Ind) | 16 | 18,1 | N | S-N-S | 27-Maio-2024 | 08:20 | 4 (2) | | 10266 | E194339 | |
| 401 | <i>Cantorchilus longirostris</i> | Ad (Ind) | 16 | 16,5 | N | S-S-S | 27-Maio-2024 | 08:20 | 4 | PLS | 10267 | E194338 | ML622932810 |
| 402 | <i>Tachyphonus rufus</i> | J (M) | 24 | 21,8 | N | N-N-N | 27-Maio-2024 | 08:20 | 4 (1) | PLS | 10268 | F88379 | ML622932976 |
| 403 | <i>Cyclarhis gujanensis</i> | Ad (Ind) | 28 | 20,8 | S | N-N-N | 27-Maio-2024 | 08:20 | 4 (5) | PLS | 10269 | G140014 | ML622933047 |
| 404 | <i>Dryobates passerinus</i> | Ad (F) | 25 | 22,9 | N | N-N-N | 27-Maio-2024 | 08:20 | 4 (5) | PLS | 10270 | G140015 | ML622933155 |
| 405 | <i>Nesotriccus murinus</i> | Ad (Ind) | 11 | 15,3 | N | N-N-N | 27-Maio-2024 | 08:20 | 4 (5) | PLS | 10271 | C104800 | ML622933374 |
| 406 | <i>Eupetomena macroura</i> | Ad (Ind) | 7 | 17,1 | N | S-N-N | 29-Maio-2024 | 06:10 | 2 (10) | P | 10272 | | |
| 407 | <i>Elaenia albiceps CF</i> | Ad (Ind) | 4 | 22,2 | S | N-N-N | 29-Maio-2024 | 06:10 | 2 (13) | PLS | 10273 | D178494 | ML622936097 |
| 408 | <i>Hemitriccus margaritaceiventer</i> | Ad (Ind) | 9 | 16,5 | N | N-N-N | 29-Maio-2024 | 06:10 | 2 (11) | PLS | 10274 | C104900 | ML622936171 |
| 409 | <i>Nesotriccus murinus</i> | Ad (Ind) | 8 | 15,9 | N | N-N-N | 29-Maio-2024 | 06:10 | 2 | PLS | 10275 | C104899 | ML622936256 |
| 410 | <i>Hemitriccus margaritaceiventer</i> | Ad (Ind) | 11 | 16,1 | N | S-N-N | 29-Maio-2024 | 06:10 | 2 (6) | PLS | 10276 | C104898 | ML622936322 |
| 411 | <i>Stilpnia cayana</i> | Ad (M) | 8 | 21,6 | N | S-S-S | 29-Maio-2024 | 06:10 | 2 (6) | PLS | 10277 | F88378 | ML622936376 |
| 412 | <i>Dryobates passerinus CF</i> | Ad (F) | 24 | 23,1 | N | S-S-N | 29-Maio-2024 | 06:10 | 2 (3) | PLS | 10278 | G140016 | |
| 413 | <i>Cantorchilus longirostris</i> | Ad (Ind) | 18 | 19,6 | N | N-N-N | 29-Maio-2024 | 06:10 | 2 (13) | PLS | 10279 | G140094 | ML622936752 |

| Nº | Espécie | Status (sexo) | Peso (g) | Env (cm) | Placa (S/N) | Muda (C-Rg-Rx) | Data | Hora (AM) | Parcela (rede) | Tipo coleta | UFPE (T-) | Anilha | Fotografia |
|-----|-------------------------------------|---------------|----------|----------|-------------|----------------|--------------|-----------|----------------|-------------|-----------|---------|-----------------------------|
| 414 | <i>Sakesphoroides niedeguidonae</i> | J (M) | 16 | 20,1 | N | N-N-N | 29-Maio-2024 | 06:10 | 2 (8) | PLS | 10280 | E194337 | ML622936846 |
| 415 | <i>Tachyphonus rufus</i> | Ad (F) | 31 | 24,3 | N | S-S-S | 29-Maio-2024 | 06:10 | 2 (3) | PLS | 10281 | G140017 | ML622936924 |
| 416 | <i>Stilpnia cayana</i> | Ad (M) | 21 | 21,5 | N | S-S-N | 29-Maio-2024 | 06:10 | 2 (13) | PLS | 10282 | F88377 | ML622937015 |
| 417 | <i>Sakesphoroides niedeguidonae</i> | Ad (M) | 16 | 18,4 | N | S-S-S | 29-Maio-2024 | 06:10 | 2 (2) | PLS | 10283 | E194336 | ML622937061 |
| 418 | <i>Sakesphoroides niedeguidonae</i> | Ad (F) | 17 | 19 | S | S-N-S | 29-Maio-2024 | 06:10 | 2 (8) | PLS | 10284 | E194335 | ML622937155 |
| 419 | <i>Nystalus maculatus</i> | Ad (Ind) | 38 | 25 | N | S-S-S | 29-Maio-2024 | 06:10 | 2 (12) | PLS | 10285 | G140018 | ML622937389 |
| 420 | <i>Cyclarhis gujanensis</i> | J (Ind) | 29 | 22,3 | N | S-S-S | 29-Maio-2024 | 06:10 | 2 (2) | PLS | 10286 | G140019 | ML622937447 |
| 421 | <i>Tachyphonus rufus</i> | J (F) | 29 | 24 | N | S-S-N | 29-Maio-2024 | 06:10 | 2 (10) | PLS | 10287 | F88376 | ML622937518 |
| 422 | <i>Tachyphonus rufus</i> | Ad (F) | 27 | 24 | N | N-N-N | 29-Maio-2024 | 06:10 | 2 (11) | PLS | 10288 | F88375 | ML622937639 |
| 423 | <i>Tachyphonus rufus</i> | Ad (F) | 29 | 24,2 | N | S-N-N | 29-Maio-2024 | 06:10 | 2 (11) | PLS | 10289 | F88374 | ML622937711 |
| 424 | <i>Nystalus maculatus</i> | Ad (Ind) | 38 | 23,3 | N | S-S-S | 29-Maio-2024 | 06:10 | 2 (13) | PLS | 10290 | G140020 | ML622937844 |
| 425 | <i>Nystalus maculatus</i> | Ad (Ind) | 37 | 24,2 | N | S-N-N | 29-Maio-2024 | 06:10 | 2 (12) | PLS | 10291 | G140021 | ML622937929 |
| 426 | <i>Nystalus maculatus</i> | Ad (Ind) | 40 | 25,8 | N | S-N-N | 29-Maio-2024 | 06:10 | 2 (13) | PLS | 10292 | G140022 | ML622938162 |
| 427 | <i>Euscarthmus meloryphus</i> | Ind (Ind) | 12 | 14,2 | N | N-N-N | 29-Maio-2024 | 07:10 | 2 | PLS | 10293 | C104897 | ML623040054 |
| 428 | <i>Euscarthmus meloryphus</i> | Ad (Ind) | 7 | 13,7 | N | N-N-N | 29-Maio-2024 | 07:10 | 2 (1) | PLS | 10294 | C104896 | ML623040094 |
| 429 | <i>Coryphospingus pileatus</i> | J (F) | 16 | 20,2 | N | N-N-N | 29-Maio-2024 | 07:10 | 2 (11) | PLS | 10295 | E194334 | ML623040127 |

| Nº | Especie | Status (sexo) | Peso (g) | Env (cm) | Placa (S/N) | Muda (C-Rg-Rx) | Data | Hora (AM) | Parcela (rede) | Tipo coleta | UFPE (T-) | Anilha | Fotografia |
|-----|----------------------------------|------------------|-------------|-------------|----------------|-------------------|--------------|--------------|-------------------|----------------|--------------|---------|-----------------------------|
| 430 | <i>Elaenia albiceps CF</i> | Ind (Ind) | 13 | 20,8 | N | N-N-N | 29-Maio-2024 | 07:10 | 2 (1) | PLS | 10296 | D178495 | ML623040597 |
| 431 | <i>Formicivora melanogaster</i> | Ad (F) | 11 | 16,1 | S | N-S-N | 29-Maio-2024 | 07:10 | 2 (11) | PLS | 10297 | D178496 | ML623040681 |
| 432 | <i>Megaxenops parnaguae</i> | Ad (Ind) | 25 | 24,2 | N | S-S-N | 29-Maio-2024 | 07:10 | 2 (13) | PLS | 10298 | F88373 | ML623040724 |
| 433 | <i>Cyclarhis gujanensis</i> | Ad (Ind) | 24 | 21 | N | S-N-N | 29-Maio-2024 | 07:10 | 2 (13) | PLS | 10299 | G140093 | ML623040829 |
| 434 | <i>Synallaxis hellmayri</i> | Ad (Ind) | 27 | 21 | N | S-N-N | 29-Maio-2024 | 07:10 | 2 (5) | PLS | 10300 | F88372 | ML623040906 |
| 435 | <i>Thamnophilus caerulescens</i> | Ad (M) | 31,5 | 24,1 | S | N-N-N | 29-Maio-2024 | 07:10 | 2 (4) | PLS | 10301 | F88371 | ML623042445 |
| 436 | <i>Mimus saturninus CF</i> | Ad (Ind) | 63 | 31,1 | N | S-N-N | 29-Maio-2024 | 07:10 | 2 (1) | LS | 10302 | J69858 | ML623042643 |
| 437 | <i>Chrysolampis mosquitus</i> | Ind (F) | 19 | 12,4 | N | S-N-N | 29-Maio-2024 | 08:10 | 2 (11) | P | 10303 | | ML623040196 |
| 438 | <i>Coereba flaveola</i> | Ad (Ind) | 9 | 17,5 | N | S-N-N | 29-Maio-2024 | 08:10 | 2 (9) | PLS | 10304 | C104895 | ML623042691 |
| 439 | <i>Coereba flaveola</i> | Ad (Ind) | 10 | 17,2 | N | S-N-N | 29-Maio-2024 | 08:10 | 2 (5) | PLS | 10305 | C104894 | ML623042905 |
| 440 | <i>Elaenia sp.</i> | Ad (Ind) | 15 | 21,1 | N | N-N-N | 29-Maio-2024 | 08:10 | 2 (7) | PLS | 10306 | D178497 | ML623043005 |
| 441 | <i>Myrmorchilus strigilatus</i> | Ad (F) | 18 | 18,2 | S | N-S-N | 29-Maio-2024 | 08:10 | 2 (5) | PLS | 10307 | E194333 | ML623043072 |
| 442 | <i>Formicivora melanogaster</i> | Ad (F) | 9 | 15,5 | S | S-N-S | 29-Maio-2024 | 09:00 | 2 (1) | PLS | 10308 | D178498 | ML623043194 |
| 443 | <i>Chrysolampis mosquitus</i> | Ad (M) | 3 | 12 | N | S-S-N | 29-Maio-2024 | 09:00 | 2 (3) | P | 10309 | | ML623043275 |
| 444 | <i>Eupetomena macroura</i> | Ad (Ind) | 8 | 17,5 | N | S-N-N | 29-Maio-2024 | 09:00 | 2 (4) | P | 10310 | | ML623043352 |
| 445 | <i>Formicivora melanogaster</i> | Ad (M) | 10 | 16,3 | N | S-N-N | 29-Maio-2024 | 09:00 | 2 (11) | PLS | 10311 | D178499 | ML623043444 |

| Nº | Espécie | Status (sexo) | Peso (g) | Env (cm) | Placa (S/N) | Muda (C-Rg-Rx) | Data | Hora (AM) | Parcela (rede) | Tipo coleta | UFPE (T-) | Anilha | Fotografia |
|-----|---------------------------------------|---------------|----------|----------|-------------|----------------|--------------|-----------|----------------|-------------|-----------|---------|-----------------------------|
| 446 | <i>Todirostrum cinereum</i> | J (Ind) | 6 | | | S-N-N | 29-Maio-2024 | 09:00 | 2 (10) | ELS | 10312 | C104893 | |
| 447 | <i>Hemitriccus margaritaceiventer</i> | Ad (Ind) | 8 | 16,3 | N | S-N-N | 29-Maio-2024 | 09:00 | 2 (4) | PLS | 10313 | C104892 | ML623043524 |
| 448 | <i>Coryphospingus pileatus</i> | Ad (F) | 16 | 19 | N | N-N-N | 29-Maio-2024 | 09:00 | 2 (4) | PLS | 10314 | E194332 | ML623043584 |
| 449 | <i>Coryphospingus pileatus</i> | J (Ind) | 14 | 18,6 | N | N-N-N | 29-Maio-2024 | 09:00 | 2 | PLS | 10315 | E194331 | ML623043660 |
| 450 | <i>Formicivora melanogaster</i> | Ad (F) | 9 | 15,1 | N | S-S-N | 29-Maio-2024 | 09:00 | 2 (7) | PLS | 10316 | D178500 | ML623043707 |
| 451 | <i>Todirostrum cinereum</i> | Ad (Ind) | 5 | 11,2 | N | S-N-N | 29-Maio-2024 | 09:00 | 2 (11) | PLS | 10317 | C104891 | ML623043777 |
| 452 | <i>Myrmorchilus strigilatus</i> | Ad (M) | 16 | 20,5 | S | N-S-N | 29-Maio-2024 | 09:00 | 2 (7) | PLS | 10318 | E194330 | ML623043857 |
| 453 | <i>Myrmorchilus strigilatus</i> | J (Ind) | 21 | 18,6 | N | S-N-S | 29-Maio-2024 | 09:00 | 2 (7) | PLS | 10319 | E194329 | ML623043914 |
| 454 | <i>Tachyphonus rufus</i> | Ad (M) | 29 | 25 | N | S-S-S | 29-Maio-2024 | 09:00 | 2 | PLS | 10320 | F88370 | ML623043966 |
| 455 | <i>Coryphospingus pileatus</i> | Ad (F) | 15 | 19,3 | S | N-N-N | 30-Maio-2024 | 05:45 | 7 | PLS | 10321 | E194328 | ML623045029 |
| 456 | <i>Tachyphonus rufus</i> | J (M) | 26 | 23,7 | S | S-S-S | 30-Maio-2024 | 05:45 | 7 | PLS | 10322 | F88369 | ML623045121 |
| 457 | <i>Chrysolampis mosquitos</i> | Ad (F) | 5,5 | 12,2 | S | S-N-N | 30-Maio-2024 | 06:50 | 7 (12) | P | 10323 | | ML623045241 |
| 458 | <i>Chrysolampis mosquitos</i> | J (M) | 5 | 12,9 | N | S-N-N | 30-Maio-2024 | 06:50 | 7 (7) | P | 10324 | | ML623045299 |
| 459 | <i>Stigmatura bahiae</i> | Ad (Ind) | 6 | 15,4 | S | N-N-N | 30-Maio-2024 | 06:50 | 7 (10) | PLS | 10325 | C104890 | ML623047313 |
| 460 | <i>Coereba flaveola</i> | Ad (Ind) | 9 | 16,3 | N | S-N-N | 30-Maio-2024 | 06:50 | 7 (10) | PLS | 10326 | C104989 | ML623047375 |
| 461 | <i>Chrysolampis mosquitos</i> | Ad (M) | 4 | 11,5 | N | S-S-S | 30-Maio-2024 | 06:50 | 7 (3) | P | 10327 | | ML623047477 |
| 462 | <i>Coryphospingus pileatus</i> | Ad (M) | 13 | 18,6 | N | N-N-N | 30-Maio-2024 | 06:50 | 7 (8) | PLS | 10328 | E194327 | ML623047592 |
| 463 | <i>Coereba flaveola</i> | Ad (Ind) | 9,5 | 16,3 | N | S-N-N | 30-Maio-2024 | 06:50 | 7 (11) | PLS | 10329 | C104888 | ML623047689 |

| Nº | Espécie | Status (sexo) | Peso (g) | Env (cm) | Placa (S/N) | Muda (C-Rg-Rx) | Data | Hora (AM) | Parcela (rede) | Tipo coleta | UFPE (T-) | Anilha | Fotografia |
|-----|---------------------------------------|---------------|----------|----------|-------------|----------------|--------------|-----------|----------------|-------------|-----------|---------|-----------------------------|
| 464 | <i>Coereba flaveola</i> | Ad (Ind) | 9,5 | 16,3 | N | S-N-N | 30-Maio-2024 | 06:50 | 7 (3) | PLS | 10330 | C104847 | ML623047733 |
| 465 | <i>Coereba flaveola</i> | Ad (Ind) | 9 | 16,2 | N | S-N-N | 30-Maio-2024 | 06:50 | 7 (3) | PLS | 10331 | C104886 | ML623047838 |
| 466 | <i>Coryphospingus pileatus</i> | J (F) | 14,5 | 19 | N | N-N-N | 30-Maio-2024 | 06:50 | 7 (2) | PLS | 10332 | E194326 | ML623047914 |
| 467 | <i>Hemitriccus margaritaceiventer</i> | Ad (Ind) | 10,5 | 16,2 | N | S-N-N | 30-Maio-2024 | 06:50 | 7 (6) | PLS | 10333 | C104885 | ML623048444 |
| 468 | <i>Elaenia albiceps</i> | Ad (Ind) | 20 | 20,6 | N | N-N-N | 30-Maio-2024 | 06:50 | 7 (10) | PLS | 10334 | D178600 | ML623048516 |
| 469 | <i>Elaenia albiceps</i> | J (Ind) | 15 | 21,9 | N | N-N-N | 30-Maio-2024 | 06:50 | 7 | PLS | 10335 | E194325 | ML623048636 |
| 470 | <i>Sakesphoroides niedeguidonae</i> | Ad (M) | 16 | 19,1 | S | N-N-N | 30-Maio-2024 | 06:50 | 7 (13) | PLS | 10336 | E194324 | ML623048733 |
| 471 | <i>Elaenia sp.</i> | J (Ind) | 15,5 | 20,2 | N | N-N-N | 30-Maio-2024 | 06:50 | 7 (6) | PLS | 10337 | D178599 | ML623049217 |
| 472 | <i>Elaenia albiceps</i> | J (Ind) | 16 | 20,2 | S | N-N-N | 30-Maio-2024 | 06:50 | 7 (9) | PLS | 10338 | D178598 | ML623049445 |
| 473 | <i>Schistochlamys ruficapillus</i> | Ad (Ind) | 28 | 23,8 | N | S-S-N | 30-Maio-2024 | 06:50 | 7 (8) | PLS | 10339 | F88368 | ML623049575 |
| 474 | <i>Cyclarhis gujanensis</i> | Ad (Ind) | 28 | 22 | N | S-N-N | 30-Maio-2024 | 06:50 | 7 (5) | PLS | 10340 | G140023 | ML623049693 |
| 475 | <i>Tachyphonus rufus</i> | Ad (F) | 25 | 25,4 | N | S-S-S | 30-Maio-2024 | 06:50 | 7 (4) | PLS | 10341 | F88367 | ML623049777 |
| 476 | <i>Stilpnia cayana</i> | Ad (F) | 18 | 21,8 | N | S-N-N | 30-Maio-2024 | 06:50 | 7 (3) | PLS | 10342 | E194323 | ML623050233 |
| 477 | <i>Elaenia albiceps</i> | Ad (Ind) | 14 | 20,5 | N | S-N-N | 30-Maio-2024 | 06:50 | 7 | PLS | 10343 | D178597 | ML623050862 |
| 478 | <i>Cyclarhis gujanensis</i> | J (Ind) | 25 | 23,6 | N | S-N-N | 30-Maio-2024 | 06:50 | 7 (2) | LS | 10344 | G140024 | ML623051298 |
| 479 | <i>Sakesphoroides niedeguidonae</i> | Ad (F) | 16 | 19 | S | N-N-N | 30-Maio-2024 | 06:50 | 7 (13) | PL | 10345 | E194322 | ML623051723 |
| 480 | <i>Thamnophilus caerulescens</i> | Ad (F) | 25 | 22,5 | N | S-N-N | 30-Maio-2024 | 06:50 | 7 (9) | PL | 10346 | F88366 | ML623051827 |
| 481 | <i>Thamnophilus capistratus</i> | Ad (F) | 26 | 22 | S | N-N-N | 30-Maio-2024 | 06:50 | 7 (8) | PLS | 10347 | F88365 | ML623051892 |
| 482 | <i>Chrysolampis mosquitus</i> | Ad (F) | 4 | 12,1 | N | N-N-N | 30-Maio-2024 | 08:45 | 7 (9) | P | 10348 | | ML623051975 |
| 483 | <i>Chrysolampis mosquitus</i> | Ad (F) | 4 | 12 | S | N-N-N | 30-Maio-2024 | 08:45 | 7 (10) | P | 10349 | | ML623052022 |
| 484 | <i>Chlorostilbon lucidus</i> | J (M) | 4 | 11,9 | N | S-N-N | 30-Maio-2024 | 08:45 | 7 (9) | P | 10350 | | ML623052080 |
| 485 | <i>Anopetia gounellei</i> | J (Ind) | 4,5 | 11,2 | N | S-N-N | 30-Maio-2024 | 08:45 | 7 (2) | P | 10351 | | ML623052193 |
| 486 | <i>Heliomaster squamosus</i> | J (M) | 6 | 13,5 | N | N-N-N | 30-Maio-2024 | 08:45 | 7 (11) | P | 10352 | | ML623052281 |
| 487 | <i>Chrysolampis mosquitus</i> | J (M) | 4 | 13,5 | N | S-N-N | 30-Maio-2024 | 08:45 | 7 (6) | P | 10353 | | ML623052684 |
| 488 | <i>Eupetomena macroura</i> | Ad (Ind) | 7 | 16 | N | N-N-N | 30-Maio-2024 | 08:45 | 7 (8) | P | 10354 | | ML623052756 |

| Nº | Especie | Status (sexo) | Peso (g) | Env (cm) | Placa (S/N) | Muda (C-Rg-Rx) | Data | Hora (AM) | Parcela (rede) | Tipo coleta | UFPE (T-) | Anilha | Fotografia |
|-----|---------------------------------------|---------------|----------|----------|-------------|----------------|--------------|-----------|----------------|-------------|-----------|---------|-----------------------------|
| 489 | <i>Anopetia gounellei</i> | Ad (Ind) | 4 | 11,3 | N | S-N-N | 30-Maio-2024 | 08:45 | 7 (3) | P | 10355 | | ML623052812 |
| 490 | <i>Coryphospingus pileatus</i> | Ad (F) | 14 | 17,2 | N | N-N-N | 30-Maio-2024 | 08:45 | 7 (9) | PLS | 10356 | E194321 | ML623052881 |
| 491 | <i>Tachyphonus rufus</i> | J (M) | 29 | 24,6 | N | S-S -S | 30-Maio-2024 | 08:45 | 7 (8) | PL | 10357 | F88364 | ML623053615 |
| 492 | <i>Nesotriccus murinus</i> | Ad (Ind) | 9,5 | 17,4 | N | S-N-N | 30-Maio-2024 | 08:45 | 7 (6) | PL | 10358 | C104884 | ML623053729 |
| 493 | <i>Chrysolampis mosquitus</i> | Ad (F) | 4,5 | 12,8 | S | S-N-N | 30-Maio-2024 | 08:45 | 7 (2) | P | 10359 | | ML623053543 |
| 494 | <i>Elaenia albiceps</i> | Ad (Ind) | | 21,5 | N | N-N-N | 30-Maio-2024 | 08:45 | 7 | PL | 10360 | D178596 | ML623053881 |
| 495 | <i>Formicivora melanogaster</i> | Ad (F) | 10 | 15,6 | N | S-S-N | 30-Maio-2024 | 08:45 | 7 (10) | PL | 10361 | C104883 | ML623061022 |
| 496 | <i>Stilpnia cayana</i> | Ad (F) | 14 | 21,6 | N | N-N-N | 30-Maio-2024 | 08:45 | 7 (13) | PL | 10362 | E194320 | ML623061171 |
| 497 | <i>Coryphospingus pileatus</i> | Ad (F) | 20 | 19,3 | N | N-N-N | 30-Maio-2024 | 08:45 | 7 (12) | PL | 10363 | E194319 | ML623061238 |
| 498 | <i>Stilpnia cayana</i> | J (M) | 17 | 21,5 | N | S-N-N | 30-Maio-2024 | 08:45 | 7 (13) | PL | 10364 | E194318 | ML623061325 |
| 499 | <i>Chrysolampis mosquitus</i> | Ad (F) | 4,5 | 13,4 | N | S-N-N | 30-Maio-2024 | 08:45 | 7 (7) | | 10365 | | ML623053825 |
| 500 | <i>Eupetomena macroura</i> | Ad (Ind) | 6 | 17,1 | N | S-N-N | 30-Maio-2024 | 08:45 | 7 (6) | P | 10366 | | ML623053943 |
| 501 | <i>Stilpnia cayana</i> | J (M) | 16 | 22 | N | S-N-S | 30-Maio-2024 | 08:45 | 7 (13) | PL | 10367 | E194317 | ML623061469 |
| 502 | <i>Hemitriccus margaritaceiventer</i> | J (Ind) | 8 | 12,5 | N | S-N-N | 30-Maio-2024 | 08:45 | 7 (12) | PL | 10368 | C104882 | ML623061575 |
| 503 | <i>Zonotrichia capensis</i> | J (Ind) | 18 | 19,6 | N | N-N-N | 30-Maio-2024 | 08:45 | 7 (8) | PL | 10369 | E194316 | ML623061616 |
| 504 | <i>Chrysolampis mosquitus</i> | J (M) | 5 | 12,6 | N | N-N-N | 30-Maio-2024 | 08:45 | 7 (10) | P | 10370 | | ML623061417 |
| 505 | <i>Thamnophilus caistratus</i> | Ad (M) | 27 | 25,1 | N | S-S-S | 30-Maio-2024 | 08:45 | 7 (4) | PLS | 10371 | F88363 | ML623061711 |
| 506 | <i>Synallaxis hellmayri</i> | Ad (Ind) | 20 | 21,4 | S | N-N-N | 30-Maio-2024 | 08:45 | 7 (5) | PL | 10372 | F88362 | ML623061801 |
| 507 | <i>Formicivora melanogaster</i> | J (M) | 11,5 | 16,2 | N | S-S-S | 30-Maio-2024 | 08:45 | 7 (6) | PL | 10373 | C104881 | ML623061851 |
| 508 | <i>Cyclarhis gujanensis</i> | Ad (Ind) | 24,5 | 23,7 | N | S-N-N | 30-Maio-2024 | 08:45 | 7 (5) | PL | 10374 | G140025 | ML623061924 |
| 509 | <i>Stilpnia cayana</i> | J (F) | 16 | 19,8 | N | S-N-N | 30-Maio-2024 | 08:45 | 7 (7) | PLS | 10375 | E194315 | ML623061990 |
| 510 | <i>Coccycuza melacoryphus</i> | Ad (Ind) | 40 | 31 | S | N-N-S | 30-Maio-2024 | 08:45 | 7 (11) | PLS | 10376 | G140026 | ML623062030 |
| 511 | <i>Columbina minuta</i> | Ad (Ind) | 30 | 22,8 | N | N-N-N | 30-Maio-2024 | 08:45 | 7 (7) | PLS | 10377 | G140029 | ML623062055 |
| 512 | <i>Coereba flaveola</i> | Ad (Ind) | 9 | 16,4 | N | S-N-S | 30-Maio-2024 | 08:45 | 7 (4) | PLS | 10378 | C104880 | ML623062103 |
| 513 | <i>Synallaxis hellmayri</i> | Ad (Ind) | 16 | 20,6 | N | S-N-N | 30-Maio-2024 | 08:45 | 7 | PLS | 10379 | F88360 | ML623062176 |
| 514 | <i>Elaenia albiceps</i> | | | | | | 30-Maio-2024 | 08:45 | 7 (13) | S | | | |

| Nº | Espécie | Status (sexo) | Peso (g) | Env (cm) | Placa (S/N) | Muda (C-Rg-Rx) | Data | Hora (AM) | Parcela (rede) | Tipo coleta | UFPE (T-) | Anilha | Fotografia |
|-----|---------------------------------------|---------------|----------|----------|-------------|----------------|--------------|-----------|----------------|-------------|-----------|---------|-----------------------------|
| 515 | <i>Cantorchilus longirostris</i> | Ad (Ind) | 16 | 19 | N | N-N-N | 30-Maio-2024 | 08:45 | 7 | PLS | 10380 | F88359 | ML623062252 |
| 516 | <i>Thamnophilus caistratus</i> | Ad (M) | 27 | 24 | N | S-N-N | 30-Maio-2024 | 08:45 | 7 (4) | PLS | 10381 | F88358 | ML623068156 |
| 517 | <i>Coereba flaveola</i> | Ad (Ind) | 9,5 | 16 | N | S-S-N | 30-Maio-2024 | 08:45 | 7 (4) | PLS | 10382 | C104879 | ML623069991 |
| 518 | <i>Schistochlamys ruficapillus</i> | Ad (Ind) | 21 | 19,5 | S | N-N-N | 30-Maio-2024 | 08:45 | 7 (5) | PLS | 10383 | | ML623070168 |
| 519 | <i>Zonotrichia capensis</i> | Ad (Ind) | 21 | 19,5 | S | N-N-N | 30-Maio-2024 | 08:45 | 7 (5) | PLS | 10384 | E194314 | ML623070252 |
| 520 | <i>Zonotrichia capensis</i> | Ad (Ind) | 19 | 19,1 | S | N-N-X | 30-Maio-2024 | 08:45 | 7 (5) | PLS | 10385 | E194313 | ML623070332 |
| 521 | <i>Chrysolampis mosquitus</i> | J (M) | 4,5 | 12,9 | N | N-N-N | 30-Maio-2024 | 09:00 | 7 (10) | P | 10386 | | ML623068119 |
| 522 | <i>Nesotriccus murinus</i> | Ad (Ind) | 9,5 | 16,6 | N | S-S-S | 30-Maio-2024 | 09:00 | 7 (11) | PLS | 10387 | C104878 | ML623070379 |
| 523 | <i>Elaenia sp.</i> | Ad (Ind) | 14 | 21,5 | N | N-N-N | 30-Maio-2024 | 09:00 | 7 (10) | PLS | 10388 | D178595 | ML623070566 |
| 524 | <i>Cyanoloxia brissonii</i> | Ad (F) | 17,5 | 22,4 | N | N-N-N | 30-Maio-2024 | 09:00 | 7 (9) | SPL | 10389 | F88356 | ML623070693 |
| 525 | <i>Synallaxis hellmayri</i> | Ad (Ind) | 16,5 | 22,6 | N | S-S-N | 30-Maio-2024 | 09:00 | 7 (9) | PLS | 10390 | F88355 | ML623070861 |
| 526 | <i>Cyclarhis gujanensis</i> | J (Ind) | 17,5 | 23 | N | S-N-N | 30-Maio-2024 | 09:00 | 7 (7) | PLS | 10391 | G140030 | ML623071041 |
| 527 | <i>Synallaxis hellmayri</i> | Ad (Ind) | 24 | 20,7 | S | N-N-N | 30-Maio-2024 | 09:00 | 7 | PLS | 10392 | F88354 | ML623071129 |
| 528 | <i>Anopetia gounellei</i> | J (Ind) | | 9,6 | N | S-S-S | 31-Maio-2024 | 05:40 | 6 (5) | P | 10393 | | ML623081071 |
| 529 | <i>Chrysolampis mosquitus</i> | Ad (F) | 3,5 | 11,8 | N | S-N-N | 31-Maio-2024 | 05:40 | 6 (7) | P | 10394 | | ML623081601 |
| 530 | <i>Hemitriccus margaritaceiventer</i> | Ad (Ind) | 8 | 15,3 | S | S-N-N | 31-Maio-2024 | 05:40 | 6 (6) | PLS | 10395 | C104877 | ML623082034 |
| 531 | <i>Hemitriccus margaritaceiventer</i> | Ad (Ind) | 9 | 15,2 | N | S-N-N | 31-Maio-2024 | 05:40 | 6 (6) | PLS | 10396 | C104876 | ML623082151 |
| 532 | <i>Elaenia albiceps</i> | Ad (Ind) | 19 | 19,9 | N | S-S-S | 31-Maio-2024 | 05:40 | 6 (9) | PLS | 10397 | D178594 | ML623082200 |
| 533 | <i>Anopetia gounellei</i> | Ad (Ind) | 4 | 12,6 | N | N-N-N | 31-Maio-2024 | 06:30 | 6 (10) | P | 10398 | | ML623082386 |
| 534 | <i>Chrysolampis mosquitus</i> | Ad (F) | 4 | 13,3 | N | N-N-S | 31-Maio-2024 | 06:30 | 6 (9) | P | 10399 | | ML623082573 |
| 535 | <i>Anopetia gounellei CF</i> | Ad (Ind) | 3,4 | 11,7 | N | S-N-N | 31-Maio-2024 | 06:30 | 6 (9) | P | 10400 | | ML623082493 |
| 536 | <i>Anopetia gounellei CF</i> | Ad (Ind) | 4 | 11,5 | N | N-N-N | 31-Maio-2024 | 06:30 | 6 (9) | P | 10401 | | ML623089583 |
| 537 | <i>Coereba flaveola</i> | J (Ind) | 8 | 16,2 | N | N-N-N | 31-Maio-2024 | 06:30 | 6 (1) | PLS | 10402 | C104875 | ML623082732 |
| 538 | <i>Hemitriccus margaritaceiventer</i> | J (Ind) | 8 | 14,8 | N | S-N-N | 31-Maio-2024 | 06:30 | 6 (6) | PLS | 10403 | C104874 | ML623082808 |
| 539 | <i>Stilpnia cayana</i> | Ad (M) | 20 | 22,1 | N | N-N-N | 31-Maio-2024 | 06:30 | 6 (4) | PLS | 10404 | E194312 | ML623083008 |

| Nº | Espécie | Status (sexo) | Peso (g) | Env (cm) | Placa (S/N) | Muda (C-Rg-Rx) | Data | Hora (AM) | Parcela (rede) | Tipo coleta | UFPE (T-) | Anilha | Fotografia |
|-----|---------------------------------------|---------------|----------|----------|-------------|----------------|--------------|-----------|----------------|-------------|-----------|---------|-----------------------------|
| 540 | <i>Campostoma obsoletum</i> | Ad (Ind) | 9 | 17,4 | S | N-N-N | 31-Maio-2024 | 06:30 | 6 (9) | PLS | 10405 | C104872 | ML623083610 |
| 541 | <i>Chrysolampis mosquitus CF</i> | Ad (F) | 4 | 12,7 | N | S-N-N | 31-Maio-2024 | 06:30 | 6 (2) | P | 10406 | | ML623082934 |
| 542 | <i>Stilpnia cayana</i> | J (M) | 18 | 21,3 | N | S-N-S | 31-Maio-2024 | 06:30 | 6 (4) | PLS | 10407 | E194311 | ML623083854 |
| 543 | <i>Formicivora melanogaster</i> | Ad (F) | 8 | 18,8 | N | S-N-N | 31-Maio-2024 | 06:30 | 6 (6) | PLS | 10408 | D178593 | ML623084002 |
| 544 | <i>Hemitriccus margaritaceiventer</i> | J (Ind) | 9 | 16,4 | N | S-N-N | 31-Maio-2024 | 06:30 | 6 (1) | PLS | 10409 | C104873 | ML623083226 |
| 545 | <i>Hemitriccus margaritaceiventer</i> | Ad (Ind) | 9 | 16,5 | N | S-N-N | 31-Maio-2024 | 06:30 | 6 (2) | PLS | 10410 | C104870 | ML623084076 |
| 546 | <i>Hemitriccus margaritaceiventer</i> | Ad (Ind) | 10 | 16,8 | N | N-N-N | 31-Maio-2024 | 06:30 | 6 (2) | PLS | 10411 | C104869 | ML623084282 |
| 547 | <i>Elaenia sp.</i> | Ad (Ind) | 23 | 22,5 | N | N-N-N | 31-Maio-2024 | 06:30 | 6 (9) | PLS | 10412 | E194310 | ML623084449 |
| 548 | <i>Hemitriccus margaritaceiventer</i> | J (Ind) | | 16,2 | N | S-N-N | 31-Maio-2024 | 06:30 | 6 (1) | P | 10413 | C104871 | ML623083759 |
| 549 | <i>Coereba flaveola</i> | Ad (Ind) | 10 | 16,9 | N | S-S-X | 31-Maio-2024 | 06:30 | 6 (1) | PLS | 10414 | C104868 | ML623084542 |
| 550 | <i>Sakesphoroides niedeguidonae</i> | Ad (M) | 15 | 20,1 | S | S-S-N | 31-Maio-2024 | 06:30 | 6 (4) | PLS | 10415 | E194388 | ML623084711 |
| 551 | <i>Coereba flaveola</i> | Ad (Ind) | 9,5 | 16,4 | N | S-N-S | 31-Maio-2024 | 06:30 | 6 (1) | PLS | 10416 | D178592 | ML623084799 |
| 552 | <i>Coereba flaveola</i> | Ad (Ind) | 9 | 15,4 | N | N-N-N | 31-Maio-2024 | 06:30 | 6 (1) | PLS | 10417 | D178591 | ML623084942 |
| 553 | <i>Coryphospingus pileatus</i> | J (F) | 16 | 18,3 | N | S-N-N | 31-Maio-2024 | 06:30 | 6 (3) | PLS | 10418 | E194309 | ML623085064 |
| 554 | <i>Coereba flaveola</i> | Ad (Ind) | 8,5 | 15,6 | N | S-N-N | 31-Maio-2024 | 06:30 | 6 (9) | PLS | 10419 | D178590 | ML623085156 |
| 555 | <i>Nesotriccus murinus</i> | J (Ind) | 10 | 18,1 | N | S-N-N | 31-Maio-2024 | 06:30 | 6 (6) | PLS | 10420 | C104867 | ML623085332 |
| 556 | <i>Elaenia albiceps</i> | J (Ind) | 13 | 21,1 | N | N-N-N | 31-Maio-2024 | 06:30 | 6 (9) | PLS | 10421 | D178589 | ML623085544 |
| 557 | <i>Formicivora melanogaster</i> | Ad (M) | 13 | 15,6 | N | S-S-S | 31-Maio-2024 | 06:30 | 6 (3) | PLS | 10422 | D178588 | ML623085618 |
| 558 | <i>Tachyphonus rufus</i> | Ad (F) | 20 | 23,5 | N | N-N-N | 31-Maio-2024 | 06:30 | 6 | PLS | 10423 | F88353 | ML623085732 |
| 559 | <i>Elaenia sp.</i> | Ad (Ind) | 18 | 22,5 | N | N-S-S | 31-Maio-2024 | 06:30 | 6 | PLS | 10424 | E194307 | ML623085890 |
| 560 | <i>Hemitriccus margaritaceiventer</i> | J (Ind) | 10,5 | 14,1 | N | S-N-N | 31-Maio-2024 | 06:30 | 6 (4) | PLS | 10425 | C104865 | ML623085968 |
| 561 | <i>Anopetia gounellei</i> | Ad (Ind) | 8,5 | 11,4 | N | N-N-N | 31-Maio-2024 | 08:30 | 6 (1) | P | 10426 | | ML623085673 |
| 562 | <i>Hemitriccus margaritaceiventer</i> | Ad (Ind) | 8,5 | 15,7 | N | N-N-N | 31-Maio-2024 | | 6 (11) | PLS | 10427 | C104866 | ML623085824 |
| 563 | <i>Anopetia gounellei</i> | Ad (Ind) | | | | | 31-Maio-2024 | | 6 (9) | | | | |

| Nº | Espécie | Status (sexo) | Peso (g) | Env (cm) | Placa (S/N) | Muda (C-Rg-Rx) | Data | Hora (AM) | Parcela (rede) | Tipo coleta | UFPE (T-) | Anilha | Fotografia |
|-----|---------------------------------------|---------------|----------|----------|-------------|----------------|--------------|-----------|----------------|-------------|-----------|---------|-----------------------------|
| 564 | <i>Stilpnia cayana</i> | Ad (M) | 17 | 19 | N | S-S-N | 31-Maio-2024 | 06:30 | 6 (8) | PLS | 10428 | E194399 | ML623087922 |
| 565 | <i>Coryphospingus pileatus</i> | Ad (M) | 14 | 18,4 | N | N-N-N | 31-Maio-2024 | 06:30 | 6 (3) | PLS | 10429 | E194306 | ML623086031 |
| 566 | <i>Coryphospingus pileatus</i> | Ad (F) | 13,5 | 18,2 | N | N-N-N | 31-Maio-2024 | 06:30 | 6 (7) | PLS | 10430 | E194305 | ML623086092 |
| 567 | <i>Stilpnia cayana</i> | Ad (F) | 19 | 20,8 | N | S-N-S | 31-Maio-2024 | 06:30 | 6 (11) | PLS | 10431 | E194304 | ML623087286 |
| 568 | <i>Elaenia sp.</i> | J (Ind) | 16,5 | 22,4 | N | S-N-N | 31-Maio-2024 | 06:30 | 6 (9) | PLS | 10432 | E194303 | ML623087353 |
| 569 | <i>Cyanoloxia brissonii</i> | Ad (F) | 23 | 22,6 | S | N-N-N | 31-Maio-2024 | 06:30 | 6 (8) | PLS | 10433 | E194301 | ML623087414 |
| 570 | <i>Zonotrichia capensis</i> | Ad (Ind) | 19 | 20,3 | S | S-N-N | 31-Maio-2024 | 06:30 | 6 (6) | PLS | 10434 | E194302 | ML623087540 |
| 571 | <i>Columbina minuta</i> | J (Ind) | 15 | 20,5 | N | S-S -S | 31-Maio-2024 | 06:30 | 6 (10) | PLS | 10435 | F88361 | ML623087638 |
| 572 | <i>Stilpnia cayana</i> | J (Ind) | 18 | 22,5 | N | S-N-N | 31-Maio-2024 | 06:30 | 6 (11) | PLS | 10436 | E194400 | ML623087683 |
| 573 | <i>Elaenia cristata CF</i> | Ad (Ind) | 21 | 20,2 | N | N-N-N | 31-Maio-2024 | 06:30 | 6 (7) | PLS | 10437 | D178587 | ML623087751 |
| 574 | <i>Tachyphonus rufus</i> | Ad (F) | 28 | 21,6 | N | N-N-N | 31-Maio-2024 | 06:30 | 6 (8) | PLS | 10438 | F88352 | ML623087810 |
| 575 | <i>Thamnophilus caerulescens</i> | Ad (F) | 20,5 | 21,3 | N | S-S-S | 31-Maio-2024 | 06:30 | 6 (5) | PLS | 10439 | F88351 | ML623087972 |
| 576 | <i>Nystalus maculatus</i> | Ad (Ind) | 30,5 | 25 | N | S-S-N | 31-Maio-2024 | 06:30 | 6 (1) | PLS | 10440 | G140091 | ML623088021 |
| 577 | <i>Chrysolampis mosquitos</i> | Ad (M) | 4 | 15,2 | N | S-S -N | 31-Maio-2024 | 09:00 | 6 (2) | P | 10441 | | ML623087868 |
| 578 | <i>Synallaxis hellmayri</i> | J (Ind) | 17 | 11,9 | N | N-N-N | 31-Maio-2024 | 08:05 | 6 (3) | PLS | 10442 | F88350 | ML623088246 |
| 579 | <i>Hemitriccus margaritaceiventer</i> | Ad (Ind) | 10,5 | 15,3 | N | S-N-N | 31-Maio-2024 | 08:05 | 6 (9) | PLS | 10443 | C104864 | |
| 580 | <i>Coryphospingus pileatus</i> | Ad (F) | 12,5 | 18,3 | N | S-S-N | 31-Maio-2024 | 08:05 | 6 (10) | PLS | 10444 | E194398 | ML623088429 |
| 581 | <i>Synallaxis hellmayri</i> | J (Ind) | 18 | 20,3 | N | S-N-N | 31-Maio-2024 | 08:05 | 6 (7) | PLS | 10445 | F88349 | ML623088473 |
| 582 | <i>Polioptila plumbea</i> | Ad (M) | 10,5 | 10,9 | N | S-S-S | 31-Maio-2024 | 08:05 | 6 (5) | PLS | 10446 | C104863 | ML623088563 |
| 583 | <i>Schistochlamys ruficapillus</i> | J (Ind) | 18 | 22,1 | N | S-N-N | 31-Maio-2024 | 08:05 | 6 (11) | PLS | 10447 | F88348 | ML623088636 |
| 584 | <i>Elaenia flavogaster CF</i> | Ad (Ind) | 21 | 18,9 | N | N-N-N | 31-Maio-2024 | 08:05 | 6 | PLS | 10448 | E194397 | ML623088693 |
| 585 | <i>Columbina minuta</i> | Ad (Ind) | 15 | 21,8 | N | N-N-N | 31-Maio-2024 | 09:00 | 6 | PLS | 10449 | G140090 | ML623088940 |
| 586 | <i>Elaenia sp.</i> | Ad (Ind) | 13 | 20,7 | N | N-N-N | 31-Maio-2024 | 09:00 | 6 | PLS | 10450 | E194396 | ML623088997 |
| 587 | <i>Troglodytes musculus</i> | Ad (Ind) | 11,5 | 16,5 | N | S-N-N | 31-Maio-2024 | 09:00 | 6 | PLS | 10451 | D178586 | ML623089089 |
| 588 | <i>Zonotrichia capensis</i> | Ad (Ind) | 17 | 19 | S | N-N-N | 31-Maio-2024 | 09:00 | 6 (3) | PLS | 10452 | E194395 | ML623089036 |
| 589 | <i>Coereba flaveola</i> | Ad (Ind) | 9 | 17,2 | S | N-N-N | 31-Maio-2024 | 09:00 | 6 (2) | PLS | 10453 | D178585 | ML623089277 |

| Nº | Espécie | Status (sexo) | Peso (g) | Env (cm) | Placa (S/N) | Muda (C-Rg-Rx) | Data | Hora (AM) | Parcela (rede) | Tipo coleta | UFPE (T-) | Anilha | Fotografia |
|-----|---------------------------------------|---------------|----------|----------|-------------|----------------|---------------|-----------|----------------|-------------|-----------|---------|-----------------------------|
| 590 | <i>Hemitriccus margaritaceiventer</i> | Ad (Ind) | 8,5 | 14,5 | S | S-N-N | 01-Junho-2024 | 05:40 | 1 (12) | ELS | 10454 | C104862 | ML623104036 |
| 591 | <i>Anopetia gounellei</i> | Ad (Ind) | 4,5 | 11,6 | N | N-S-N | 01-Junho-2024 | 06:40 | 1 (1) | P | 10455 | | ML623104144 |
| 592 | <i>Anopetia gounellei</i> | Ad (Ind) | 4 | 12 | N | S-S-N | 01-Junho-2024 | 06:40 | 1 (2) | P | 10456 | | ML623104259 |
| 593 | <i>Eupetomena macroura</i> | Ad (Ind) | 9 | 17,7 | N | S-S-N | 01-Junho-2024 | 06:40 | 1 (5) | P | 10457 | | ML623104341 |
| 594 | <i>Heliomaster squamosus</i> | | | | | | 01-Junho-2024 | 06:40 | 1 (12) | E | 10458 | | |
| 595 | <i>Hemitriccus margaritaceiventer</i> | Ad (Ind) | 8,5 | 14,5 | N | S-S-N | 01-Junho-2024 | 06:40 | 1 (5) | PLS | 10459 | C104861 | ML623104474 |
| 596 | <i>Polioptila plumbea</i> | Ad (M) | 7,5 | 14,2 | N | S-S-N | 01-Junho-2024 | 06:40 | 1 (12) | PLS | 10460 | C104860 | ML623104581 |
| 597 | <i>Elaenia albiceps</i> | Ad (Ind) | 13,5 | 20,5 | N | N-N-N | 01-Junho-2024 | 06:40 | 1 (5) | PLS | 10461 | D178584 | ML623104614 |
| 598 | <i>Anopetia gounellei</i> | Ad (Ind) | 3,5 | 11,4 | N | S-S-N | 01-Junho-2024 | 06:40 | 1 (3) | P | 10462 | | ML623104542 |
| 599 | <i>Hemitriccus margaritaceiventer</i> | J (Ind) | 9 | 14 | N | S-N-N | 01-Junho-2024 | 06:40 | 1 (11) | PLS | 10463 | C104859 | ML623104668 |
| 600 | <i>Euscarthmus meloryphus</i> | J (Ind) | 10 | 14,3 | S | S-N-N | 01-Junho-2024 | 06:40 | 1 (6) | PLS | 10464 | C104854 | ML623104831 |
| 601 | <i>Elaenia albiceps</i> | Ad (Ind) | 15 | 23,3 | N | S-S-N | 01-Junho-2024 | 06:40 | 1 (8) | PLS | 10465 | D178583 | ML623104910 |
| 602 | <i>Coryphospingus pileatus</i> | Ad (M) | 13,5 | 19,3 | N | S-S-N | 01-Junho-2024 | 06:40 | 1 (9) | PLS | 10466 | E194389 | ML623104964 |
| 603 | <i>Hemitriccus margaritaceiventer</i> | Ad (Ind) | 8,5 | 15,6 | N | S-N-N | 01-Junho-2024 | 06:40 | 1 (9) | PLS | 10467 | C104857 | ML623105009 |
| 604 | <i>Cyclarhis gujanensis</i> | Ad (Ind) | 25,5 | 23,1 | N | S-N-N | 01-Junho-2024 | 06:40 | 1 (1) | PLS | 10468 | G140028 | ML623105086 |
| 605 | <i>Cantorchilus longirostris</i> | Ad (Ind) | | 21,5 | N | S-S-N | 01-Junho-2024 | 06:40 | 1 (3) | PLS | 10469 | F88346 | ML623105644 |
| 606 | <i>Stilpnia cayana</i> | J (M) | 19 | 20,3 | N | S-N-S | 01-Junho-2024 | 06:40 | 1 (13) | PLS | 10470 | E194390 | ML623105205 |
| 607 | <i>Cyanoloxia brissonii</i> | Ad (F) | 18 | 20,5 | S | N-N-N | 01-Junho-2024 | 06:40 | 1 (2) | PLS | 10471 | F88347 | ML623105301 |
| 608 | <i>Formicivora melanogaster</i> | Ad (M) | 10,5 | 15,6 | S | N-N-N | 01-Junho-2024 | 06:40 | 1 (12) | PLS | 10472 | D178582 | ML623105468 |

| Nº | Especie | Status (sexo) | Peso (g) | Env (cm) | Placa (S/N) | Muda (C-Rg-Rx) | Data | Hora (AM) | Parcela (rede) | Tipo coleta | UFPE (T-) | Anilha | Fotografia |
|-----|---------------------------------|---------------|----------|----------|-------------|----------------|---------------|-----------|----------------|-------------|-----------|---------|-----------------------------|
| 609 | <i>Euscarthmus meloryphus</i> | Ad (Ind) | 8,5 | 12,9 | S | N-N-N | 01-Junho-2024 | 06:40 | 1 (9) | PLS | 10473 | C104856 | ML623105558 |
| 610 | <i>Chrysolampis mosquitus</i> | Ad (F) | 8,5 | 12,5 | N | S-N-N | 01-Junho-2024 | 06:40 | 1 (5) | P | 10474 | | ML623105053 |
| 611 | <i>Chrysolampis mosquitus</i> | Ad (M) | 5 | 12,6 | N | S-S-N | 01-Junho-2024 | 06:40 | 1 (5) | P | 10475 | | ML623105142 |
| 612 | <i>Tachyphonus rufus</i> | Ad (F) | 20 | 26,2 | N | S-S -S | 01-Junho-2024 | 06:40 | 1 (12) | PLS | 10476 | F88345 | ML623105692 |
| 613 | <i>Coereba flaveola</i> | Ad (Ind) | 10,5 | 17,2 | N | S-N-N | 01-Junho-2024 | 06:40 | 1 (12) | PLS | 10477 | D178581 | ML623105727 |
| 614 | <i>Stilpnia cayana</i> | Ad (F) | 17,5 | 21,1 | N | S-S-N | 01-Junho-2024 | 07:20 | 1 (10) | PLS | 10478 | E194391 | ML623105840 |
| 615 | <i>Chrysolampis mosquitus</i> | Ad (M) | 5 | 13,5 | N | S-S-N | 01-Junho-2024 | 08:30 | 1 | P | 10479 | | ML623105877 |
| 616 | <i>Synallaxis hellmayri</i> | Ad (Ind) | 18 | 19,1 | N | S-N-N | 01-Junho-2024 | 07:20 | 1 (12) | PLS | 10480 | F88344 | ML623106043 |
| 617 | <i>Elaenia albiceps CF</i> | Ad (Ind) | 13,5 | 20,3 | N | N-N-N | 01-Junho-2024 | 07:20 | 1 (12) | PLS | 10481 | D178580 | ML623106120 |
| 618 | <i>Coereba flaveola</i> | Ad (Ind) | 10 | 15,8 | S | N-N-N | 01-Junho-2024 | 07:20 | 1 (13) | PLS | 10482 | D178579 | ML623106240 |
| 619 | <i>Thamnophilus capistratus</i> | J (F) | | | | | 01-Junho-2024 | 08:30 | 1 (5) | ELS | 10483 | | |
| 620 | <i>Coereba flaveola</i> | Ad (Ind) | 9,5 | 12,1 | N | S-N-N | 01-Junho-2024 | 08:30 | 1 (6) | PLS | 10484 | D178578 | ML623106255 |
| 621 | <i>Polioptila plumbea</i> | Ad (F) | 7 | 14,1 | N | S-N-N | 01-Junho-2024 | 08:30 | 1 (4) | P | 10485 | C104855 | ML623106325 |
| 622 | <i>Cyanoloxia brissonii</i> | J (F) | 20,5 | 22,1 | N | S-N-N | 01-Junho-2024 | 08:30 | 1 (13) | PLS | 10486 | F88343 | ML623106376 |
| 623 | <i>Nesotriccus murinus</i> | Ad (Ind) | 13,5 | 15,9 | N | S-S-S | 01-Junho-2024 | 08:30 | 1 (13) | PLS | 10487 | C104854 | |
| 624 | <i>Polioptila plumbea</i> | Ad (M) | 6,5 | 14,3 | N | N-N-N | 01-Junho-2024 | 08:30 | 1 (10) | PLS | 10488 | C104853 | ML623106599 |
| 625 | <i>Formicivora melanogaster</i> | Ad (F) | | 13,5 | S | S-S-S | 01-Junho-2024 | 08:30 | 1 (10) | PLS | 10489 | D178577 | ML623106656 |
| 626 | <i>Chrysolampis mosquitus</i> | Ad (M) | 5,5 | 12,6 | N | S-S-N | 01-Junho-2024 | 09:20 | 1 (5) | P | 10490 | | ML623106702 |
| 627 | <i>Anopetia gounellei</i> | Ad (Ind) | 6 | 11,5 | N | S-S -S | 01-Junho-2024 | 09:20 | 1 (2) | P | 10491 | | ML623106731 |

| Nº | Espécie | Status (sexo) | Peso (g) | Env (cm) | Placa (S/N) | Muda (C-Rg-Rx) | Data | Hora (AM) | Parcela (rede) | Tipo coleta | UFPE (T-) | Anilha | Fotografia |
|-----|---------------------------------|---------------|----------|----------|-------------|----------------|---------------|-----------|----------------|-------------|-----------|---------|-----------------------------|
| 628 | <i>Chlorostilbon lucidus</i> | Ad (F) | 4 | 11,4 | N | S-N-N | 01-Junho-2024 | 09:20 | 1 (8) | P | 10492 | | ML623106758 |
| 629 | <i>Anopetia gounellei</i> | Ad (Ind) | 4 | 11,3 | N | N-S-N | 01-Junho-2024 | 09:20 | 1 (5) | P | 10493 | | ML623106802 |
| 630 | <i>Cyanoloxia brissonii</i> | Ad (F) | 17,5 | 21 | S | N-N-N | 01-Junho-2024 | 09:20 | 1 | PLS | 10494 | F88342 | ML623106847 |
| 631 | <i>Coryphospingus pileatus</i> | Ad (M) | 15 | 18,5 | N | S-N-N | 01-Junho-2024 | 09:20 | 1 (9) | PLS | 10495 | E194394 | ML623106897 |
| 632 | <i>Coryphospingus pileatus</i> | Ad (F) | 13,5 | 17,9 | S | S-N-N | 01-Junho-2024 | 09:20 | 1 (8) | PLS | 10496 | E194493 | ML623106949 |
| 633 | <i>Elaenia albiceps CF</i> | Ad (Ind) | 17,5 | 18,4 | N | S-N-N | 01-Junho-2024 | 09:20 | 1 (1) | PLS | 10497 | D178576 | ML623106990 |
| 634 | <i>Tyrannus melancholicus</i> | Ad (Ind) | 33 | 28,3 | N | S-S-S | 01-Junho-2024 | 09:20 | 1 (11) | PLS | 10498 | G140077 | ML623107052 |
| 635 | <i>Elaenia sp.</i> | J (Ind) | 20 | 20,2 | N | N-N-N | 01-Junho-2024 | 09:20 | 1 (13) | PLS | 10499 | E194392 | ML623107100 |
| 636 | <i>Coryphospingus pileatus</i> | Ad (M) | 15 | 18,7 | N | S-S-N | 01-Junho-2024 | 09:20 | 1 (6) | PLS | 10500 | E194388 | ML623107171 |
| 637 | <i>Coryphospingus pileatus</i> | Ad (M) | 13,5 | 19 | N | N-N-N | 01-Junho-2024 | 09:20 | 1 (8) | PLS | 10501 | G140031 | ML623107231 |
| 638 | <i>Columbina minuta</i> | Ad (Ind) | 20,5 | 22,5 | N | N-N-N | 01-Junho-2024 | 09:20 | 1 (8) | PLS | 10502 | G140031 | ML623107260 |
| 639 | <i>Nesotriccus murinus</i> | J (Ind) | 8,5 | 16,4 | N | S-N-N | 01-Junho-2024 | 09:20 | 1 (5) | PLS | 10503 | D178675 | ML623107394 |
| 640 | <i>Elaenia albiceps</i> | Ad (Ind) | 14 | 21 | N | N-N- | 01-Junho-2024 | 09:20 | 1 (13) | PLS | 10504 | E194386 | ML623107472 |
| 641 | <i>Coryphospingus pileatus</i> | Ad (M) | 14 | 18,3 | N | N-N-N | 01-Junho-2024 | 09:20 | 1 (7) | PLS | 10505 | E194385 | ML623107572 |
| 642 | <i>Icterus pyrrhogaster</i> | Ad (Ind) | 28 | 25 | N | N-N-N | 01-Junho-2024 | 09:20 | 1 (9) | PLS | 10506 | G140032 | ML623107643 |
| 643 | <i>Nesotriccus murinus</i> | J (Ind) | 8,5 | 16,8 | N | N-N-N | 01-Junho-2024 | 09:20 | 1 (8) | PLS | 10507 | D178474 | ML623107710 |
| 644 | <i>Formicivora melanogaster</i> | J (Ind) | 8,5 | 14,6 | S | S-N-N | 01-Junho-2024 | 09:20 | 1 (10) | PS | 10508 | D178573 | ML623107815 |
| 645 | <i>Coryphospingus pileatus</i> | J (F) | 14 | 17,1 | S | S-S-N | 01-Junho-2024 | 09:20 | 1 (12) | PS | 10509 | E194384 | ML623107871 |
| 646 | <i>Tachyphonus rufus</i> | J (F) | 25 | 21,1 | N | S-S-S | 01-Junho-2024 | 09:20 | 1 (11) | PLS | 10510 | F88341 | ML623107920 |

| Nº | Espécie | Status (sexo) | Peso (g) | Env (cm) | Placa (S/N) | Muda (C-Rg-Rx) | Data | Hora (AM) | Parcela (rede) | Tipo coleta | UFPE (T-) | Anilha | Fotografia |
|-----|----------------------------------|---------------|----------|----------|-------------|----------------|---------------|-----------|----------------|-------------|-----------|---------|-----------------------------|
| 647 | <i>Coereba flaveola</i> | Ad (Ind) | 8,5 | 16,1 | N | S-N-N | 01-Junho-2024 | 09:20 | 1 (3) | PLS | 10511 | D178572 | ML623108002 |
| 648 | <i>Megaxenops parnaguae</i> | J (Ind) | 18 | 19,2 | N | S-N-N | 01-Junho-2024 | 09:20 | 1 (9) | PLS | 10512 | F88340 | ML623108058 |
| 649 | <i>Synallaxis hellmayri</i> | J (Ind) | 18 | 19,2 | N | S-N-N | 01-Junho-2024 | 09:20 | 1 (4) | PLS | 10513 | E194383 | ML623108138 |
| 650 | <i>Synallaxis hellmayri</i> | Ad (Ind) | 27 | 19,4 | N | S-S-S | 01-Junho-2024 | 09:20 | 1 (4) | PLS | 10514 | E194382 | ML623108237 |
| 651 | <i>Cantorchilus longirostris</i> | | | | | | 01-Junho-2024 | | 1 | | | | |